

บรรณานุกรม

ภาษาไทย

ชลิยา ลิมปียการ. เทคโนโลยีการศึกษา. กรุงเทพมหานคร : สำนักพิมพ์ส่งเสริมวิชาการสถาบันราชภัฏธนบุรี, 2540.

ชัยยงค์ พรหมวงศ์. เทคโนโลยีและสื่อสารการศึกษา หน่วยที่ 1-5. พิมพ์ครั้งที่ 2.
กรุงเทพมหานคร : โรงพิมพ์ใหญ่ในเต็ดโปรดักชั่น, 2526.

ชัยยงค์ พรหมวงศ์, นิคม ทาแคง และสมชาย เนตรประเสริฐ. เทคโนโลยีและสื่อสารการศึกษา.
กรุงเทพมหานคร : สำนักพิมพ์มหาวิทยาลัยสุโขทัยธรรมราช, 2540.

ชัยวัฒน์ สาฤด. วงจรกำลังสองและวงจรอัตตราจักรที่สอง โดยใช้แหล่งจ่ายไฟเลี้ยงต่อ วิทยานิพนธ์
วิศวกรรมศาสตรมหาบัณฑิต สาขาวิชาวิศวกรรมไฟฟ้า บัณฑิตวิทยาลัย สถาบัน
เทคโนโลยีพระจอมเกล้าเจ้าคุณทหารลาดกระบัง, 2546.

ชูครี วงศ์รัตนะ. เทคนิคการใช้สอดคล้องในการวิจัย. กรุงเทพมหานคร : โรงพิมพ์เจริญผล, 2544.
ธีระชัย บุญรอด. การสร้างบทเรียนสำเร็จรูป...เส้นทางสู่อาจารย์ 3. กรุงเทพมหานคร : โรงพิมพ์
จุฬาลงกรณ์มหาวิทยาลัย, 2532.

ธีรสิทธิ์ มนตรีไพบูลย์. วงจรสายพานกระแสที่ควบคุมด้วยกระแสแบบซึ่มอส. วิทยานิพนธ์
วิศวกรรมศาสตรมหาบัณฑิต สาขาวิชาวิศวกรรมไฟฟ้า บัณฑิตวิทยาลัย สถาบัน
เทคโนโลยีพระจอมเกล้าเจ้าคุณทหารลาดกระบัง, 2544.

บุญเกื้อ ควรหาเวช. นวัตกรรมการศึกษา. พิมพ์ครั้งที่ 6. กรุงเทพมหานคร : ศูนย์หนังสือ
จุฬาลงกรณ์มหาวิทยาลัย, 2545.

เบญจวรรณ ธรรมวุฒิ. วงจรขยายความนำพาสัญญาณวัดกาวงที่มีเสถียรภาพต่ออุณหภูมิ และการ
ประยุกต์ใช้งาน. วิทยานิพนธ์วิศวกรรมศาสตรมหาบัณฑิต สาขาวิชาวิศวกรรมไฟฟ้า
บัณฑิตวิทยาลัย สถาบันเทคโนโลยีพระจอมเกล้าเจ้าคุณทหารลาดกระบัง, 2544.

มนตรี ศิริปรัชญาณันท์. การศึกษาวงจรกำเนิดสัญญาณและวงจรอนุพันธ์ PWM ที่สามารถควบคุม
ด้วยกระแสอย่างเป็นอิสระต่อกัน โดยอาศัยหลักการวงจรรวม. วิทยานิพนธ์วิศวกรรม
ศาสตรดุษฎีบัณฑิต สาขาวิชาวิศวกรรมไฟฟ้า บัณฑิตวิทยาลัย สถาบันเทคโนโลยีพระจอม
เกล้าเจ้าคุณทหารลาดกระบัง, 2547.

รุ่งทิวา จักร์กร. วิธีสอนทั่วไป. กรุงเทพมหานคร : คณะศึกษาศาสตร์ มหาวิทยาลัยศรีนครินทร์ วิโรฒ, 2527.

วรพงษ์ ตั้งศรีรัตน์. ออกแบบและการประมวลผลสัญญาณอนาล็อก กรุงเทพมหานคร : โรงพิมพ์ว. เพชรสกุล, 2545.

วินัย ใจล้า. การสังเคราะห์และออกแบบของรhythmy ความนำถ่ายโอนผลต่างกระแสที่สามารถควบคุมด้วยกระแสและการประยุกต์ใช้งานกับการศึกษาด้านการออกแบบและวิเคราะห์ วงจรอิเล็กทรอนิกส์ วิทยานิพนธ์ปรัชญาดุษฎีบัณฑิต สาขาวิชาไฟฟ้าศึกษา ภาควิชาครุศาสตร์ไฟฟ้า บัณฑิตวิทยาลัย มหาวิทยาลัยเทคโนโลยีพระจอมเกล้าฯ พระนครเหนือ, 2552.

ลัดดา ศุขปรีดี. เทคโนโลยีการสอน. กรุงเทพมหานคร : โรงพิมพ์พิมเนค, 2523.

ล้วน สายียศ และอังคณา สายียศ. เทคนิคการวิจัยทางการศึกษา. พิมพ์ครั้งที่ 5. กรุงเทพมหานคร : สุวิริยาสาสน์, 2538.

瓦สนา ชาวหา. เทคโนโลยีทางการศึกษา. กรุงเทพมหานคร : グラフィックオーナー, 2525.

สมปอง มากแจ้ง. เทคโนโลยีการศึกษา. กรุงเทพมหานคร : สถาบันเทคโนโลยีพระจอมเกล้าฯ พระนครเหนือ, 2543.

สมหญิง กลั่นศิริ. เทคโนโลยีการศึกษาเบื้องต้น. นครปฐม : ภาควิชาเทคโนโลยีการศึกษา คณะศึกษาศาสตร์ มหาวิทยาลัยศิลปากร, 2532.

เสกสรร ศรีจันทร์. วงจรแมตติไวย์เบรเตอร์. แผนกวิชาช่างอิเล็กทรอนิกส์ วิทยาลัยเทคนิคสัตหีบ [ออนไลน์] 2553. [สืบค้นวันที่ 14 พฤษภาคม 2553] จาก

http://www.tatc.ac.th/files/09011219194805_09063013133656.doc

สาวณิชย์ สิกขานบัณฑิต. หน่วยการเรียนการสอน. กรุงเทพมหานคร : โรงพิมพ์สถาบันเทคโนโลยีพระจอมเกล้าฯ พระนครเหนือ, 2526.

อมร จิรสื่อมรุกุล. การออกแบบและการประยุกต์ใช้งานวงจรนวลดิจิทัลสี่ขั้วแบบลอยตัวที่มีโครงสร้างแบบทรานส์ลีนีเอร์. วิทยานิพนธ์วิศวกรรมศาสตรมหาบัณฑิต สาขาวิชาวิศวกรรมไฟฟ้า บัณฑิตวิทยาลัย สถาบันเทคโนโลยีพระจอมเกล้าเจ้าคุณทหารลาดกระบัง, 2543.

ภาษาอังกฤษ

Almashary B. and Alhokail H. "Current-mode Triangular-wave Generator Using CCII's."

Microelectronics Journal. 31 (2000) : 239-243.

- Bhaskar D. R., Sharma V. K., Monis M. and Rizvi S. M. I. "New current-mode Universal Biquad Filter." Microelectronics Journal. 30 (1999) : 837–839.
- Bolek D., and Biokova V. "Current-mode CDTA-Based Comparators." 13th Electronic Devices and Systems 2006 IMAPS CS/SK International Conference. (2006) : 6-10.
- Bolek D. "CDTA – Building Block for Current-Mode Analog Signal Processing." Proceedings of the European Conference on Circuit theory and Design 2003. (2003) : 397-400.
- Bresch H., Streitenberger M. and Mathis W. "About the Demodulation of PWM-signals With Application to Audio Amplifiers." Proc. Circuits and Systems. 1 (1998) : 205–208.
- Choudhury D. R. and Jain S. Linear Integrated Circuits. Wiley Eastern, Inc., 1994.
- Chung W. -S. , Cha H. -W. and Kim H. -J. "Current-controllable Monostable Multivibrator Using OTAs." IEEE Transactions on Circuits and Systems I: Fundamental Theory and Applications. 49 (2002) : 703-705.
- Chung W.-S., Kim H., Cha H.-W., and Kim H.-J. "Triangular/square-wave Generator with Independently Controllable Frequency and Amplitude." IEEE Transactions on Instrumentation and Measurement. 54 (2005) : 105-109.
- Couch L. W. Digital and Analog Communication Systems. New York : Prentice - Hall, Inc., 1997.
- Coughlin R. G. and Driscoll, F. F. Operational Amplifier & Linear Integrated Circuits. 5th Ed., New York, Prentice-Hall, Inc., 1998.
- Dejhan K., Tooprakai P., Rerkmaneewan, T., and Soonyekan C. "A High-speed Direct Bootstrapped CMOS Schmitt Trigger Circuit." IEEE International Conference on Semiconductor Electronics 2004. (2005) : 4.
- Gayakwad R. A. Op-Amps and Linear Integrated Circuits. 3rd Ed., New York, Prentice-Hall, Inc., 1993.
- Goldberg J. M. and Sandler M. B. "New High Accuracy Pulse Width Modulation Based Digital-to-analogue Convertor/Power amplifier." IEE Proc. Circuits Devices and Systems. 141 (1994) : 315-324.
- Halper C. , Heiss M. and Brasseur G. "Digital-to-analog Conversion by Pulse-count Modulation Methods." IEEE Trans. on Instrumentation and Measurement. 45 (1996) : 805-814.

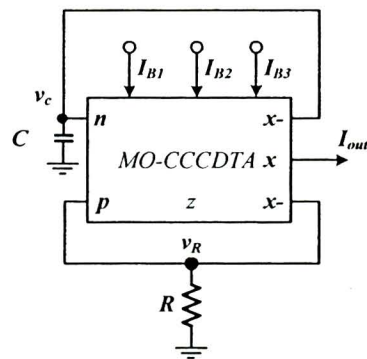
- Holtz J. "Pulsewidth Modulation – A Survey." IEEE trans. on Industrial Electronics. 39 (1992) : 410-420.
- Hou C. L., Chien H. C. and Lo Y. K. "Square-wave Generators Employing OTRAs." IEEE Proceedings Circuits, Devices and Systems. (2005) : 718 - 722.
- Jaikla W. and Siripruchyanun M. "Current-controlled Current Differencing Transconductance Amplifier and Applications in Continuous-time Signal Processing Circuit." Analog Integrated Circuits and Signal Processing. 61 (2009) : 247-257.
- Kazerani M., Ziogas P. D. and Joos G. "A Novel Active Current Waveshaping Technique for Solid-state Input Power Factor Conditioners." IEEE Trans. on Industrial Electronics. 38 (1991) : 72-78.
- Khucharoensin, S. and Kasemsuwan V. "High Performance CMOS Current-mode Precision Full-wave Rectifier." Proceedings of the 2003 International Symposium on Circuits and Systems. 1 (2003) : I-41-I-44.
- Kim K., Cha H. W. and Chung W. S. "OTA-R Schmitt Trigger with Independently Controllable Threshold and Output Voltage Levels." Electronics Letters. 33 (1997) : 1103-1105.
- Kukrer O. and Komurcugil H. "Variable Sampling Frequency PWM Waveforms." IEEE Power Electronics Letters. 1 (2003) : 14-16.
- Lo Y. -K. and Chien H. -C. "Current-mode Monostable Multivibrators Using OTRAs." IEEE Transactions on Circuits and Systems II: Express Briefs. 53 (2006) : 1274-1278.
- Mellor P. H., Leigh S. P. and Cheetham B. M. G. "Reduction of Spectral Distortion in Class D Amplifiers by An Enhanced Pulse Width Modulation Sampling Process." IEE Proc.-G. 138 (1991) : 441-448.
- Ramalho E. and Dias J. A. S. "A Differential Digital to Analog Converter Using A CMOS Digital PWM." Proc. International Conference on Microelectronics. (2000) : 699-702.
- Roden M. S. Analog and Digital Communication Systems. New York : Prentice - Hall, Inc., 1996.
- Rossetto L. and Buso S. "Digitally-controlled Single-phase Single-stage AC/DC PWM Converter." IEEE Trans. on Power Electronics. 18 (2003) : 326-333.
- Sandler M. B. "Digital-to-analogue Conversion Using Pulse Width Modulation." Electronics & Communication Engineering Journal. (1993) : 339-348.

- Schmid H. "Why the terms 'current mode' and 'voltage mode' neither Divide nor qualify circuits." IEEE International Symposium on Circuits and Systems, 2002. 2 (2002) : II-29-II-32.
- Schoenbeck R. J. Electronic Communications Modulation and Transmission. New York : Max. Macmillan, Inc, 1992.
- Siripruchyanun M. and Wardkein P. "A Temperature-insensitive VCO and Derivative PWM Signal Generator." Proceedings. 4th International Conference on ASIC, 2001. (2001) : 224-227.
- Stremler F. G. Introduction to Communication Systems. New York : Addison-Wesley, Inc, 1982.
- Suh S. Y. "Pulse Width Modulation for Analog Fiber-Optic Communications." Journal of Lightwave Technology. LT-5 (1987) : 102-112.
- Toumazou C. Lidgey F. J. and Haigh D. G. Analogue IC design: the Current-mode Approach, London: Peter Peregrinus, 1990.
- Wang Z. "CMOS Adjustable Schmitt triggers." IEEE Transactions on Instrumentation and Measurement. 40 (1991) : 601-605.
- Wang Z., and Guggenbuhl W. "CMOS Current Schmitt Trigger with Fully Adjustable hysteresis." Electron.Letters. 25 (1989) : 397-398.
- Zhang J. G. and Keawnin M. "Digital Two-level PAM and Analogue PWM Hybrid Optical Fiber Transmission Systems for TV and Data Applications." IEEE Trans. on Consumer Electronics. 42 (1996) : 362-370.
- Zhang J. G. and Keawnin M. "Performance of Two-level PAM and Analogue PWM Hybrid Optical Fiber Transmission Systems." IEEE Trans. on Consumer Electronics. 42 (1996) : 371-378.
- Zheren L. and Smedley K. "A General Constant-frequency Pulsewidth Modulator and Its Applications." IEEE Trans. on Circuit and System-I. 45 (1998) : 386-396.

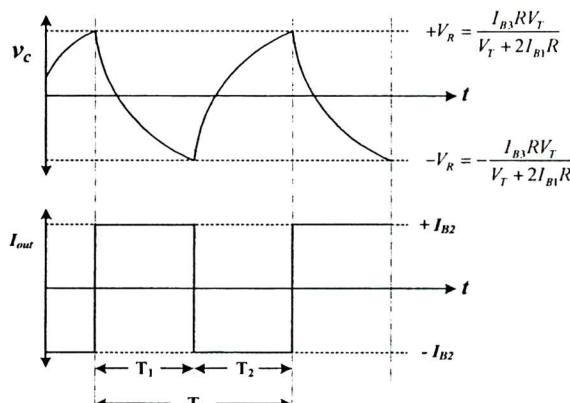
ภาคผนวก ก

- การวิเคราะห์ขานาดของสัญญาณເອົາຕີພຸດ ດາວເວລາແລະຄວາມຄືຂອງຈົກກຳເນີດສัญญาณສື່ເໜື້ອນໂທນົດກະຮະແສ
- การวิเคราะห์ขานาดของสัญญาณເອົາຕີພຸດ ດາວເວລາແລະຄວາມຄືຂອງຈົກກຳເນີດສัญญาณສາມເໜື້ອນແລະສື່ເໜື້ອນໂທນົດກະຮະແສ
- การวิเคราะห์ການປະນາຍັນຄ່າອັນດັບທີ່ສາມຂອງຄ່າດົວຕີໃຫ້ເກີດຂອງຈົກກຳມີຄູເດຕຄວາມກວ້າງພັດສ໌ໂທນົດກະຮະແສ
- การวิเคราะห์ຫາການປະນາຍັນຄ່າອັນດັບທີ່ສາມຂອງຄ່າດົວຕີໃຫ້ເກີດຂອງຈົກກຳມີຄູເດຕຄວາມກວ້າງພັດສ໌ໂທນົດກະຮະແສ

ก-1 การวิเคราะห์ทำงานของสัญญาณเอาต์พุต ความเวลาและความถี่ของวงจรกำเนิดสัญญาณ
สีเหลืองโหมดกระแส



(ก) รายละเอียดของวงจร



(ข) รูปคลื่นของวงจร

ภาพที่ ก-1 วงจรกำเนิดสัญญาณเหลืองโหมดกระแส

วงจรใช้คุณสมบัติของ MO-CCCDTA ที่ทำงานในสภาพอิมตัว ดังนั้นจะได้ขนาดของสัญญาณ
กระแสเอาต์พุตดังนี้

$$I_{out(p-p)} = 2I_{B2} \quad (\text{ก-1})$$

เมื่อพิจารณาวงจรแล้ว กระแสที่โนด v_c จะได้ดังนี้

$$I_{B3} = I_n + i_c = \frac{v_c}{R_n} + C \frac{dv_c}{dt} \quad (\text{ก-2})$$

พิจารณาความเวลาทางชีกลบของสัญญาณสี่เหลี่ยม (T_1)

$$\begin{aligned} I_{B3} &= \frac{v_c}{R_n} + C \frac{d}{dt} v_c \\ \frac{R_n I_{B3} - v_c}{R_n C} &= \frac{d}{dt} v_c \\ dt &= \frac{R_n C}{R_n I_{B3} - v_c} dv_c \\ \int_0^{T_1} dt &= \int_{-V_R}^{V_R} \frac{R_n C}{R_n I_{B3} - v_c} dv_c \end{aligned}$$

$$T_1 = R_n C \int_{-V_R}^{+V_R} \frac{1}{R_n I_{B3} - v_c} dv_c \quad (\text{ก-3})$$

$$\begin{aligned} \text{แทนค่า } R_n &= \frac{V_T}{2I_{B1}}, \quad -V_R = -\frac{I_{B3}RV_T}{V_T + 2I_{B1}R} \quad \text{และ} \quad +V_R = \frac{I_{B3}RV_T}{V_T + 2I_{B1}R} \quad \text{ลงในสมการ (3.3) ได้ดังนี้} \\ T_1 &= \frac{V_T C}{2I_{B1}} \int_{-\frac{I_{B3}RV_T}{V_T + 2I_{B1}R}}^{\frac{I_{B3}RV_T}{V_T + 2I_{B1}R}} \frac{2I_{B1}}{V_T I_{B3} - 2I_{B1}v_c} dv_c = -\frac{V_T C}{2I_{B1}} \ln(V_T I_{B3} - 2I_{B1}v_c) \Big|_{-\frac{I_{B3}RV_T}{V_T + 2I_{B1}R}}^{\frac{I_{B3}RV_T}{V_T + 2I_{B1}R}} \\ &= -\frac{V_T C}{2I_{B1}} \ln \left(V_T I_{B3} - \frac{2I_{B1}I_{B3}RV_T}{V_T + 2I_{B1}R} \right) + \frac{V_T C}{2I_{B1}} \ln \left(V_T I_{B3} + \frac{2I_{B1}I_{B3}RV_T}{V_T + 2I_{B1}R} \right) \\ &= \frac{V_T C}{2I_{B1}} \ln \frac{V_T I_{B3} (V_T + 2I_{B1}R) + 2I_{B1}I_{B3}RV_T}{V_T I_{B3} (V_T + 2I_{B1}R) - 2I_{B1}I_{B3}RV_T} \end{aligned}$$

$$T_1 = \frac{V_T C}{2I_{B1}} \ln \frac{V_T + 4I_{B1}R}{V_T} \quad (\text{ก-4})$$

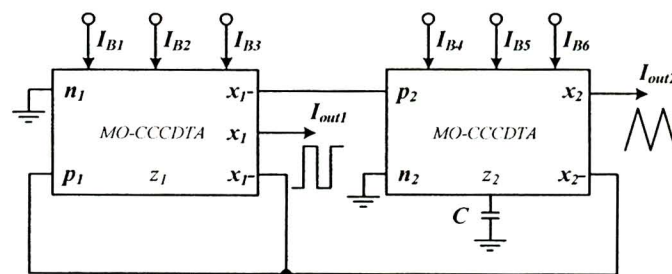
ในทางอุตสาหกรรมแล้วความเวลาทางชีกลบ (T_1) ของสัญญาณสี่เหลี่ยมเท่ากับชีกบวก (T_2) ดังนั้น
ความเวลาและความถี่ของสัญญาณสี่เหลี่ยมมากค่าได้จาก

$$T = 2T_1 = \frac{V_T C}{I_{B1}} \ln \frac{V_T + 4I_{B1}R}{V_T} \quad (\text{ก-5})$$

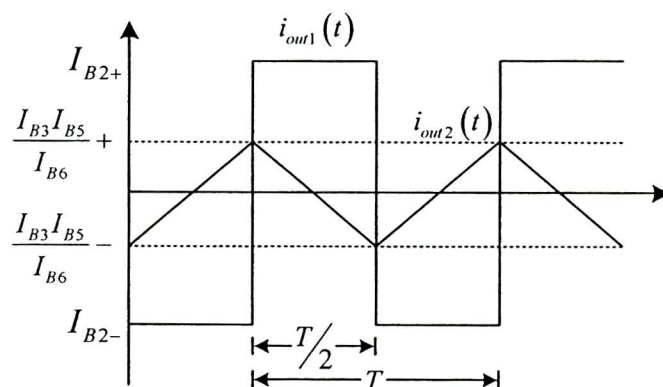
และ

$$f = \frac{1}{T} = \frac{I_{B1}}{CV_T \ln\left(\frac{V_T + 4I_{B1}R}{V_T}\right)} \quad (\text{ก-6})$$

ก-2 การวิเคราะห์ทำงานของสัญญาณเอาต์พุต ความเวลาและความถี่ของวงจรกำเนิดสัญญาณ
สามเหลี่ยมและสี่เหลี่ยมโหนดกระแส



(ก) รายละเอียดของวงจร



(ข) รูปคลื่นของวงจร

ภาพที่ ก-2 วงจรกำเนิดสัญญาณสามเหลี่ยมและสี่เหลี่ยม โหนดกระแส

วงจรและใช้คุณสมบัติของ MO-CCCDTA ที่ทำงานในสภาวะอิมตัว ดังนี้จะได้ขนาดของสัญญาณ
สี่เหลี่ยมมากจาก

$$I_{out1} = I_{B2} \quad (\text{пп-7})$$

เมื่อพิจารณาหาแรงดันที่ขึ้ว z คำได้จาก

$$v_z = \frac{I_{B3}}{g_{m4}} \quad (\text{пп-7})$$

ขนาดของสัญญาณเหลี่ยมหายากจาก

$$I_{out2} = g_{m3} v_z = \frac{g_{m3} I_{B3}}{g_{m4}} = \frac{I_{B3} I_{B5}}{I_{B6}} \quad (\text{пп-8})$$

พิจารณาความเวลาทางสัญญาณเอาต์พุต

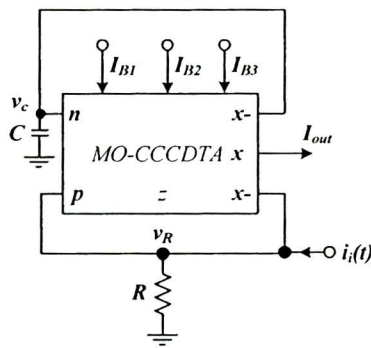
$$\begin{aligned} T &= 2 \int_{-I_{B3}/g_{m4}}^{I_{B3}/g_{m4}} \frac{C}{I_{B3}} dv_c = \frac{2v_c C}{I_{B3}} \Big|_{-I_{B3}/g_{m4}}^{I_{B3}/g_{m4}} \\ &= \frac{2I_{B3}C}{g_{m4}I_{B3}} + \frac{2I_{B3}C}{g_{m4}I_{B3}} = \frac{4C}{g_{m4}} \end{aligned}$$

$$T = \frac{8CV_T}{I_{B6}} \quad (\text{пп-9})$$

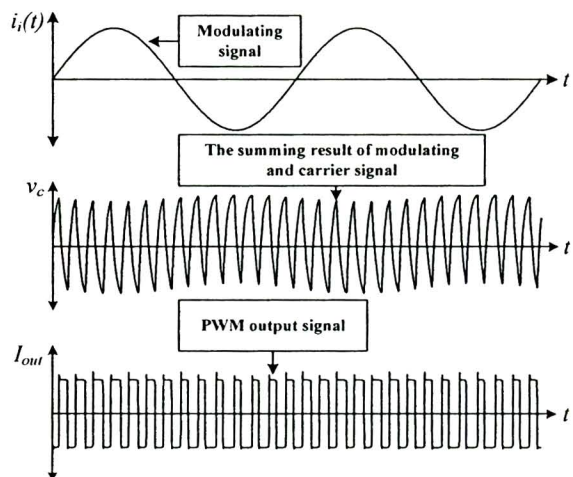
ความถี่ของวงจรหายากคำได้ดังนี้

$$f = \frac{1}{T} = \frac{I_{B6}}{8CV_T} \quad (\text{пп-10})$$

ก-3 การวิเคราะห์การทำงานประมวลค่าอันดับที่สามของค่าดิจิตี้ใช้เกลือของวงจรmodulatorความกว้างพัลส์โใหมดกระแสน



(ก) รายละเอียดของวงจร



(ข) รูปคลื่นของวงจร

ภาพที่ ก-3 วงจรmodulatorความกว้างพัลส์โใหมดกระแสน

วงจรและใช้คุณสมบัติของ MO-CCCDTA ที่ทำงานในสภาพะอิ่มตัว ดังนั้นจะได้ขนาดของสัญญาณกระແສເອຕີພຸດຕັ້ງນີ້

$$I_{out(p-p)} = 2I_{B2} \quad (\text{ก-11})$$

เมื่อพิจารณาวงจรแล้ว กระແສທີໂນດ v_c จะໄດ້ດັ່ງນີ້

$$I_{B3} = I_n + i_c = \frac{v_c}{R_n} + C \frac{dv_c}{dt} \quad (\text{ก-12})$$

พิจารณาความเวลาทางชีวภาพของสัญญาณสีเหลือง (T_1)

$$I_{B3} = \frac{v_c}{R_n} + C \frac{d}{dt} v_c$$

$$\frac{R_n I_{B3} - v_c}{R_n C} = C \frac{d}{dt} v_c$$

$$dt = \frac{R_n C}{R_n I_{B3} - v_c} dv_c$$

$$\int_0^{T_1} dt = \int_{-V_R}^{+V_R} \frac{R_n C}{R_n I_{B3} - v_c} dv_c$$

$$T_1 = R_n C \int_{-V_R}^{+V_R} \frac{1}{R_n I_{B3} - v_c} dv_c \quad (\text{ก-13})$$

$$\text{แทนค่า } -V_R = \frac{RR_p [i_i(t) - I_{B3}]}{R_p + R} \text{ และ } +V_R = \frac{RR_p [i_i(t) + I_{B3}]}{R_p + R} \text{ ลงในสมการ (ก-3) จะได้}$$

$$R_n C \int_{\frac{RR_p [i_i(t) - I_{B3}]}{R_p + R}}^{\frac{RR_p [i_i(t) + I_{B3}]}{R_p + R}} \frac{1}{R_n I_{B3} - v_c} dv_c$$

$$u = R_n I_{B3} - v_c$$

$$du = d(R_n I_{B3} - v_c) = -dv_c$$

$$-du = dv_c$$

$$-R_n C \int_{\frac{RR_p [i_i(t) - I_{B3}]}{R_p + R}}^{\frac{RR_p [i_i(t) + I_{B3}]}{R_p + R}} \frac{1}{R_n I_{B3} - v_c} d(R_n I_{B3} - v_c)$$

$$\begin{aligned} &= -R_n C \ln(R_n I_{B3} - v_c) \Big|_{\frac{RR_p [i_i(t) - I_{B3}]}{R_p + R}}^{\frac{RR_p [i_i(t) + I_{B3}]}{R_p + R}} \\ &= -R_n C \ln \left\{ R_n I_{B3} - \frac{RR_p [i_i(t) + I_{B3}]}{R_p + R} \right\} + R_n C \ln \left\{ R_n I_{B3} - \frac{RR_p [i_i(t) - I_{B3}]}{R_p + R} \right\} \\ &= R_n C \left\{ \ln \frac{R_n I_{B3} (R_p + R) - RR_p [i_i(t) - I_{B3}]}{R_p + R} - \ln \frac{R_n I_{B3} (R_p + R) - RR_p [i_i(t) + I_{B3}]}{R_p + R} \right\} \end{aligned}$$

$$\begin{aligned}
&= R_n C \ln \frac{R_n I_{B3} (R_p + R) - RR_p [i_i(t) - I_{B3}]}{R_n I_{B3} (R_p + R) - RR_p [i_i(t) + I_{B3}]} \\
&= R_n C \ln \frac{I_{B3} (R_p + R) - R [i_i(t) - I_{B3}]}{I_{B3} (R_p + R) - R [i_i(t) + I_{B3}]} \\
R_n C \ln \frac{I_{B3} R_p + 2I_{B3} R - Ri_i(t)}{I_{B3} R_p - Ri_i(t)} &= R_n C \ln \left[\frac{2I_{B3} R}{I_{B3} R_p - Ri_i(t)} + 1 \right] \\
\text{แทนค่า } R_n \text{ และ } R_p \text{ ด้วย } \frac{V_T}{2I_{B1}} & \\
T_1 = \frac{V_T C}{2I_{B1}} C \ln \left[\frac{2I_{B3} R}{\frac{I_{B3} V_T}{2I_{B1}} - Ri_i(t)} + 1 \right] & \\
T_1 = \frac{V_T C}{2I_{B1}} \ln \left[\frac{4I_{B1} I_{B3} R}{I_{B3} V_T - 2I_{B1} Ri_i(t)} + 1 \right] & \quad (n-14)
\end{aligned}$$

พิจารณาความเวลาทางซีกบวกของสัญญาณสี่เหลี่ยม (T_2)

$$\begin{aligned}
-I_{B3} &= \frac{v_c}{R_n} + C \frac{d}{dt} v_c \\
\frac{-R_n I_{B3} - v_c}{R_n C} &= \frac{d}{dt} v_c \\
dt &= \frac{R_n C}{-R_n I_{B3} - v_c} dv_c \\
\int_0^{T_2} dt &= - \int_{+V_R}^{-V_R} \frac{R_n C}{R_n I_{B3} + v_c} dv_c
\end{aligned}$$

$$T_2 = -R_n C \int_{+V_R}^{-V_R} \frac{1}{R_n I_{B3} + v_c} dv_c \quad (n-15)$$

$$\begin{aligned}
\text{แทนค่า } -V_R &= \frac{RV_T [I_{B3} - i_i(t)]}{V_T + 2I_{B1}R} \text{ และ } +V_R = \frac{RV_T [I_{B3} + i_i(t)]}{V_T + 2I_{B1}R} \text{ ลงในสมการ (3.5) ได้ดังนี้} \\
-R_n C \int_{\frac{RR_p [i_i(t) - I_{B3}]}{R_p + R}}^{\frac{RR_p [i_i(t) + I_{B3}]}{R_p + R}} \frac{1}{R_n I_{B3} + v_c} dv_c &
\end{aligned}$$

$$u = R_n I_{B3} + v_c$$

$$\begin{aligned}
du &= d(R_n I_{B3} + v_c) = -dv_c \\
du &= dv_c \\
&- R_n C \int_{\frac{RR_p[i_i(t)+I_{B3}]}{R_p+R}}^{\frac{RR_p[i_i(t)-I_{B3}]}{R_p+R}} \frac{1}{R_n I_{B3} + v_c} d(R_n I_{B3} + v_c) \\
&= -R_n C \ln(R_n I_{B3} + v_c) \Big|_{\frac{RR_p[i_i(t)+I_{B3}]}{R_p+R}}^{\frac{RR_p[i_i(t)-I_{B3}]}{R_p+R}} \\
&= -R_n C \ln \left\{ R_n I_{B3} + \frac{RR_p[i_i(t)-I_{B3}]}{R_p+R} \right\} + R_n C \ln \left\{ R_n I_{B3} + \frac{RR_p[i_i(t)+I_{B3}]}{R_p+R} \right\} \\
&= R_n C \left\{ \ln \frac{R_n I_{B3} (R_p + R) + RR_p[i_i(t) + I_{B3}]}{R_p + R} - \ln \frac{R_n I_{B3} (R_p + R) + RR_p[i_i(t) - I_{B3}]}{R_p + R} \right\} \\
&= R_n C \ln \frac{R_n I_{B3} (R_p + R) + RR_p[i_i(t) + I_{B3}]}{R_n I_{B3} (R_p + R) + RR_p[i_i(t) - I_{B3}]} \\
&= R_n C \ln \frac{I_{B3} (R_p + R) + R[i_i(t) + I_{B3}]}{I_{B3} (R_p + R) + R[i_i(t) - I_{B3}]} = R_n C \ln \frac{I_{B3} R_p + 2I_{B3} R + Ri_i(t)}{I_{B3} R_p + Ri_i(t)} \\
&= R_n C \ln \left[\frac{2I_{B3} R}{I_{B3} R_p + Ri_i(t)} + 1 \right]
\end{aligned}$$

แทนค่า R_n และ R_p ด้วย $\frac{V_T}{2I_{B1}}$

$$T_2 = \frac{V_T C}{2I_{B1}} \ln \left[\frac{2I_{B3} R}{\frac{I_{B3} V_T}{2I_{B1}} + Ri_i(t)} + 1 \right]$$

$$T_2 = \frac{V_T C}{2I_{B1}} \ln \left[\frac{4I_{B1}I_{B3}R}{I_{B3}V_T + 2I_{B1}Ri_i(t)} + 1 \right] \quad (\text{n-16})$$

จาก $\ln(x+1) = x - \frac{x^2}{2} + \frac{x^3}{3} + \dots$ และใช้การประมาณค่าอันดับที่ 3

$$\begin{aligned}
T_1 &= \frac{V_T C}{2I_{B1}} \ln \left[\frac{4I_{B1}I_{B3}R}{I_{B3}V_T - 2I_{B1}Ri_i(t)} + 1 \right] \\
&= \frac{V_T C}{2I_{B1}} \left\{ \frac{4RI_{B1}I_{B3}}{I_{B3}V_T - 2I_{B1}Ri_i(t)} - \frac{(4RI_{B1}I_{B3})^2}{2[I_{B3}V_T - 2I_{B1}Ri_i(t)]^2} + \frac{(4RI_{B1}I_{B3})^3}{3[I_{B3}V_T - 2I_{B1}Ri_i(t)]^3} \right\}
\end{aligned}$$

$$\begin{aligned}
&= \frac{2RCV_T I_{B3}}{\left[I_{B3} V_T - 2I_{B1} R i_i(t) \right]} \left\{ 1 - \frac{4RI_{B1} I_{B3}}{2 \left[I_{B3} V_T - 2I_{B1} R i_i(t) \right]} + \frac{(4RI_{B1} I_{B3})^2}{3 \left[I_{B3} V_T - 2I_{B1} R i_i(t) \right]^2} \right\} \\
&= \frac{2RCV_T I_{B3}}{\left[I_{B3} V_T - 2I_{B1} R i_i(t) \right]} \left\{ 1 - \frac{4RI_{B1} I_{B3}}{\left[I_{B3} V_T - 2I_{B1} R i_i(t) \right]} \left\{ \frac{1}{2} + \frac{1(4RI_{B1} I_{B3})}{3 \left[I_{B3} V_T - 2I_{B1} R i_i(t) \right]} \right\} \right\} \\
&= \frac{2RCV_T I_{B3}}{\left[I_{B3} V_T - 2I_{B1} R i_i(t) \right]} \left\{ 1 - \frac{4RI_{B1} I_{B3}}{\left[I_{B3} V_T - 2I_{B1} R i_i(t) \right]} \left\{ \frac{3 \left[I_{B3} V_T - 2I_{B1} R i_i(t) \right]}{6 \left[I_{B3} V_T - 2I_{B1} R i_i(t) \right]} + \frac{2(4RI_{B1} I_{B3})}{6 \left[I_{B3} V_T - 2I_{B1} R i_i(t) \right]} \right\} \right\} \\
&= \frac{2RCV_T I_{B3}}{\left[I_{B3} V_T - 2I_{B1} R i_i(t) \right]} \left\{ 1 - \frac{4RI_{B1} I_{B3}}{\left[I_{B3} V_T - 2I_{B1} R i_i(t) \right]} \left\{ \frac{3I_{B3} V_T - 6I_{B1} R i_i(t) + 8RI_{B1} I_{B3}}{6 \left[I_{B3} V_T - 2I_{B1} R i_i(t) \right]} \right\} \right\} \\
T_1 &= \frac{2RCV_T I_{B1} I_{B3}}{\left[I_{B3} V_T - 2I_{B1} R i_i(t) \right]} \left\{ 1 - \frac{6RI_{B1} I_{B3}^2 V_T - 12R^2 I_{B1}^2 I_{B3} i_i(t) + 32R^2 I_{B1}^2 I_{B3}^2}{3 \left[I_{B3} V_T - 2I_{B1} R i_i(t) \right]^2} \right\} \quad (\text{n-17})
\end{aligned}$$

และ T_2 มีค่าดังนี้

$$\begin{aligned}
T_2 &= \frac{V_T C}{2I_{B1}} \ln \left[\frac{4I_{B1} I_{B3} R}{I_{B3} V_T + 2I_{B1} R i_i(t)} + 1 \right] \\
&\quad \frac{V_T C}{2I_{B1}} \left\{ \frac{4I_{B1} I_{B3} R}{I_{B3} V_T + 2I_{B1} R i_i(t)} - \frac{(4I_{B1} I_{B3} R)^2}{2 \left[I_{B3} V_T + 2I_{B1} R i_i(t) \right]^2} + \frac{(4I_{B1} I_{B3} R)^3}{3 \left[I_{B3} V_T + 2I_{B1} R i_i(t) \right]^3} \right\} \\
&\quad \frac{2V_T RCI_{B3}}{I_{B3} V_T + 2I_{B1} R i_i(t)} \left\{ 1 - \frac{4I_{B1} I_{B3} R}{2 \left[I_{B3} V_T + 2I_{B1} R i_i(t) \right]} + \frac{(4I_{B1} I_{B3} R)^2}{3 \left[I_{B3} V_T + 2I_{B1} R i_i(t) \right]^2} \right\} \\
&= \frac{2RCV_T I_{B3}}{\left[I_{B3} V_T + 2I_{B1} R i_i(t) \right]} \left\{ 1 - \frac{4RI_{B1} I_{B3}}{\left[I_{B3} V_T + 2I_{B1} R i_i(t) \right]} \left\{ \frac{3 \left[I_{B3} V_T + 2I_{B1} R i_i(t) \right]}{6 \left[I_{B3} V_T + 2I_{B1} R i_i(t) \right]} + \frac{2(4RI_{B1} I_{B3})}{6 \left[I_{B3} V_T + 2I_{B1} R i_i(t) \right]} \right\} \right\} \\
&= \frac{2RCV_T I_{B3}}{\left[I_{B3} V_T + 2I_{B1} R i_i(t) \right]} \left\{ 1 - \frac{4RI_{B1} I_{B3}}{\left[I_{B3} V_T + 2I_{B1} R i_i(t) \right]} \left\{ \frac{3I_{B3} V_T + 6I_{B1} R i_i(t) + 8RI_{B1} I_{B3}}{6 \left[I_{B3} V_T + 2I_{B1} R i_i(t) \right]} \right\} \right\} \\
T_2 &= \frac{2RCV_T I_{B1} I_{B3}}{\left[I_{B3} V_T + 2I_{B1} R i_i(t) \right]} \left\{ 1 - \frac{6RI_{B1} I_{B3}^2 V_T + 12R^2 I_{B1}^2 I_{B3} i_i(t) + 32R^2 I_{B1}^2 I_{B3}^2}{3 \left[I_{B3} V_T + 2I_{B1} R i_i(t) \right]^2} \right\} \quad (\text{n-18})
\end{aligned}$$

ดังนั้นค่าความเวลาหาค่าได้จาก

$$T = T_1 + T_2 = \frac{2RCV_T I_{B3}}{\left[I_{B3}V_T - 2I_{B1}Ri_i(t) \right]} \left\{ 1 - \frac{4RI_{B1}I_{B3}}{2\left[I_{B3}V_T - 2I_{B1}Ri_i(t) \right]} + \frac{(4RI_{B1}I_{B3})^2}{3\left[I_{B3}V_T - 2I_{B1}Ri_i(t) \right]^2} \right\} \\ + \frac{2V_T RCI_{B3}}{I_{B3}V_T + 2I_{B1}Ri_i(t)} \left\{ 1 - \frac{(4I_{B1}I_{B3}R)}{2\left[I_{B3}V_T + 2I_{B1}Ri_i(t) \right]} + \frac{(4I_{B1}I_{B3}R)^2}{3\left[I_{B3}V_T + 2I_{B1}Ri_i(t) \right]^2} \right\} \quad (n-19)$$

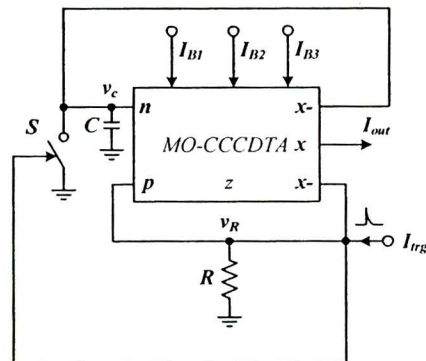
ค่าดิวตี้ใช้เกลหาค่าได้จาก

$$D = \frac{T_1}{T} \times 100$$

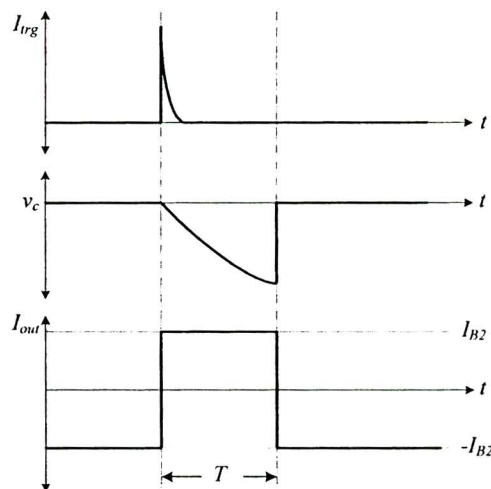
$$D = \frac{\frac{2RCV_T I_{B3}}{\left[I_{B3}V_T - 2I_{B1}Ri_i(t) \right]} \left\{ 1 - \frac{4RI_{B1}I_{B3}}{2\left[I_{B3}V_T - 2I_{B1}Ri_i(t) \right]} + \frac{(4RI_{B1}I_{B3})^2}{3\left[I_{B3}V_T - 2I_{B1}Ri_i(t) \right]^2} \right\}}{\left[I_{B3}V_T - 2I_{B1}Ri_i(t) \right] \left\{ 1 - \frac{4RI_{B1}I_{B3}}{2\left[I_{B3}V_T - 2I_{B1}Ri_i(t) \right]} + \frac{(4RI_{B1}I_{B3})^2}{3\left[I_{B3}V_T - 2I_{B1}Ri_i(t) \right]^2} \right\}} \\ + \frac{\frac{2V_T RCI_{B3}}{I_{B3}V_T + 2I_{B1}Ri_i(t)} \left\{ 1 - \frac{(4I_{B1}I_{B3}R)}{2\left[I_{B3}V_T + 2I_{B1}Ri_i(t) \right]} + \frac{(4I_{B1}I_{B3}R)^2}{3\left[I_{B3}V_T + 2I_{B1}Ri_i(t) \right]^2} \right\}}{\left[I_{B3}V_T + 2I_{B1}Ri_i(t) \right] \left\{ 1 - \frac{4RI_{B1}I_{B3}}{2\left[I_{B3}V_T - 2I_{B1}Ri_i(t) \right]} + \frac{(4RI_{B1}I_{B3})^2}{3\left[I_{B3}V_T - 2I_{B1}Ri_i(t) \right]^2} \right\}} \\ = \frac{\left[I_{B3}V_T + 2I_{B1}Ri_i(t) \right] \left\{ 1 - \frac{4RI_{B1}I_{B3}}{2\left[I_{B3}V_T - 2I_{B1}Ri_i(t) \right]} + \frac{(4RI_{B1}I_{B3})^2}{3\left[I_{B3}V_T - 2I_{B1}Ri_i(t) \right]^2} \right\}}{\left[I_{B3}V_T + 2I_{B1}Ri_i(t) \right] \left\{ 1 - \frac{4RI_{B1}I_{B3}}{2\left[I_{B3}V_T - 2I_{B1}Ri_i(t) \right]} + \frac{(4RI_{B1}I_{B3})^2}{3\left[I_{B3}V_T - 2I_{B1}Ri_i(t) \right]^2} \right\}} \\ + \left[I_{B3}V_T - 2I_{B1}Ri_i(t) \right] \left\{ \frac{\left[I_{B3}V_T + 2I_{B1}Ri_i(t) \right]}{\left[I_{B3}V_T + 2I_{B1}Ri_i(t) \right]} - \frac{(4I_{B1}I_{B3}R)\left[I_{B3}V_T + 2I_{B1}Ri_i(t) \right]}{2\left[I_{B3}V_T + 2I_{B1}Ri_i(t) \right]^2} \right. \\ \left. + \frac{(4I_{B1}I_{B3}R)^2\left[I_{B3}V_T + 2I_{B1}Ri_i(t) \right]}{3\left[I_{B3}V_T + 2I_{B1}Ri_i(t) \right]^3} \right\} \\ = \frac{\left\{ \frac{6\left[I_{B3}V_T - 2I_{B1}Ri_i(t) \right]^2}{\left[I_{B3}V_T - 2I_{B1}Ri_i(t) \right]^2} - \frac{3(4RI_{B1}I_{B3})}{6\left[I_{B3}V_T - 2I_{B1}Ri_i(t) \right]^2} + \frac{2(4RI_{B1}I_{B3})^2}{6\left[I_{B3}V_T - 2I_{B1}Ri_i(t) \right]^2} \right\}}{\left\{ \frac{6\left[I_{B3}V_T - 2I_{B1}Ri_i(t) \right]^2}{\left[I_{B3}V_T - 2I_{B1}Ri_i(t) \right]^2} - \frac{3(4RI_{B1}I_{B3})}{6\left[I_{B3}V_T - 2I_{B1}Ri_i(t) \right]^2} + \frac{2(4RI_{B1}I_{B3})^2}{6\left[I_{B3}V_T - 2I_{B1}Ri_i(t) \right]^2} \right\}} \\ + \left[I_{B3}V_T - 2I_{B1}Ri_i(t) \right] \left\{ \frac{1}{\left[I_{B3}V_T + 2I_{B1}Ri_i(t) \right]} - \frac{(4I_{B1}I_{B3}R)}{2\left[I_{B3}V_T + 2I_{B1}Ri_i(t) \right]^2} \right. \\ \left. + \frac{(4I_{B1}I_{B3}R)^2}{3\left[I_{B3}V_T + 2I_{B1}Ri_i(t) \right]^3} \right\}$$

$$D = \frac{6[I_{B3}V_T - 2I_{B1}Ri_i(t)]\{I_{B3}V_T - 2I_{B1}Ri_i(t) - 2RI_{B1}I_{B3}\} + 32(RI_{B1}I_{B3})^2}{\left\{ 6[I_{B3}V_T - 2I_{B1}Ri_i(t)]\{I_{B3}V_T - 2I_{B1}Ri_i(t) - 2RI_{B1}I_{B3}\} + 32(RI_{B1}I_{B3})^2 \right.} \\ \left. + \frac{6[I_{B3}V_T - 2I_{B1}Ri_i(t)]^3}{[I_{B3}V_T + 2I_{B1}Ri_i(t)]} \left\{ 1 - \frac{2I_{B1}I_{B3}R}{[I_{B3}V_T + 2I_{B1}Ri_i(t)]} + \frac{(4I_{B1}I_{B3}R)^2}{3[I_{B3}V_T + 2I_{B1}Ri_i(t)]^2} \right\} \right\} \quad (n-20)$$

ก-4 การวิเคราะห์ทำงานของสัญญาณเอาต์พุต ความเวลาของวงจรโนนิสเตเบิลมัลติไวน์เตอร์ โหนดกระแส



(ก) รายละเอียดของวงจร



(ข) รูปคลื่นของวงจร

ภาพที่ ก-4 วงจรโนนิสเตเบิลมัลติไวน์เตอร์ โหนดกระแส

วงจรใช้คุณสมบัติของ MO-CCCDTA ที่ทำงานในสภาวะอิ่มตัว ดังนั้นจะได้ขนาดของสัญญาณกระแสเอาต์พุตดังนี้

$$I_{out(p-p)} = 2I_{B2} \quad (\text{ก-21})$$

จากวงจรในภาพที่ 5.1 พิจารณาที่ในค v_c สามารถเขียนสมการได้ดังนี้

$$I_{B3} = I_n + i_c = \frac{v_c}{R_n} + C \frac{dv_c}{dt} \quad (\text{ก-22})$$

พิจารณาค่าบเวลาทางซีกบวกของสัญญาณต่ำเหลี่ยม (T)

$$\begin{aligned} I_{B3} &= \frac{v_c}{R_n} + C \frac{d}{dt} v_c \\ \frac{R_n I_{B3} - v_c}{R_n C} &= \frac{d}{dt} v_c \\ dt &= \frac{R_n C}{R_n I_{B3} - v_c} dv_c \\ \int_0^T dt &= \int_{-V_R}^0 \frac{R_n C}{R_n I_{B3} - v_c} dv_c \end{aligned}$$

$$T = R_n C \int_{-V_R}^0 \frac{1}{R_n I_{B3} - v_c} dv_c \quad (\text{ก-23})$$

แทนค่า $R_n = \frac{V_T}{2I_{B1}}$ และ $-V_R = \frac{-I_{B3}RV_T}{V_T + 2I_{B1}R}$ ลงในสมการ (5.3) ได้ดังนี้

$$\begin{aligned} T &= \frac{V_T C}{2I_{B1}} \int_{\frac{-I_{B3}RV_T}{V_T + 2I_{B1}R}}^0 \frac{2I_{B1}}{V_T I_{B3} - 2I_{B1}v_c} dv_c = -\frac{V_T C}{2I_{B1}} \ln(V_T I_{B3} - 2I_{B1}v_c) \Big|_{\frac{-I_{B3}RV_T}{V_T + 2I_{B1}R}}^0 \\ &= -\frac{V_T C}{2I_{B1}} \ln(V_T I_{B3}) + \frac{V_T C}{2I_{B1}} \ln\left(V_T I_{B3} + \frac{I_{B1}I_{B3}RV_T}{V_T + 2I_{B1}R}\right) \end{aligned}$$

$$T = \frac{V_T C}{2I_{B1}} \ln\left(\frac{4I_{B1}R + V_T}{2I_{B1}R + V_T}\right) \quad (\text{ก-24})$$

ภาคผนวก ฯ

- ค่าพารามิเตอร์ของใบโพลาร์ทรายซิสเดอร์ที่ใช้ในการจำลองการทำงานของวงจรด้วยโปรแกรมคอมพิวเตอร์ PSpice

ข.1 ค่าพารามิเตอร์ของไบโพลาร์ทรานซิสเตอร์ NPN เบอร์ NR 200N

```
.MODEL NR200N NPN(RB=262.5 IRB=0 RBM=12.5 RC=25 RE=0.5
+IS=242E-18 EG=1.206 XTI=2 XTB=1.538 BF=137.5
+IKF=13.94E-3 NF=1 VAF=159.4 ISE=72E-16 NE=1.713
+BR=0.7258 IKR=4.396E-3 NR=1 VAR=10.73 ISC=0 NC=2
+TF=0.425E-9 TR=0.425E-8 CJE=0.428E-12 VJE=0.5
+MJE=0.28 CJC=1.97E-13 VJC=0.5 MJC=0.3 XCJC=0.065
+CJS=1.17E-12 VJS=0.64 MJS=0.4 FC=0.5)
```

ข.2 ค่าพารามิเตอร์ของไบโพลาร์ทรานซิสเตอร์ PNP เบอร์ PR 200N

```
.MODEL PR200N PNP(RB=163.5 IRB=0 RBM=12.27 RC=25 RE=1.5
+IS=147E-18 EG=1.206 XTI=1.7 XTB=1.866 BF=110
+IKF=4.718E-3 NF=1 VAF=51.8 ISE=50.2E-16 NE=1.650
+BR=0.4745 IKR=12.96E-3 NR=1 VAR=9.96 ISC=0 NC=2
+TF=0.610E-9 TR=0.610E-8 CJE=0.36E-12 VJE=0.5
+MJE=0.28 CJC=0.328E-12 VJC=0.8 MJC=0.4 XCJC=0.074
+CJS=1.39E-12 VJS=0.55 MJS=0.35 FC=0.5)
```

ภาคผนวก ก

- การกำหนดความสำคัญของหัวข้อเรื่อง
- การกำหนดความสำคัญวัตถุประสงค์เชิงพฤติกรรม
- การวิเคราะห์วัตถุประสงค์เชิงพฤติกรรมเพื่อออกข้อสอบ
- การวิเคราะห์สี่ของการสอน

ตารางที่ ค-1 การประเมินความสำคัญของหัวข้อเรื่อง

เรื่อง : วงจรขยายความนำถ่ายโอนผลต่างกระแสที่สามารถควบคุมด้วยกระแสที่ทำงานในช่วงอิ่มตัวและการประยุกต์ใช้งาน

หัวข้อเรื่อง	จุดประเมิน		
	1	2	3
เรื่องที่ 1 คุณสมบัติเบื้องต้นของ CC-CDTA ที่ทำงานในช่วงเชิงเส้นและอิ่มตัว	X	O	O
เรื่องที่ 2 วงจรชนิดทริกเกอร์โใหมดกระแส	X	O	O
เรื่องที่ 3 วงจรกำเนิดสัญญาณสี่เหลี่ยมโใหมดกระแส	X	O	O
เรื่องที่ 4 วงรอมอคูเตตความกว้างพัลส์โใหมดกระแส	X	O	O
เรื่องที่ 5 วงจรไมโนสเตเบิลแมลติไวนเบรเตอร์โใหมดกระแส	X	O	O

หมายเหตุ :

ความสำคัญ

- | | |
|---|-------------|
| 1 : ช่วยส่งเสริมความสามารถในการแก้ปัญหาในการเรียน X : มาก | I : ปานกลาง |
| 2 : ช่วยส่งเสริมทักษะการทำงานให้ถูกต้อง | O : น้อย |
| 3 : ช่วยส่งเสริมผู้เรียนมีเจตคติที่ดี | |

ตารางที่ ก-2 การประเมินความสำคัญของวัตถุประสงค์เชิงพฤติกรรม

เรื่อง : วัจจุรขยายความนำถ่ายโอนผลต่างกระแสที่สามารถควบคุมด้วยกระแสทที่ทำงานในช่วงอิ่มตัวและการประยุกต์ใช้งาน

วัตถุประสงค์เชิงพฤติกรรม	LS		
	R	A	T
1. คุณสมบัติเบื้องต้นของ CC-CDTA ที่ทำงานในช่วงเชิงเส้นและอิ่มตัว บอกสัญลักษณ์และวงจรสมมูลของ CC-CDTA แบบต่างๆ ได้ บอกสมการคุณลักษณะของ CC-CDTA แบบต่างๆ ได้ อธิบายคุณลักษณะของ CC-CDTA แบบต่างๆ ที่ทำงานในช่วงเชิงเส้นได้ คำนวณค่าความต้านทานไฟฟ้าอินพุตของ CC-CDTA ได้ คำนวณค่าความนำถ่ายโอนของ CC-CDTA ได้ บอกสมการคุณลักษณะของ CC-CDTA แบบต่างๆ ที่ทำงานในช่วงอิ่มตัวได้ คุณลักษณะของ CC-CDTA แบบต่างๆ ที่ทำงานในช่วงอิ่มตัวได้ บอกความแตกต่างลักษณะสมบัติของ CC-CDTA ที่ทำงานในช่วงเชิงเส้น กับที่ทำงานในสภาวะอิ่มตัวได้	I I I I I I	I I X I I	
2. วัจจุรชนิดต์ทริกเกอร์โหนดกระแสท ความสามารถกระแสทเอต์พุตของวัจจุรชนิดต์ทริกเกอร์โหนดกระแสทแบบ ต่างๆ ได้ ความสามารถกระแสทขีดเริ่มด้านสูงและต่ำกระแสทเอต์พุตของวัจจุรชนิดต์ทริก เกอร์โหนดกระแสทแบบต่างๆ ได้ คำนวณขนาดของกระแสทเอต์พุตของวัจจุรชนิดต์ทริกเกอร์โหนดกระแสท แบบต่างๆ คำนวณค่ากระแสทขีดเริ่มด้านสูงและต่ำกระแสทเอต์พุตของวัจจุรชนิดต์ ทริกเกอร์โหนดกระแสทแบบต่างๆ ได้ อธิบายลักษณะสมบัติของวัจจุรชนิดต์ทริกเกอร์โหนดกระแสทได้		X X I I I	
3. วัจจุรกำเนิดสัญญาณสี่เหลี่ยมโหนดกระแสท ความสามารถขนาดสัญญาณเอต์พุตของวัจจุรกำเนิดสัญญาณสี่เหลี่ยมโหนด กระแสทได้			X

ตารางที่ ค-2 (ต่อ)

วัตถุประสงค์เชิงพฤติกรรม	LS		
	R	A	T
คำนวณหาความถี่ของวงจรกำเนิดสัญญาณสี่เหลี่ยมโหนดกระแสได้	I		
คำนวณหาขนาดสัญญาณเอาต์พุตของวงจรกำเนิดสัญญาณสี่เหลี่ยมโหนดกระแสได้	I		
4. วงจรмоโนสเตเบิลแมตติไวเบรเตอร์โหนดกระแส			
หาสมการขนาดสัญญาณเอาต์พุตของวงจรмоโนสเตเบิลแมตติไวเบรเตอร์โหนดกระแสได้	X		
คำนวณหาความถี่ของวงจรโมโนสเตเบิลแมตติไวเบรเตอร์โหนดกระแสได้	I		
คำนวณหาขนาดสัญญาณเอาต์พุตของวงจรโมโนสเตเบิลแมตติไวเบรเตอร์โหนดกระแสได้	I		
คำนวณหาค่าจิตต์ไชเก็ลของวงจรโมโนสเตเบิลแมตติไวเบรเตอร์โหนดกระแสได้	I		
5. วงจรโมโนสเตเบิลแมตติไวเบรเตอร์โหนดกระแส			
หาสมการขนาดสัญญาณเอาต์พุตของวงจรโมโนสเตเบิลแมตติไวเบรเตอร์โหนดกระแสได้	X		
คำนวณหาความถี่ของสัญญาณพัลส์ของวงจรโมโนสเตเบิลแมตติไวเบรเตอร์โหนดกระแสได้	I		
คำนวณหาขนาดสัญญาณเอาต์พุตของวงจรโมโนสเตเบิลแมตติไวเบรเตอร์โหนดกระแสได้	I		

ໜາຍເຫດ

ระดับความรู้ และทักษะทางด้านสติปัญญา (Levels Of Intellectual Skill : LS)

ความสำคัญ

R : การพื้นคืน (Recalled Knowledge)

วันที่

A : การประยุกต์ (Applied Knowledge)

จ. ปัจจุบัน

T : การส่งถ่ายความรู้ (Transfer Knowledge)

๐๑๖

ตารางที่ ค-3 การวิเคราะห์วัดถูประسنก์เชิงพฤติกรรมเพื่อออกแบบข้อสอบ

วัดถูประسنก์เชิงพฤติกรรม	LS			รวม คะแนน	จำนวน ข้อสอบ	รวม ข้อสอบ
	R	A	T			
คุณสมบัติเบื้องต้นของ CC-CDTA ที่ทำงานในช่วงเชิงเส้นและอิ่มตัว				17		16
1. บอกสัญลักษณ์และวงจรสมมูลของ CC-CDTA แบบต่างๆ ได้	I(2)				2	
2. บอกสมการคุณลักษณะของ CC-CDTA แบบต่างๆ ได้	I(2)				2	
3. อธิบายคุณลักษณะของ CC-CDTA แบบต่างๆ ที่ทำงานในช่วงเชิงเส้นได้			X(3)		2	
4. คำนวณค่าความด้านท่านแฟรงช์อินพุตของ CC-CDTA ได้		I(2)			2	
5. คำนวณค่าความนำถ่ายโอนของ CC-CDTA ได้		I(2)			2	
6. บอกสมการคุณลักษณะของ CC-CDTA แบบต่างๆ ที่ทำงานในช่วงอิ่มตัวได้	I(2)				2	
7. คุณลักษณะของ CC-CDTA แบบต่างๆ ที่ทำงานในช่วงอิ่มตัวได้	I(2)				2	
8. บอกความแตกต่างลักษณะสมบัติของ CC-CDTA ที่ทำงานในช่วงเชิงเส้นกับที่ทำงานในสถานะอิ่มตัวได้ 6. คำนวณค่าความนำถ่ายโอนของ CCCDTA ได้		I(2)			2	
วงจรชัมพิต์ทริกเกอร์ใหม่กระแส				12		12
9. หาสมการกระแสเอาต์พุตของวงจรชัมพิต์ทริกเกอร์ใหม่กระแสแบบต่างๆ ได้			X(3)		2	
10. หาสมการกระแสเข้าเริ่มด้านสูงและต่ำกระแสเอาต์พุตของวงจรชัมพิต์ทริกเกอร์ใหม่กระแสแบบต่างๆ ได้			X(3)		2	

ตารางที่ ค-3 (ต่อ)

วัตถุประสงค์เชิงพุทธิกรรม	LS			รวม คะแนน	จำนวน ข้อสอบ	รวม ข้อสอบ
	R	A	T			
11. คำนวณขนาดของกระเสเอ่าต์พุตของวงจรชิมิตต์ทริกเกอร์โหนดกระเสแบบต่างๆ	I(2)				4	
12. คำนวณค่ากระเสขีดเริ่มด้านสูงและต่ำของกระเสเอ่าต์พุตของวงจรชิมิตต์ทริกเกอร์โหนดกระเสแบบต่างๆ ได้	I(2)				2	
13. อธิบายลักษณะสมบัติของวงจรชิมิตต์ทริกเกอร์โหนดกระเสได้	I(2)				2	
วงจรกำเนิดสัญญาณสี่เหลี่ยมโหนดกระเส						
14. ความสามารถขนาดสัญญาณเอ่าต์พุตของวงจร กำเนิดสัญญาณสี่เหลี่ยม โหนดกระเสได้		X(3)		7	1	5
15. คำนวณหาความถี่ของวงจรกำเนิดสัญญาณสี่เหลี่ยม โหนดกระเสได้	I(2)				2	
16. คำนวณขนาดสัญญาณเอ่าต์พุตของวงจร กำเนิดสัญญาณสี่เหลี่ยม โหนดกระเสได้	I(2)				2	

หมายเหตุ

ระดับความรู้ และทักษะทางด้านสติปัญญา (Levels Of Intellectual Skill : LS)

ความสำคัญ

R : การพื้นคืน (Recalled Knowledge)

X: มาก

A : การประยุกต์ (Applied Knowledge)

I: ปานกลาง

T : การส่งถ่ายความรู้ (Transfer Knowledge)

O: น้อย

ตารางที่ ค-3 (ต่อ)

วัตถุประสงค์เชิงพฤติกรรม	LS			รวม คะแนน	จำนวน ข้อสอบ	รวม ข้อสอบ
	R	A	T			
วงจรmonitor เดตความกว้างพัลส์ใหม่ค่ากระแส				9	1	7
17. หาสมการขนาดสัญญาณเอาต์พุตของวงจร monitor เดตความกว้างพัลส์ใหม่ค่ากระแสได้		X(3)				
18. คำนวณหาความถี่ของวงจรmonitor เดตความ กว้างพัลส์ใหม่ค่ากระแสได้	I(2)				2	
19. คำนวณหาขนาดสัญญาณเอาต์พุตของวงจร monitor เดตความกว้างพัลส์ใหม่ค่ากระแสได้	I(2)				2	
20. คำนวณหาค่าดิวตี้ใช้เก็ลของวงจรmonitor เดต ความกว้างพัลส์ใหม่ค่ากระแสได้	I(2)				2	
วงจรโนนสเตเบลล์มัลติไวนเบรเตอร์ใหม่ค่ากระแส				7	1	4
21. หาสมการขนาดสัญญาณเอาต์พุตของวงจร โนนสเตเบลล์มัลติไวนเบรเตอร์ใหม่ค่ากระแสได้	I(2)	X(3)			2	
22. คำนวณหาความกว้างของสัญญาณพัลส์ของ วงจร โนนสเตเบลล์มัลติไวนเบรเตอร์ใหม่ค ค่ากระแสได้	I(2)				1	
23. คำนวณหาขนาดสัญญาณเอาต์พุตของวงจร โนนสเตเบลล์มัลติไวนเบรเตอร์ใหม่ค่ากระแสได้						

หมายเหตุ

ระดับความรู้ และทักษะทางด้านสติปัญญา (Levels Of Intellectual Skill : LS)

ความสำคัญ

R : การพื้นกืน (Recalled Knowledge)

X: มาก

A : การประยุกต์ (Applied Knowledge)

I: ปานกลาง

T : การส่งถ่ายความรู้ (Transfer Knowledge)

O: น้อย

งาน

ตารางที่ ค-4 การวิเคราะห์ต่อการสอน เรื่องวงจรขยายความนำ่ถ่ายโดยแต่งกรวยแต่งที่ทางวงจรความถี่ทำงานในช่วงอัตราส่วนของสัญญาณต่อ

วัสดุประดิษฐ์	กาวหนัง		กาวเคลือบ "ไวน"		กระดาษ		สีทึบสีลง		ทาสีทาทึบสีลง	
	พาราเวอร์	แม่ปืน	พาราฟิล์ม	กาวพาราฟิล์ม	CAl	ตาข่าย	PSpice	คำ	สีทึบสีลง	ทาสีทาทึบสีลง
บจกศรีลักษณ์และวิจัยสถาบันฯ จำกัด CC-CDTA แบบต่างๆ ได้	X	I	I	O	O	O	O	X	เพนกวิ้นพะยอม กระดาษคำ	กาวหนังทึบสีลง บริษัทเมืองไทย ประดิษฐ์แก้วไบค์
บจกศรีราษฎร์ภัณฑ์(CC-CDTA) แบบต่างๆ ได้									เพนกวิ้นพะยอม PSpice กระดาษคำ	กาวหนังทึบสีลง บริษัทเมืองไทย ประดิษฐ์แก้วไบค์
บริษัทศรีราษฎร์(CC-CDTA) แบบต่างๆ ที่ทำงานในช่วงชิงเส้น ได้	X	I	I	O	O	I	X	X	เพนกวิ้นพะยอม PSpice กระดาษคำ	กาวหนังทึบสีลง บริษัทเมืองไทย ประดิษฐ์แก้วไบค์

X : สีทึบสีลงมากที่สุด

1 : สีทึบสีลงปานกลาง

O : สีทึบสีลงน้อยมากที่สุด

ตารางที่ ค-4 (ต่อ)

วัสดุประสงค์	กาวพนัง		กาวพอกสีญี่ปุ่น "หิว"		กาว		กระดาษ ด้าน	สีอิฐเคลือบ	มาตรฐาน เดิมๆ
	เพลวอร์	ผ่าน	ผ่าน	กาว	กาว 3 นิ้ว	CAL			
สำนวนก่อโครงสร้างที่ใช้ อิมพูชัน CC-C-DIA "ดี"	X	I	I	O	O	O	X	X	มาตรฐาน "ดี" คละเบ็ด เศรีน จินจาน ก้าว ประทับดี บุกษา "ส่องไฟ"
สำนวนก่อโครงสร้างที่ใช้ อิมพูชัน CC-C-DIA "ดี"	X	I	I	O	O	O	X	X	มาตรฐาน "ดี" คละเบ็ด เศรีน จินจาน ก้าว ประทับดี บุกษา "ส่องไฟ"
สำนวนก่อโครงสร้างที่ใช้ อิมพูชัน CC-C-DIA "ดี"	X	I	I	O	O	I	X	X	มาตรฐาน "ดี" คละเบ็ด เศรีน จินจาน ก้าว ประทับดี บุกษา "ส่องไฟ"

X : สีอิฐเคลือบยามากที่สุด

I : สีอิฐเคลือบสีก็จะขูบอย่างดี

O : สีอิฐเคลือบสีก็จะขูบอย่างดี

ตารางที่ ๔ (ต่อ)

วัสดุประดิษฐ์	ค่าพื้น		ค่าผลลัพธ์ทาง		ค่าจัดทำ		สีตองสีออก		มาตรฐานสีออก			
	พอหัวร์	พอตต์	หนา	บาง	กาว	CAI	ชุด	PSpice	จำ	กาวออร์ฟอบต์	PSpice	กาวดานด้า
บล็อกถ่านกาวคุณลักษณะของ CC-CDTA เท่าๆ กันในช่วง อันตราย	X	I	I	O	O	I	X	X	X	กาวออร์ฟอบต์ PSpice	กาวดานด้า	กาวที่เป็นสีเขียว สีริ้วจินตนากาว ประดับ ยกไข่ใส่ปู
คุณลักษณะของ CC-CDTA แบบ ต่างๆ ที่ทำให้เกิดข้อบกพร่อง	X	I	I	O	O	O	O	X	X	กาวออร์ฟอบต์ PSpice	กาวดานด้า	กาวที่เป็นสีเขียว สีริ้วจินตนากาว ประดับ ยกไข่ใส่ปู
หากความแตกต่างกันของสารเคมีลดลง CC-CDTA ที่ทำงานในช่วงชิงเส้น กันที่ทำงานในสถานะอิ่มตัวได้	X	I	I	O	O	O	O	X	X	กาวออร์ฟอบต์ PSpice	กาวดานด้า	กาวที่เป็นสีเขียว สีริ้วจินตนากาว ประดับ ยกไข่ใส่ปู

X : สีตองที่หลุดภายนอก

I : สีตองที่มีความสีเหลืองมาก

O : สีตองที่มีความสีเขียวเข้มที่สุด

ตารางที่ 4 (ต่อ)

วิธีประยุกต์	กีฬาชนิด		กีฬาเพลี้ยงไฟฟ้า		กีฬาชนิด		กีฬาชนิด		ผลลัพธ์ที่ได้
	ไฟเบอร์	ผู้คน	ไฟฟ้า	แม่เหล็กไฟฟ้า	ไฟฟ้า	สายชีวิต	PSpice	ด้าน	
หางานกราฟและพุทธะวงจร นิสัยรักษาตัวให้คงกระถาวา ต่างๆ ได้	X	I	I	O	O	O	O	O	แสดงข้อมูลได้ คงรักษาประจำตัว แม่นๆ ได้
หางานกราฟและตัวรับสัญญาณ ตัวกราฟตัวที่ตุ่นของวงจรพิเศษ ที่รักษาตัวให้มีความสมบูรณ์แบบ ต่างๆ ได้	X	I	I	O	O	O	X	X	ไฟเบอร์พิเศษ กราฟแนวตัว แม่นๆ ได้
ค่านวณงานไฟฟ้าและสถานที่จุดต่อ วงจรที่มีตัวที่รักษาตัวให้มีความสมบูรณ์ แบบต่างๆ	X	I	I	O	O	I	X	X	แสดงข้อมูลได้ คงรักษาไฟฟ้า แม่นๆ ได้

X : สิ่งที่ได้คัญหาแก้ไข

I : สิ่งที่มีความสำคัญปานกลาง

O : สิ่งที่ไม่ควรสำคัญน้อยมาก

ตารางที่ ค-4 (ต่อ)

วัสดุประสงค์	ภาพนิ่ง		ภาพเคลื่อนไหว		ชุด สถาบัน	กราฟ ดีๆ	สื่อที่เลือก	บทกล่าวที่เลือก
	เพลทว์ พอลบ์	แผ่น กาว	แม่เหล็ก	ไฟฟ้า 3 ภูมิ				
ก้านวัสดุที่สามารถรีบสานรูปและต่อกราฟเสถียรพุ่งทางกราฟิก พิริภพกราฟโดยไม่ต้องแต่งเปลี่ยนแปลง	X	I	I	O	O	I	X	ไฟฟ้าเรืองแสงที่ คงที่ตลอดเวลา จินตนาการ ประสาท แก้ไขได้ง่าย
พิธีบวงสรวงและทำบูชาในวันพระชีวิต พิริภพกราฟโดยกราฟแบบเดียว	X	I	I	O	O	I	X	ไฟฟ้าเรืองแสงที่ คงที่ตลอดเวลา ประสาท แก้ไขได้ง่าย
หางานตามความต้องบัญญัติทางกราฟิก วงจรที่เบ็ดเตล็ดบัญญัติใหม่ที่เหลืออยู่ในหน้าจอ กราฟเสถียร	X	I	I	O	O	O	X	ไฟฟ้าเรืองแสงที่ คงที่ตลอดเวลา ลักษณะประยุกต์ แก้ไขได้ง่าย

X : สื่อที่สำคัญมากที่สุด

I : สื่อที่มีความสำคัญปานกลาง

O : สื่อที่มีความสำคัญน้อยที่สุด

ตารางที่ 4 (ต่อ)

วัสดุประดับงา	กานพนัง		กานพคลื่นไฟฟ้า		PSpice	การคำนวณ	สีของลักษณะ	เหตุผลต่อไปนี้
	เพลาชร์	แหลม	แหลมไส้	กานพ 3 ภารต์				
ค่านิยามความถี่ของวงจรกำเนิด ซึ่งจะเป็นสีเหลือง บริเวณครัวเรือน	X	I	I	O	I	X	X	ผลการคำนวณที่ได้
วงจรรักษาเส้นทางไฟฟ้า								ผลการคำนวณที่ได้
วงจรไฟฟ้าและเส้นทางไฟฟ้า								ผลการคำนวณที่ได้
X : สีที่สำคัญมากที่สุด I : สีที่มีความสำคัญมากสอง								O : สีที่สำคัญน้อยที่สุด

ตารางที่ ก-4 (๗๐)

วัตถุประสงค์	ภาษาหนึ่ง			ภาษาอื่นๆ ในการเขียนโปรแกรม			การจำลอง	สื่อสำหรับคำสั่ง	มาตรฐานสากล
	(พากอร์)	แม็ค	บีบีสี	ภาษา	ชุด	PSpice			
ทดสอบการทำงานของสัญญาณทางไฟฟ้า	X	I	I	O	O	O	X	ไฟวอร์พอยต์	แสดงแบบถอนได้
ตรวจสอบความถูกต้องของผลลัพธ์ในแต่ละขั้นตอน	X	I	I	O	O	O	X	กราฟแนวโน้ม	ใช้เบ็ด ประยุทธ์
ตรวจสอบความถูกต้องของผลลัพธ์								ไฟวอร์พอยต์	ไม่ได้
คำแนะนำทางภาษาและงานของอนุญาติ	X	I	I	O	O	I	X	PSpice	แสดงแบบถอนได้
คำแนะนำของผลลัพธ์ทางคณิตศาสตร์								กราฟแนวโน้ม	ใช้เบ็ด เศรษฐี

X : สั่งที่สำหรับผู้ใช้งาน

1 : สั่งที่สำหรับผู้ใช้งาน

O : สั่งที่สำหรับผู้ใช้งาน

ตารางที่ ค-4 (ต่อ)

วัสดุประดับเงิน	กาวพ่น			กาวพิเศษชนิดน้ำ			ชุด	PSpice	กราฟาน	สีทองคำร้อน	เหตุผลที่เลือก
	พลาสติก	ผ้าไหม	ผ้าไหมไนล์	กาวพิเศษชนิดน้ำ	C Al	ถ่านเชิง					
ก้านเงินหัวแบบเด็กๆ ไม่ต้องรีบูตต์	X	1	1	O	O	1	X	X	PSpice	กราฟานดำ	คงทนต่อการรีบูตต์
วงจรในใบเสต็ปเปอร์คลื่นตัวเร็วต้องรีบูตต์											คงทนต่อการรีบูตต์
ไฟกระพริบแต่ไม่ได้											คงทนต่อการรีบูตต์

X : สีทองคำต้องมาก่อนที่สุด

1 : สีที่ต้องมาหลังจากมาสีทองคำ

O : สีที่ต้องมาหลังจากมาสีทองคำ

ภาคผนวก ง

- แบบประเมินผลความเห็นของสมชุดการสอน
- แบบสอนตามความพึงพอใจของผู้เรียน
- แบบสอนตามอาจารย์ผู้สอน

แบบประเมินชุดการสอน

**เรื่อง วงจรขยายความนำถ่ายโอนผลต่างกระแสที่สามารถควบคุมด้วยกระแสที่ทำงานในช่วงอิมตัว
และการประยุกต์ใช้งาน**

คำชี้แจง

1. แบบประเมินชุดนี้แบ่งออกเป็น 3 ตอน

ตอนที่ 1 สถานภาพของผู้ตอบแบบประเมิน

ตอนที่ 2 ความคิดเห็นของผู้ใช้ข่าวสารที่มีต่อชุดการสอน

ตอนที่ 3 ข้อเสนอแนะ

2. แบบประเมินนี้ใช้สำหรับหาข้อมูลเพื่อการวิจัยเท่านั้น ไม่มีผลกระทบต่อการปฏิบัติหน้าที่ และ สถานภาพทางราชการแต่ประการใด คำตอบของท่านจะเป็นประโยชน์ในการทำวิจัยในครั้งนี้เป็นอย่างมาก หากผู้วิจัยต้องขออนพระคุณมา ณ โอกาสนี้ด้วย

3. เครื่องมือที่ใช้ในการวิจัยในครั้งนี้ประกอบด้วย

3.1 แผนการสอนตามรูปแบบการเรียนรู้ MIAP

3.2 ใบเนื้อหา

3.3 ใบงาน

3.4 สื่อการสอน

3.5 แบบทดสอบวัดผลสัมฤทธิ์ทางการเรียน

ตอนที่ 1 สถานภาพของผู้ตอบแบบประเมิน

กรุณาระบุเครื่องหมาย ✓ ลงใน □ หน้าตัวเลือกที่ตรงกับสภาพความเป็นจริง

1. ระดับการศึกษา

ปริญญาตรีหรือเทียบเท่า

ปริญญาโทหรือเทียบเท่า

ปริญญาเอกหรือเทียบเท่า

อื่นๆ.....

2. ประสบการณ์ด้านการสอนและการทำวิจัย

ต่ำกว่า 5 ปี

6-10 ปี

มากกว่า 10 ปี

อื่นๆ.....

3. ทำหน้าที่การสอนเกี่ยวกับ

- วิชาที่เกี่ยวกับไฟฟ้าสื่อสารและอิเล็กทรอนิกส์
 วิชาทางด้านไฟฟ้ากำลัง
 อื่นๆ.....

ตอนที่ 2 ความคิดเห็นของผู้เชี่ยวชาญที่มีต่อชุดการสอน

โปรดพิจารณาข้อตามต่อไปนี้แล้วทำเครื่องหมาย ล้อมรอบตัวเลือกในช่องระดับความเห็นด้วย
ที่ตรงกับความคิดเห็นของท่านมากที่สุด เพียงข้อละ 1 ตัวเลือก โดยมีระดับความคิดเห็นดังนี้

- 5 หมายถึง เห็นด้วยมากที่สุด
 4 หมายถึง เห็นด้วยมาก
 3 หมายถึง ปานกลางหรือไม่แน่ใจ
 2 หมายถึง เห็นด้วยน้อย
 1 หมายถึง เห็นด้วยน้อยที่สุด

ตัวอย่างการตอบแบบประเมิน

ข้อความคำダメ	ระดับความคิดเห็น				
	มาก ที่สุด	มาก	ปาน กลาง	น้อย	น้อย ที่สุด
วัตถุประสงค์ครอบคลุมเนื้อหา	(5)	4	3	2	1
จำนวนข้อของวัตถุประสงค์เหมาะสมกับหัวเรื่อง	5	4	3	(2)	1

ผู้ที่ตอบข้อ 1 หมายความว่า ผู้ตอบ ประเมินวัตถุประสงค์เชิงพฤติกรรมว่า ครอบคลุมเนื้อหา
ทุกหัวเรื่อง ในระดับ “เห็นด้วยมากที่สุด”

ผู้ที่ตอบข้อ 2 หมายความว่า ผู้ตอบ ประเมินจำนวนข้อของวัตถุประสงค์เหมาะสมกับหัวเรื่อง
ในระดับ “เห็นด้วยน้อย”

ข้อความคำถ้าม	ระดับความคิดเห็น				
	มาก ที่สุด	มาก	ปาน กลาง	น้อย	น้อย ที่สุด
แผนการสอน					
1. แผนการสอนชัดเจน อ่านเข้าใจง่าย	5	4	3	2	1
2. มีรายละเอียดของการดำเนินการสอนที่สอดคล้องกับรูปแบบการเรียนรู้ MIAP	5	4	3	2	1
3. มีการแสดงเวลาที่ใช้กิจกรรมการเรียนการสอนตามรูปแบบการเรียนรู้ในแต่ละขั้นอย่างเหมาะสม	5	4	3	2	1
4. มีการเลือกใช้วิธีการสอนในแต่ละกิจกรรมของการเรียนรู้อย่างเหมาะสม	5	4	3	2	1
5. เป็นแนวทางในการจัดกิจกรรมการเรียนการสอนได้จริง	5	4	3	2	1
6. วัตถุประสงค์ครอบคลุมเนื้อหา	5	4	3	2	1
7. จำนวนข้อของวัตถุประสงค์เหมาะสมกับหัวเรื่อง	5	4	3	2	1
8. ข้อความที่ใช้แสดงพฤติกรรมมีความชัดเจน เข้าใจง่าย	5	4	3	2	1
9. ประเมินผลการเรียนตามวัตถุประสงค์ได้จริง	5	4	3	2	1
10. ผู้สอนสามารถนำแผนการสอนนี้ไปใช้เป็นแนวทางในการจัดการเรียนการสอนตามรูปแบบการเรียนรู้ MIAP ได้จริง	5	4	3	2	1
ภายนอกเนื้อหาประกอบการสอน					
11. เนื้อหารอบคลุมวัตถุประสงค์	5	4	3	2	1
12. เนื้อหามีความถูกต้อง	5	4	3	2	1
13. มีรายละเอียดของเนื้อหาเพียงพอ	5	4	3	2	1
14. เนื้อหาระบบลำดับได้อย่างเหมาะสม	5	4	3	2	1
15. รูปภาพสัมพันธ์กับคำอธิบาย	5	4	3	2	1
16. คำอธิบายละเอียดและชัดเจน	5	4	3	2	1
17. ภาษาที่ใช้มีความเหมาะสม และอ่านทำความเข้าใจได้ง่าย	5	4	3	2	1
ภายนอกงานประกอบการสอน					
18. มีความถูกต้องตามเนื้อหา	5	4	3	2	1

ข้อความคำถ้าม	ระดับความคิดเห็น				
	มาก ที่สุด	มาก	ปาน กลาง	น้อย	น้อย ที่สุด
19. คำสั่งในการดำเนินงานแต่ละขั้นตอนชัดเจนและรักกุณ	5	4	3	2	1
20. ขั้นตอนการทดลองมีความต่อเนื่องเป็นลำดับ	5	4	3	2	1
21. ผู้เรียนสามารถปฏิบัติได้โดยตรง	5	4	3	2	1
22. กระบวนการทดลองเอื้อต่อการพัฒนาความรู้ตาม วัตถุประสงค์	5	4	3	2	1
23. จำนวนภาพที่ใช้บันทึกผลการทดลองมีความสอดคล้อง กับกระบวนการอย่างครบถ้วน	5	4	3	2	1
24. ภาพที่ใช้บันทึกผลการทดลองใช้ง่าย ไม่สร้างความ สับสนให้กับผู้เรียน	5	4	3	2	1
ด้านสือการเรียนการสอน(งานน้ำเสอนเฉพาะเวอร์พอยต์)					
25. รูปภาพมองเห็นได้ชัดเจน	5	4	3	2	1
26. ตัวหนังสือมองเห็นได้ชัดเจน	5	4	3	2	1
27. การใช้สีสันเหมาะสม	5	4	3	2	1
28. เหมาะสมกับเนื้อหา และวัตถุประสงค์การสอน	5	4	3	2	1
29. สามารถส่งเสริมให้ผู้เรียนเกิดการเรียนรู้ได้	5	4	3	2	1
ด้านการประเมินผล (แบบทดสอบวัดผลสัมฤทธิ์ทางการ เรียน)					
30. คำถ้ามตรงตามวัตถุประสงค์เชิงพฤติกรรม	5	4	3	2	1
31. จำนวนข้อสอบเหมาะสมกับวัตถุประสงค์เชิงพฤติกรรม	5	4	3	2	1
32. คำถ้ามและคำตอบมีเป้าหมายที่ชัดเจน	5	4	3	2	1
33. คำถ้ามชัดเจน ไม่คลุมเครือ	5	4	3	2	1
34. คำถ้ามมีความยากง่ายเหมาะสม	5	4	3	2	1

ตอนที่ 3 ข้อเสนอแนะ

ด้านแผนการสอน

.....
.....
.....
.....

ด้านเนื้อหา

.....
.....
.....
.....

ด้านใบงาน

.....
.....
.....
.....

ด้านสื่อการเรียนการสอน

.....
.....
.....
.....

ด้วยความเคารพอย่างสูง

นาย ศิลาพันธ์

แบบสอบถาม

**เรื่อง ความพึงพอใจของผู้เรียนที่ผ่านการเรียนการสอนเรื่องจรรยาบรรณนำถ่ายโอนผลต่าง
กระแสที่สามารถถวบคุณด้วยกระแสที่ทำงานในช่วงอีมตัวและการประยุกต์ใช้งาน**

**คำชี้แจง โปรดพิจารณาข้อความต่อไปนี้แล้วทำเครื่องหมาย ✓ ในช่องระดับความพึงพอใจที่ตรงกับ
ความคิดเห็นของท่านมากที่สุด เพียงข้อละ 1 ตัวเลือก**

ข้อที่	ข้อความความคิดเห็น	ระดับของความพึงพอใจ				
		มาก ที่สุด	มาก	ปาน กลาง	น้อย	น้อย ที่สุด
ด้านการเรียนการสอน						
1.	ปริมาณเนื้อหาที่ใช้ในการเรียนการสอนมีจำนวน เหมาะสม					
2.	การจัดลำดับเนื้อหา มีความต่อเนื่องและสัมพันธ์ กัน					
3.	เนื้อหาที่ใช้สอน มีความน่าสนใจ					
4.	ใบเนื้อหาอ่านเข้าใจง่าย ไม่สับสน โดยขนาด ตัวอักษรเหมาะสม และมีภาพที่ชัดเจน					
5.	เวลาที่ใช้สอนมีระยะเวลาที่เหมาะสม					
6.	แบบฝึกหัดและแบบทดสอบ มีความความยากง่าย เหมาะสม					
7.	หลังจากจบบทเรียนท่าน ได้รับความรู้เพิ่มขึ้นจาก เดิม					
8.	หลังจากจบบทเรียนท่าน สามารถนำความรู้ที่ได้รับ ไปใช้กับรายวิชาอื่น ๆ ได้					
9.	การวิเคราะห์หัวจรในห้องคระและง่ายกว่าห้อง ธรรมด้วย					
ด้านสื่อการสอน (ชุดนำเสนอด้วยเพาเวอร์พอยต์)						
10.	ส่งเสริมให้เข้าใจเนื้อหาได้ง่ายและรวดเร็ว					
11.	การเรียงลำดับของกรอบภาพ มีความสัมพันธ์กับ เนื้อที่ได้รับ					

ข้อที่	ข้อคำนวณความคิดเห็น	ระดับของความพึงพอใจ				
		มาก ที่สุด	มาก	ปาน กลาง	น้อย	น้อย ที่สุด
12.	ภาพมีความสัมพันธ์กับการบรรยาย					
13.	ภาพงดงามและตัวอักษรน่าอ่าน					
14.	สีสันที่ใช้มีความเด่นชัดและเหมาะสมน่าสนใจ					
ด้านใบงานประกอบการสอน						
15.	ช่วยส่งเสริม และกระตุ้นให้เกิดจินตนาการในการเข้าใจเนื้อหามากขึ้น					
16.	ช่วยให้ผู้เรียนสนใจ และมีส่วนร่วมในกระบวนการเรียนการสอนมากขึ้น					
17.	การใช้งานของใบงานมีความสะดวก ใช้งานง่าย มีขั้นตอนชัดเจนและรัดกุม					
18.	สามารถนำไปใช้ประโยชน์เพื่อเรียนรู้นอกเหนือจากการเรียนในชั้นเรียนได้ตลอดเวลา					

แบบสอบถามอาจารย์ผู้สอน

ชื่อเรื่อง การศึกษาสภาพ ปัญหาและความต้องการทางด้านการเรียนการสอน วิชาการออกแบบบ่วงจร อิเล็กทรอนิกส์หรือวิชาที่เกี่ยวข้อง เรื่อง การออกแบบบ่วงจรอิเล็กทรอนิกส์ในช่วงการทำงานอิ่มตัวโดย เทคนิคโภมดกระແສ

วัตถุประสงค์

1. เพื่อศึกษาสภาพการเรียนการสอนวิชาการออกแบบบ่วงจรอิเล็กทรอนิกส์หรือวิชาที่เกี่ยวข้อง
2. เพื่อกำหนดแนวทางในการพัฒนา การสร้างชุดการสอนวิชาการออกแบบบ่วงจร อิเล็กทรอนิกส์หรือวิชาที่เกี่ยวข้อง เรื่องการออกแบบบ่วงจรอิเล็กทรอนิกส์ในช่วงการทำงานอิ่มตัวโดยเทคนิคโภมดกระແສ

คำชี้แจง

1. แบบสอบถามมีทั้งหมด 3 ตอน ดังนี้
 - ตอนที่ 1 ข้อมูลทั่วไปเกี่ยวกับตัวผู้ตอบแบบสอบถาม
 - ตอนที่ 2 สภาพการเรียนการสอนวิชาการออกแบบบ่วงจรอิเล็กทรอนิกส์หรือวิชาที่เกี่ยวข้อง
 - ตอนที่ 3 ปัญหาและความต้องการการสอนวิชาการออกแบบบ่วงจรอิเล็กทรอนิกส์หรือวิชาที่เกี่ยวข้อง เรื่องการออกแบบบ่วงจรอิเล็กทรอนิกส์ในช่วงการทำงานอิ่มตัวโดยเทคนิคโภมดกระແສ

ข้อมูลทั่วไปของผู้ตอบแบบสอบถาม

ตอนที่ 1 ข้อมูลทั่วไปของผู้ตอบแบบสอบถาม

คำชี้แจง โปรดใส่เครื่องหมาย ลงในช่อง หน้าตัวเลือกที่ตรงกับสภาพความเป็นจริง

1. อายุ

- | | |
|-----------------------------------|--|
| <input type="checkbox"/> 15-25 ปี | <input type="checkbox"/> 25-45 ปี |
| <input type="checkbox"/> 45-60 ปี | <input type="checkbox"/> มากกว่า 60 ปี |

2. ระดับการศึกษา

- | | | |
|------------------------------------|-----------------------------------|------------------------------------|
| <input type="checkbox"/> ปริญญาตรี | <input type="checkbox"/> ปริญญาโท | <input type="checkbox"/> ปริญญาเอก |
|------------------------------------|-----------------------------------|------------------------------------|

3. ประสบการณ์ด้านการสอน

- | | |
|---------------------------------------|---------------------------------------|
| <input type="checkbox"/> ต่ำกว่า 5 ปี | <input type="checkbox"/> มากกว่า 5 ปี |
|---------------------------------------|---------------------------------------|

4. ด้านการสอนทำหน้าที่การสอนเกี่ยวกับ

อิเล็กทรอนิกส์ โทรคมนาคม อื่นๆ.....

5. สถานที่ทำงาน

โปรดระบุ.....

สภาพการเรียนการสอนวิชาการออกแบบบวกจริย์อิเล็กทรอนิกส์หรือวิชาที่เกี่ยวข้อง

ตอนที่ 2 สภาพการเรียนการสอนวิชาการออกแบบบวกจริย์อิเล็กทรอนิกส์หรือวิชาที่เกี่ยวข้อง
คำชี้แจง โปรดใส่เครื่องหมาย ลงในช่อง หน้าตัวเลือกที่ตรงกับสภาพความเป็นจริง

6. ท่านคิดว่าลักษณะเนื้อหาของวิชาการออกแบบบวกจริย์อิเล็กทรอนิกส์หรือ
วิชาที่เกี่ยวข้องจะมุ่งเน้นถึงสิ่งใดบ้าง (เลือกตอบได้มากกว่า 1 ตัวเลือก)

- | | | |
|--|---|---|
| <input type="checkbox"/> 1. การคำนวณ | <input type="checkbox"/> 2. การออกแบบบวกจริย์ | <input type="checkbox"/> 3. การวิเคราะห์หัวใจ |
| <input type="checkbox"/> 4. การสร้างวงจร | <input type="checkbox"/> 5. การทดสอบวงจร | <input type="checkbox"/> 6. การประยุกต์ใช้งาน |

7. อื่นๆ.

7. ท่านใช้กิจกรรมการเรียนการสอนแบบใดเพื่อให้ผู้เรียนบรรลุถึงวัตถุประสงค์ที่วางไว้
(เลือกตอบได้มากกว่า 1 ตัวเลือก)

- | | | |
|-------------------------------------|---|---------------------------------------|
| <input type="checkbox"/> 1. บรรยาย | <input type="checkbox"/> 2. กิจกรรมกลุ่ม | <input type="checkbox"/> 3. ถาม - ตอบ |
| <input type="checkbox"/> 4. โครงการ | <input type="checkbox"/> 5. เรียนรู้ด้วยตนเอง | |
| <input type="checkbox"/> 6. อื่นๆ. | | |

8. ท่านใช้สื่ออัจฉริยะบ้างประกอบการเรียนการสอนวิชาการออกแบบบวกจริย์อิเล็กทรอนิกส์
(เลือกตอบได้มากกว่า 1 ตัวเลือก)

- | | | |
|---|-------------------------------------|---|
| <input type="checkbox"/> 1. กระดาษคำ | <input type="checkbox"/> 2. แผ่นใส | <input type="checkbox"/> 3. เพาเวอร์พอยต์ |
| <input type="checkbox"/> 4. ในเนื้อหา | <input type="checkbox"/> 5. ในงาน | <input type="checkbox"/> 6. บทเรียน CAI |
| <input type="checkbox"/> 7. โปรแกรมคอมพิวเตอร์สำหรับออกแบบและวิเคราะห์หัวใจ | <input type="checkbox"/> 8. บทเรียน | |
- ออนไลน์

9. อื่นๆ.

9. ท่านทราบเรื่องการออกแบบบวกจริย์อิเล็กทรอนิกส์โดยใช้เทคนิคโภมดกรและหรือไม่

- | | | |
|-------------------------------|-------------------------------------|----------------------------------|
| <input type="checkbox"/> ทราบ | <input type="checkbox"/> พอทราบบ้าง | <input type="checkbox"/> ไม่ทราบ |
|-------------------------------|-------------------------------------|----------------------------------|

10. ท่านทราบเรื่องการออกแบบบ่วงจรอเล็กทรอนิกส์ในช่วงการทำงานอิมตัวโดยใช้เทคนิค
โภมดกระและหรือไม่.....

ทราบ พอทราบบ้าง ไม่ทราบ

11. ท่านมีแผนการสอนเรื่องการออกแบบบ่วงจรอเล็กทรอนิกส์ในช่วงการทำงานอิมตัวโดยใช้
เทคนิคโภมดกระและหรือไม่.....

มีทุกหัวข้อ มีบางหัวข้อ ไม่มี

สภาพการเรียนการสอนวิชาการออกแบบบ่วงจรอเล็กทรอนิกส์หรือวิชาที่เกี่ยวข้อง

12. ท่านมีใบเนื้อหาประกอบการสอนเรื่องการออกแบบบ่วงจรอเล็กทรอนิกส์ในช่วงการทำงาน
อิมตัวโดยใช้เทคนิคโภมดกระและหรือไม่.....

มีทุกหัวข้อ มีบางหัวข้อ ไม่มี

13. ในเรื่องการออกแบบบ่วงจรอเล็กทรอนิกส์ในช่วงการทำงานอิมตัวโดยใช้เทคนิคโภมดกระและ
ที่ท่านใช้อยู่เหมาะสมหรือไม่ (ถ้ามี)

เหมาะสม
 ไม่เหมาะสม คือ

14. ท่านต้องการพัฒนาใบเนื้อหาในเรื่อง

ความสอดคล้องระหว่างเนื้อหา กับ วัสดุประสงค์.....

มากที่สุด มาก ปานกลาง น้อย

การเรียงลำดับขั้นของเนื้อหา.....

มากที่สุด มาก ปานกลาง น้อย

ความถูกต้องของเนื้อหา.....

มากที่สุด มาก ปานกลาง น้อย

รูปภาพสัมพันธ์กับคำอธิบาย.....

มากที่สุด มาก ปานกลาง น้อย

15. สื่อการสอนที่ท่านใช้อยู่เหมาะสมหรือไม่

เหมาะสม
 ไม่เหมาะสม คือ

16. ท่านใช้การวัดผลและประเมินผลแบบใด ในการเรียนการสอนวิชาการอุกเบนของ
อิเล็กทรอนิกส์หรือวิชาที่เกี่ยวข้อง

1. แบบเลือกตอบ (ปrynay) 2. แบบเขียนคำตอบ (อัตโนมัติ)
 3. แบบส่งเป็นชิ้นงาน 4. อื่นๆ

สภาพการเรียนการสอนวิชาการอุกเบนของ
อิเล็กทรอนิกส์หรือวิชาที่เกี่ยวข้อง

17. ท่านต้องการพัฒนาสื่อการสอนในเรื่อง.....

ความหมายของเนื้อหาและวัตถุประสงค์การสอน.....

- มากที่สุด มาก ปานกลาง น้อย

ช่วยส่งเสริมให้ผู้เรียนเกิดการเรียนรู้.....

- มากที่สุด มาก ปานกลาง น้อย

ช่วยทำให้ผู้เรียนเกิดจินตนาการ เช้าใจง่าย.....

- มากที่สุด มาก ปานกลาง น้อย

ความชัดเจน ดึงดูดความสนใจ.....

- มากที่สุด มาก ปานกลาง น้อย

18. ท่านมีแบบฝึกหัดหลังการเรียนแต่ละหัวเรื่องไม่.....

- มีทุกหัวข้อ มีบางหัวข้อ ไม่มี

19. แบบทดสอบวัดผลสัมฤทธิ์ทางการเรียนที่ท่านใช้อยู่มีมาตรฐานหรือไม่.....

- มาตรฐาน

- ไม่มาตรฐาน คือ

20. ท่านเห็นว่าระดับความตั้งใจเรียนของผู้เรียน อยู่ในระดับใด.....

- มาก ปานกลาง น้อย

21. จากการทดสอบที่ผ่านมา คะแนนเฉลี่ยของผู้เรียน อยู่ในระดับใด.....

- มาก ปานกลาง น้อย

ความคิดเห็น/ข้อเสนอแนะ

.....
.....
.....

ตอนที่ 3 ปัญหาเกี่ยวกับการเรียนการสอนของวิชาการออกแบบแบบวงจรอิเล็กทรอนิกส์หรือวิชาที่เกี่ยวข้อง เรื่องการออกแบบแบบวงจรอิเล็กทรอนิกส์ในช่วงการทำงานอิ่มตัวโดยใช้เทคนิคใหม่ๆ กระแทก คำชี้แจง โปรดพิจารณาข้อความต่อไปนี้แล้วทำเครื่องหมาย ○ ล้มรอบตัวเลือกในช่องระดับความเห็นด้วยที่ตรงกับความคิดเห็นของท่านมากที่สุด เพียงข้อละ 1 ตัวเลือก

ข้อความเกี่ยวกับปัญหาการเรียนการสอนวิชาการ ออกแบบช่วงหรือเล็กทรอนิกส์หรือวิชาที่เกี่ยวข้อง เรื่องการออกแบบช่วงหรือเล็กทรอนิกส์ในช่วงการ ทำงานอีเมลตัวโดยใช้เทคนิค荷蒙ดกระແສ	ระดับของปัญหา					สำหรับ ผู้จัดฯ
	มาก ที่สุด	มาก	ปาน กลาง	น้อย	น้อย ที่สุด	
22. ขาดใบเนื้อหาที่ครอบคลุมทุกหัวข้อของการ เรียนการสอน	5	4	3	2	1	
23. ขาดแผนการจัดกิจกรรมการเรียนการสอนที่ เน้นผู้เรียนเป็นสำคัญ	5	4	3	2	1	
24. ขาดสื่อการเรียนการสอนที่เน้นให้นักศึกษา ปฏิบัติงานได้จริง	5	4	3	2	1	
25. ขาดแบบทดสอบวัดผลสัมฤทธิ์ทางการเรียนที่ มีคุณภาพ	5	4	3	2	1	
26. ขาดในงานที่เน้นให้นักศึกษาปฏิบัติงานได้จริง	5	4	3	2	1	

ข้อแนะนำ/สันติแนะนำ

ตอนที่ 3 ความต้องการเกี่ยวกับการเรียนการสอนของรายวิชาการออกแบบชิ้นงานหรือเล็กทรอนิกส์ หรือวิชาที่เกี่ยวข้อง เรื่องการออกแบบชิ้นงานหรือเล็กทรอนิกส์ในช่วงการทำงานอีกตัวโดยใช้เทคนิค荷มดกระแทก

คำชี้แจง โปรดพิจารณาข้อความต่อไปนี้แล้วทำเครื่องหมาย ○ ลักษณะตัวเลือกในช่องระดับของ ความต้องการที่ตรงกับความคิดเห็นของท่านมากที่สุด เพียงข้อละ 1 ตัวเลือก

ข้อความเกี่ยวกับความต้องการทางด้านการเรียน การสอนการเรียนการสอนวิชาการออกแบบชิ้นงาน อีกทรอนิกส์หรือวิชาที่เกี่ยวข้อง เรื่องการออกแบบชิ้นงานหรือเล็กทรอนิกส์ในช่วงการทำงาน อีกตัวโดยใช้เทคนิค荷มดกระแทก	ระดับของความต้องการ					สำหรับผู้วัด
	มากที่สุด	มาก	ปานกลาง	น้อย	น้อยที่สุด	
27. รูปแบบการจัดกิจกรรมการเรียนการสอนที่เน้นผู้เรียนเป็นสำคัญ	5	4	3	2	1	
28. เอกสารประกอบการเรียนการสอนที่ครอบคลุมเนื้อหา และสอดคล้องกับวัตถุประสงค์ เชิงพฤติกรรม	5	4	3	2	1	
29. ในงานประกอบการปฏิบัติการออกแบบชิ้นงานหรือเล็กทรอนิกส์ที่มีขั้นตอนไม่ซับซ้อน	5	4	3	2	1	
30. สื่อการสอนประเภทแผ่นใส และงานนำเสนอ เพาเวอร์พอยต์ ที่สามารถ สะดวกกับการใช้งาน	5	4	3	2	1	
31. โปรแกรมคอมพิวเตอร์สำหรับการออกแบบ และวิเคราะห์ชิ้นงานหรือเล็กทรอนิกส์ที่มีคุณภาพดีใช้งานง่าย	5	4	3	2	1	
32. ข้อสอบที่มีคุณภาพ และมีความหลากหลาย	5	4	3	2	1	

ข้อแนะนำ/เสนอแนะ

.....
.....
.....
.....

ขอขอบพระคุณเป็นอย่างสูง

ภาคผนวก จ

- รายชื่อผู้เชี่ยวชาญประเมินเครื่องมือการวิจัย
- หนังสือเรียนเชิญผู้เชี่ยวชาญ

รายชื่อผู้เขี่ยวชาญประเมินเครื่องมือการวิจัย

1. ผศ.ดร. เสริมศักดิ์ อี้อ่องจิตต์ คณะวิศวกรรมศาสตร์ มหาวิทยาลัยเชียงใหม่
2. ผศ.ดร. ปรัชญันนท์ นิลสุข คณะครุศาสตร์อุตสาหกรรม มหาวิทยาลัยเทคโนโลยีพระจอมเกล้าพระนครเหนือ
3. ผศ.ดร. ประจวบ ป่วรยางกูร คณะวิศวกรรมศาสตร์ มหาวิทยาลัยเทคโนโลยีมหานคร
4. ดร. อมร จิรสธีอมรภุล คณะวิศวกรรมศาสตร์ มหาวิทยาลัยเทคโนโลยีมหานคร
5. ดร. มนตรี คำเงิน คณะวิศวกรรมศาสตร์ สถาบันเทคโนโลยีพระจอมเกล้าเจ้าคุณทหารลาดกระบัง
6. ดร. สมมารถ ขำเกลี้ยง คณะวิศวกรรมศาสตร์ มหาวิทยาลัยขอนแก่น



ที่ ศธ 0525 3(2)/ ๑๑

ภาควิชาครุศาสตร์ไฟฟ้า
คณะครุศาสตร์อุตสาหกรรม
มหาวิทยาลัยเทคโนโลยีพระจอมเกล้าฯ ราชานคร
1518 ถ.พิบูลสงคราม บางซื่อ กรุงเทพฯ 10800

๑๓ มีนาคม ๒๕๕๓

เรื่อง ขอเชิญเป็นผู้เชี่ยวชาญประมีนวิทยานิพนธ์

เรียน ผู้ช่วยศาสตราจารย์ ดร. เรียมศักดิ์ เอื้อวงศ์จิตต์

ด้วยมติของ คุณภาพันธ์ นักศึกษาหลักสูตรครุศาสตร์อุตสาหกรรมดูษฐ์บัณฑิต สาขาวิชาไฟฟ้าศึกษา คณะครุศาสตร์อุตสาหกรรม ได้รับอนุมัติให้เข้าแข่งขันโครงการวิทยานิพนธ์ เรื่อง การสังเคราะห์และประยุกต์ใช้งานอุปกรณ์ อิเล็กทรอนิกส์ในใหม่ด้วยการเปลี่ยนตัวส่วนรับใช้งานในการเรียนการสอน ด้านการออกแบบวงจรอิเล็กทรอนิกส์ : กรณีศึกษาอัน CC -CDTA โดยมีกรรมการที่ปรึกษาดังนี้

1. รองศาสตราจารย์ ดร.มนตรี คงปฏิรักษานันท์

ในการนี้ นักศึกษามีความประสงค์ให้ขอความอนุเคราะห์จากท่านเป็นผู้เชี่ยวชาญประมีนวิทยานิพนธ์ เพื่อประกอบการจัดทำวิทยานิพนธ์ในเรื่องดังกล่าวข้างต้น ทั้งนี้เพื่อประโยชน์สูงสุดทางการศึกษาต่อไป

จึงเรียนมาเพื่อโปรดพิจารณาให้ความอนุเคราะห์ด้วย จักเป็นพระคุณยิ่ง

ขอแสดงความนับถือ

(ผู้ช่วยศาสตราจารย์ ดร.ปฏิพัทธ์ หวานทอง)
หัวหน้าภาควิชาครุศาสตร์ไฟฟ้า

ภาควิชาครุศาสตร์ไฟฟ้า
โทรศัพท์/โทรสาร 02-5878255



ที่ ศช 0525 3(2)/ ๑๔๑

ภาควิชาครุศาสตร์ไฟฟ้า
คณะครุศาสตร์อุตสาหกรรม
มหาวิทยาลัยเทคโนโลยีพระจอมเกล้าพระนครเหนือ
1518 ถ.พิบูลสงคราม บางซื่อ กรุงฯ 10800

๑๓ ขันคม ๒๕๕๓

เรื่อง ขอเชิญเป็นผู้เชี่ยวชาญประมินวิทยานิพนธ์

เรียน ผู้ช่วยศาสตราจารย์ ดร. ปรัชญันนท์ นิตสุข

ด้วยหมายมր ศิลปันธ์ นักศึกษาหลักสูตรครุศาสตร์อุตสาหกรรมดุษฎีบัณฑิต สาขาวิชาไฟฟ้าศึกษา คณะครุศาสตร์อุตสาหกรรม ได้รับอนุมัติทัวข้อและโครงการวิทยานิพนธ์ เรื่อง การสังเคราะห์และประยุกติใช้งานอุปกรณ์ อิเล็กทรอนิกส์ในโหมดกระแสที่ทำงานในช่วงอิมพัลส์สำหรับใช้งานในการเรียนการสอน ด้านการออกแบบวงจรอิเล็กทรอนิกส์ : กรณีศึกษาภายนอก CC - CDTA โดยมีกรรมการที่ปรึกษาดังนี้

1. รองศาสตราจารย์ ดร.มนตรี ศิริปรัชญันนท์

ในการนี้ นักศึกษามีความประสงค์คร่าวๆ ความอนุเคราะห์จากท่านเป็นผู้เชี่ยวชาญประมินวิทยานิพนธ์ เพื่อประกอบการจัดทำวิทยานิพนธ์ในเรื่องดังกล่าวข้างต้น ทั้งนี้เพื่อประโยชน์สูงสุดทางการศึกษาต่อไป

จึงเรียนมาเพื่อโปรดพิจารณาให้ความอนุเคราะห์ด้วย จักเป็นพระคุณยิ่ง

ขอแสดงความนับถือ

(ผู้ช่วยศาสตราจารย์ ดร.ปรัชญันนท์ หวานทอง)
หัวหน้าภาควิชาครุศาสตร์ไฟฟ้า



ที่ ศธ 0525 3(2)/ 141

ภาควิชาครุศาสตร์ไฟฟ้า

คณะกรรมการ

มหาวิทยาลัยเทคโนโลยีพระจอมเกล้าพระนครเหนือ

1518 ต.พิมลส่องรัตน์ บางซื่อ กรุงฯ 10800

13 มีนาคม 2553

เรื่อง ขอเชิญเป็นผู้เชี่ยวชาญประมินวิทยานิพนธ์

เรียน ผู้ช่วยศาสตราจารย์ ดร.ประจวน ปรางค์กุล

ด้วยนายมา ศิลปันน์ นักศึกษาหลักสูตรครุศาสตร์อุดมศึกษา คณะครุศาสตร์อุดมศึกษา ได้วอนน้อมตัวเข้าและโครงการวิทยานิพนธ์ เรื่อง การสังเคราะห์และประยุกต์ใช้งานอุปกรณ์ อิเล็กทรอนิกส์ในโหมดกระแต่ทำงานในช่วงอิมคัลส์ให้รับใช้งานในการเรียนการสอน ด้านการออกแบบวงจรอิเล็กทรอนิกส์ : การณ์ศึกษาทัน CC - CDTA โดยมีกรรมการที่ปรึกษาดังนี้

1. รองศาสตราจารย์ ดร.มนต์ ศิริปรัชญาณันท์

ในการนี้ นักศึกษามีความประสงค์ให้ขอความอนุเคราะห์จากท่านเป็นผู้เชี่ยวชาญประมินวิทยานิพนธ์ เพื่อ ประกอบการจัดทำวิทยานิพนธ์ในเรื่องดังกล่าวข้างต้น ทั้งนี้เพื่อประโยชน์สูงสุดทางการศึกษาต่อไป

จึงเรียนมาเพื่อโปรดพิจารณาให้ความอนุเคราะห์ด้วย จักเป็นพระคุณยิ่ง

ขอแสดงความนับถือ

(ผู้ช่วยศาสตราจารย์ ดร.ปฏิพัทธ์ หวานทอง)
หัวหน้าภาควิชาครุศาสตร์ไฟฟ้า

ภาควิชาครุศาสตร์ไฟฟ้า
โทรศัพท์/โทรสาร 02-5878255



ที่ ศธ 0525 3(2)/ 141

ภาควิชาครุศาสตร์ไฟฟ้า
คณะครุศาสตร์อุตสาหกรรม
มหาวิทยาลัยเทคโนโลยีพระจอมเกล้าพระนครเหนือ
1518 ถนนสังคม บางซื่อ กรุงเทพฯ 10800

๑๙ ขันงาน 2553

เรื่อง ขอเชิญเป็นผู้เชี่ยวชาญประยุกต์วิทยานิพนธ์

เรียน ดร. อรุณ จิรเสรีอมรรุล

ด้วยนายมานะ คิลักษันน์ นักศึกษาหลักสูตรครุศาสตร์อุตสาหกรรมดุษฎีบัณฑิต สาขาวิชาไฟฟ้าศึกษา คณะครุศาสตร์อุตสาหกรรม ได้รับอนุมัติเข้าชิงและโครงการวิทยานิพนธ์ เรื่อง การสังเคราะห์และประยุกต์ใช้งานอุปกรณ์อิเล็กทรอนิกส์ในmodeการแต่งตัวที่กำกันในช่วงอัมพาตหลับให้ใช้งานในการเรียนการสอน ด้านการออกแบบของจรอิเล็กทรอนิกส์ : การฝึกษาที่ CC -CDTA โดยฝึกอบรมการที่ปรึกษาดังนี้

1. รองศาสตราจารย์ ดร.มนตรี ศิริปรัชญาณนันท์

ในการนี้ นักศึกษามีความประสงค์ให้ขอความอนุเคราะห์จากท่านเป็นผู้เชี่ยวชาญประยุกต์วิทยานิพนธ์ เพื่อประกอบการจัดทำวิทยานิพนธ์ในเรื่องดังกล่าวข้างต้น ทั้งนี้เพื่อประโยชน์สูงสุดทางการศึกษาต่อไป

จึงเรียนมาเพื่อโปรดพิจารณาให้ความอนุเคราะห์ด้วย จักเป็นพระคุณยิ่ง

ขอแสดงความนับถือ

(ผู้เชี่ยวชาญศาสตราจารย์/ดร.ปฏิพัทธ์ ภานทอง)
ท้าวหน้าภาควิชาครุศาสตร์ไฟฟ้า



ที่ คช 0525 3(2)/ ๑๕๑

ภาควิชาครุศาสตร์ไฟฟ้า
คณะครุศาสตร์อุตสาหกรรม
มหาวิทยาลัยเทคโนโลยีพระจอมเกล้าพระนครเหนือ
1518 ถนนสังคม บางซื่อ กรุงเทพฯ 10800

๑๓ มีนาคม ๒๕๕๓

เรื่อง ขอเชิญเป็นผู้เชี่ยวชาญประมินวิทยานิพนธ์

เรียน ดร.มนตรี คำเจัน

ด้วยมีภาระ คิลทันน์ นักศึกษาหลักสูตรครุศาสตร์อุตสาหกรรมดูษฐ์บันฑิต สาขาวิชาไฟฟ้าศึกษา คณะครุศาสตร์อุตสาหกรรม ได้รับอนุญาติเข้าข้อและโครงการวิทยานิพนธ์ เรื่อง การสังเคราะห์และประยุกต์ใช้งานอุปกรณ์ อิเล็กทรอนิกส์ในหมัดกระแทกที่ทำงานในช่วงอิมตัวหัวหับให้งานในการเรียนการสอน ด้านการออกแบบวงจรอิเล็กทรอนิกส์ : การฝึกซักกับ CC -CDTA โดยมีกรรมการที่ปรึกษาดังนี้

1. รองศาสตราจารย์ ดร.มนตรี ศิริปรัชญาันนท์

ในการนี้ นักศึกษามีความประสงค์ให้ความอนุเคราะห์จากท่านเป็นผู้เชี่ยวชาญประมินวิทยานิพนธ์ เพื่อ ประกอบการจัดทำวิทยานิพนธ์ในเรื่องดังกล่าวข้างต้น ทั้งนี้เพื่อประโยชน์สูงสุดทางการศึกษาต่อไป

จึงเรียนมาเพื่อโปรดพิจารณาให้ความอนุเคราะห์ด้วย จักเป็นพระคุณยิ่ง

ขอแสดงความนับถือ

(ผู้ช่วยศาสตราจารย์ ดร.ปฏิพันธ์ หวานทอง)
หัวหน้าภาควิชาครุศาสตร์ไฟฟ้า



ที่ ศธ 0525 3(2)/ ๑๑

ภาควิชาครุศาสตร์ไฟฟ้า

คณะครุศาสตร์อุตสาหกรรม

มหาวิทยาลัยเทคโนโลยีพระจอมเกล้าพระนครเหนือ

1518 ถ.พิบูลสงคราม บางซื่อ กรุงเทพฯ 10800

๑๓ ธันวาคม ๒๕๕๓

เรื่อง ขอเชิญเป็นผู้เชี่ยวชาญประดิษฐ์วิทยานิพนธ์

เรียน ดร.สมมารถ ช่างเกลี้ยง

ด้วยนายมร. ศิลปักษณ์ นักศึกษาหลักสูตรครุศาสตร์อุตสาหกรรมดูษฐ์บัณฑิต สาขาวิชาไฟฟ้าศึกษา คณะครุศาสตร์อุตสาหกรรม ได้รับอนุมัติหัวข้อและโครงการวิทยานิพนธ์ เรื่อง การสังเคราะห์และประยุกต์ใช้งานอุปกรณ์ อิเล็กทรอนิกส์ในหมวดกระแสที่ทำงานในช่วงอิมตัวสำหรับใช้งานในการเรียนการสอน ด้านการออกแบบวงจรอิเล็กทรอนิกส์ : กรณีศึกษา กับ CC - CDTA โดยมีกรรมการที่ปรึกษาดังนี้

1. รองศาสตราจารย์ ดร.มนตรี ศิริปรัชญาณันท์

ในการนี้ นักศึกษามีความประสงค์ให้ขอความอนุเคราะห์จากท่านเป็นผู้เชี่ยวชาญประดิษฐ์วิทยานิพนธ์ เพื่อประกอบการจัดทำวิทยานิพนธ์ในเรื่องดังกล่าวข้างต้น ทั้งนี้เพื่อประโยชน์สูงสุดทางการศึกษาต่อไป

จึงเรียนมาเพื่อโปรดพิจารณาให้ความอนุเคราะห์ด้วย จักเป็นพระคุณยิ่ง

ขอแสดงความนับถือ

(ผู้ช่วยศาสตราจารย์ ดร.ปฏิพัทธ์ หวานทอง)
หัวหน้าภาควิชาครุศาสตร์ไฟฟ้า

ภาคผนวก ฉ

- ผลการประเมินดัชนีความสอดคล้องระหว่างวัดถุประสงค์เชิงพฤติกรรมกับแบบทดสอบวัดผลสัมฤทธิ์
- การวิเคราะห์เพื่อหาคุณภาพของข้อสอบวัดผลสัมฤทธิ์ทางการเรียน

**ตารางที่ ฉ-1 ผลการประเมินดัชนีความสอดคล้องระหว่างวัตถุประสงค์เชิงพุทธิกรรมกับ
แบบทดสอบวัดผลสัมฤทธิ์**

วัตถุประสงค์	ข้อสอบ							$\sum R$	IOC
		ข้อที่	คนที่ 1	คนที่ 2	คนที่ 3	คนที่ 4	คนที่ 5		
1	1	1	+1	+1	+1	+1	+1	6	1
	2	2	+1	+1	+1	+1	+1	6	1
2	3	3	+1	+1	+1	+1	+1	6	1
	4	4	+1	+1	+1	+1	+1	6	1
3	5	5	0	+1	+1	+1	+1	5	0.83
	6	6	0	+1	+1	+1	+1	5	0.83
4	7	7	+1	+1	+1	+1	+1	6	1
	8	8	+1	+1	+1	+1	+1	6	1
5	9	9	+1	+1	+1	+1	+1	6	1
	10	10	+1	+1	+1	+1	+1	6	1
6	11	11	+1	+1	+1	+1	+1	6	1
	12	12	+1	+1	+1	+1	+1	6	1
7	13	13	+1	+1	+1	+1	+1	6	1
	14	14	+1	+1	+1	+1	+1	6	1
8	15	15	+1	+1	+1	+1	+1	6	1
	16	16	+1	+1	+1	+1	+1	6	1
9	17	17	+1	+1	+1	+1	+1	6	1
	23	23	+1	+1	0	+1	+1	5	0.83
10	18	18	+1	+1	+1	+1	+1	6	1
	24	24	+1	+1	+1	+1	+1	6	1
11	19	19	+1	+1	+1	+1	+1	6	1
	20	20	+1	+1	+1	+1	+1	6	1
	25	25	+1	+1	+1	+1	+1	6	1
	26	26	+1	+1	+1	+1	+1	6	1

ตารางที่ ฉบับที่ 1 (ต่อ)

ตารางที่ ฉ-2 ผลคะแนนจากการทำแบบทดสอบของกลุ่มทดลอง

ข้อที่ คนที่	1	2	3	4	5	6	7	8	9	10	11	12	13	14	15	16
1	1	1	1	0	0	1	0	1	0	1	1	0	0	0	1	0
2	1	1	1	1	1	1	1	1	1	1	0	0	1	1	1	1
3	1	0	0	0	1	1	1	0	0	1	0	0	1	1	1	1
4	1	1	1	1	1	1	1	1	1	0	0	1	1	1	0	1
5	0	0	1	0	0	0	1	0	0	1	1	0	0	1	0	0
6	0	1	1	0	0	1	0	0	1	0	0	1	0	1	0	1
7	0	1	1	1	1	1	1	1	1	1	0	1	1	1	0	1
8	1	1	1	1	1	1	0	1	1	1	1	1	1	1	0	1
9	1	1	1	1	1	1	1	0	0	1	1	1	1	1	1	1
10	0	0	0	0	1	0	1	1	0	1	0	1	0	0	1	0
11	0	1	1	1	0	0	1	0	0	0	1	1	1	1	0	0
12	0	1	1	1	0	1	0	0	1	0	0	0	1	1	1	1
13	1	1	1	1	0	1	0	1	1	1	1	1	1	1	1	1
13	1	1	1	1	1	1	1	1	1	1	1	0	0	1	1	1
15	0	0	1	0	1	0	0	1	0	0	0	0	1	1	0	0
16	1	1	1	1	1	1	0	1	1	1	1	1	1	1	1	1
17	0	0	1	1	0	1	1	1	1	1	1	1	0	0	1	0
18	1	1	1	0	0	1	1	1	1	1	1	0	0	1	1	1
19	1	0	1	0	1	0	1	1	1	1	1	1	1	1	1	0
20	0	1	0	1	1	1	0	0	0	0	0	1	0	0	0	0
21	0	1	1	1	1	1	0	1	1	1	1	1	1	1	1	1
22	1	0	0	1	0	1	1	0	0	0	0	1	0	0	0	1
23	0	1	0	0	0	0	0	1	0	1	0	1	0	0	1	1

ตารางที่ ๙-๒ (ต่อ)

ข้อที่ คนที่	17	18	19	20	21	22	23	24	25	26	27	28	29	30	31	32
1	1	0	1	1	0	0	1	0	0	0	0	0	0	0	1	0
2	1	0	1	1	1	1	1	1	1	1	1	1	1	1	1	1
3	0	0	0	1	0	1	0	1	1	0	1	0	0	1	0	1
4	1	1	1	1	1	1	0	1	0	1	1	0	1	1	1	0
5	0	0	1	1	1	0	1	0	0	1	1	0	0	1	0	0
6	1	0	1	0	1	0	0	0	0	0	1	1	1	0	0	1
7	1	1	1	0	1	1	1	1	1	0	1	1	1	1	1	1
8	1	1	1	0	1	1	1	0	1	1	1	1	1	1	1	1
9	1	1	1	1	1	1	1	1	1	1	1	1	0	1	1	1
10	0	0	0	0	1	0	0	1	0	0	1	1	1	0	0	0
11	0	0	0	0	1	0	0	1	0	1	0	1	0	0	0	1
12	1	1	0	1	0	0	1	1	1	0	0	0	0	0	0	0
13	1	1	1	1	1	1	1	1	1	0	1	0	1	1	0	1
13	1	1	1	1	1	1	1	0	1	1	0	0	1	1	1	1
15	0	0	1	0	1	0	0	0	0	1	1	1	1	0	1	1
16	0	1	1	1	1	1	1	1	1	0	1	1	1	1	1	1
17	1	1	1	1	1	1	1	1	1	0	1	1	1	1	1	1
18	1	1	1	1	1	1	0	1	1	1	1	0	0	0	0	1
19	0	1	0	1	1	1	1	1	0	1	1	1	1	1	1	0
20	1	0	1	1	1	0	1	1	0	0	0	1	1	1	1	0
21	1	1	1	1	1	1	1	1	1	1	0	1	0	1	1	0
22	1	1	0	0	1	0	1	0	1	0	0	0	1	0	1	1
23	1	0	1	0	1	0	1	1	1	1	1	0	0	1	1	1

ตารางที่ ฉบับ 3 การหาค่าความยากง่าย (p) ค่าอำนาจจำแนก (d)

ข้อที่	P _U	P _L	p $p = \frac{P_U + P_L}{N}$	d $d = \frac{P_U - P_L}{N/2}$	q	pq
1	8	4	0.522	0.348	0.478	0.250
2	10	6	0.696	0.348	0.304	0.212
3	12	6	0.783	0.522	0.217	0.170
4	10	4	0.609	0.522	0.391	0.238
5	9	4	0.565	0.435	0.435	0.246
6	11	6	0.739	0.435	0.261	0.193
7	8	5	0.565	0.261	0.435	0.246
8	11	4	0.652	0.609	0.348	0.227
9	11	2	0.565	0.783	0.435	0.246
10	11	5	0.696	0.522	0.304	0.212
11	9	3	0.522	0.522	0.478	0.250
12	9	6	0.652	0.261	0.348	0.227
13	9	4	0.565	0.435	0.435	0.246
14	11	6	0.739	0.435	0.261	0.193
15	9	5	0.609	0.348	0.391	0.238
16	10	5	0.652	0.435	0.348	0.227
17	10	6	0.696	0.348	0.304	0.212
18	11	2	0.565	0.783	0.435	0.246
19	11	6	0.739	0.435	0.261	0.193
20	10	5	0.652	0.435	0.348	0.227
21	12	4	0.696	0.348	0.304	0.212
22	12	6	0.783	0.522	0.217	0.170
23	10	6	0.696	0.348	0.304	0.212
24	10	6	0.696	0.348	0.304	0.212
25	10	4	0.609	0.522	0.391	0.238
26	8	4	0.522	0.348	0.478	0.250

ตารางที่ ฉบับ 3 (ต่อ)

ข้อที่	P_U	P_L	$p = \frac{P_U + P_L}{N}$	$d = \frac{P_U - P_L}{N/2}$	q	pq
27	10	6	0.696	0.348	0.304	0.212
28	8	5	0.565	0.261	0.435	0.246
29	9	5	0.609	0.348	0.391	0.238
30	11	4	0.652	0.609	0.348	0.227
31	10	5	0.652	0.435	0.348	0.227
32	9	6	0.652	0.261	0.348	0.227
33	9	3	0.522	0.522	0.478	0.250
34	8	4	0.522	0.348	0.478	0.250
35	10	6	0.696	0.348	0.304	0.212
36	9	6	0.652	0.261	0.348	0.227
37	10	6	0.696	0.348	0.304	0.212
38	8	4	0.522	0.348	0.478	0.250
39	8	5	0.565	0.261	0.435	0.246
40	11	5	0.696	0.522	0.304	0.212
41	11	7	0.783	0.348	0.217	0.170
42	10	5	0.652	0.435	0.348	0.227
43	9	6	0.652	0.261	0.348	0.227
44	10	4	0.609	0.522	0.391	0.238
45	11	6	0.739	0.435	0.261	0.193
รวม					16.083	10.084

หาความเชื่อมั่นแบบทดสอบทั้งฉบับโดยใช้สูตรของคูเดอร์ชาร์คสันจากสมการที่ (5-6)

$$r_u = \frac{n}{n-1} \left\{ 1 - \frac{\sum pq}{S^2} \right\}$$

เมื่อ r_u คือ ค่าความเชื่อมั่นของแบบทดสอบ
 n คือ จำนวนข้อสอบของแบบทดสอบ
 p คือ สัดส่วนของผู้เรียนที่ตอบถูก
 q คือ สัดส่วนของผู้เรียนที่ตอบผิด
 S^2 คือ ความแปรปรวนของคะแนนทั้งหมด

โดยที่ความแปรปรวนของคะแนนทั้งหมดหาได้จาก

$$\begin{aligned} S^2 &= \frac{N \sum X^2 - (\sum X)^2}{N(N-1)} \\ &= \frac{23(20848) - (662)^2}{23(22)} \\ &= 81.542 \end{aligned}$$

ดังนั้นจะได้ความเชื่อมั่นแบบทดสอบทั้งฉบับดังนี้

$$\begin{aligned} r_u &= \frac{n}{n-1} \left\{ 1 - \frac{\sum pq}{S^2} \right\} \\ &= \frac{23}{22} \left\{ 1 - \frac{9.977}{75.628} \right\} \\ &= 0.916 \end{aligned}$$

ภาคผนวก ช

- คะแนนที่ได้จากการทำแบบฝึกหัด
- คะแนนที่ได้จากการทำแบบทดสอบ
- การวิเคราะห์หาประสิทธิภาพของชุดการสอน

ตารางที่ ช-1 คะแนนแบบฝึกหัดค่าวัยละของผู้เรียน

คนที่	เรื่อง 1(15)	เรื่อง 2(10)	เรื่อง 3(4)	เรื่อง 4(7)	เรื่อง 5(4)	รวม
1	12	10	3	6	3	85
2	13	9	3	5	3	82.5
3	14	9	3	5	3	85
4	11	9	4	5	2	77.5
5	14	8	2	5	2	77.5
6	13	9	3	4	2	77.5
7	13	8	4	5	3	82.5
8	11	9	3	5	2	75
9	13	9	3	6	3	85
10	12	7	4	5	4	80
11	15	8	4	5	3	87.5
12	12	6	3	4	3	70
13	11	8	3	6	3	77.5
13	11	6	3	6	3	72.5
15	10	9	3	5	3	75
16	14	7	3	6	3	82.5
17	13	9	3	6	4	87.5
18	10	7	3	5	3	70
19	11	9	2	4	2	70
20	11	7	3	4	3	70
21	14	8	4	6	3	87.5
22	13	9	3	6	4	87.5
23	14	8	4	6	3	87.5
24	13	8	4	5	3	82.5
25	13	10	3	6	3	87.5
26	13	10	3	6	4	85

ตารางที่ ช-1 (ต่อ)

คันที่	เรื่อง 1(10)	เรื่อง 2(10)	เรื่อง 3(10)	เรื่อง 4(5)	เรื่อง 5(5)	รวมคะแนน
27	13	10	3	6	4	90
28	13	8	3	6	4	85
29	14	9	3	6	3	87.5
30	11	8	3	5	4	77.5
31	13	7	3	6	4	82.5
32	14	8	4	5	3	85
33	14	9	3	6	2	85
34	13	10	3	5	4	87.5
35	13	8	2	5	4	80
36	13	8	4	6	4	87.5
37	12	9	3	5	4	82.5
รวม	467	310	117	198	116	
เฉลี่ย	84.144	83.784	79.054	76.448	78.378	81.622

จากตารางที่ ช-1 พบร่วมค่าประสิทธิภาพ $E_i=81.622$

ตารางที่ ช-2 คะแนนผลสัมฤทธิ์ทางการเรียนของผู้เรียนและค่าร้อยละ

ลำดับที่	คะแนน (45)	ค่าร้อยละ (%)
1	35	77.778
2	37	82.222
3	21	46.667
4	24	53.333
5	29	64.444
6	30	66.667
7	36	80.000
8	32	71.111
9	26	57.778
10	38	84.444
11	39	86.667
12	42	93.333
13	38	84.444
14	39	86.667
15	37	82.222
16	38	84.444
17	43	95.556
18	38	84.444
19	34	75.556
20	35	77.778
21	37	82.222
22	37	82.222
23	38	84.444
24	39	86.667
25	41	91.111
26	39	86.667

ตารางที่ ช-2 (ต่อ)

ลำดับที่	คะแนน (45)	ค่าร้อยละ (%)
27	42	93.333
28	37	82.222
29	37	82.222
30	38	84.444
31	37	82.222
32	36	80.000
33	36	80.000
34	39	86.667
35	35	77.778
36	40	88.889
37	36	80.000
รวม	1335	80.180

จากตารางที่ ช-2 พบว่าค่าประสิทธิภาพ $E_2=80.180$

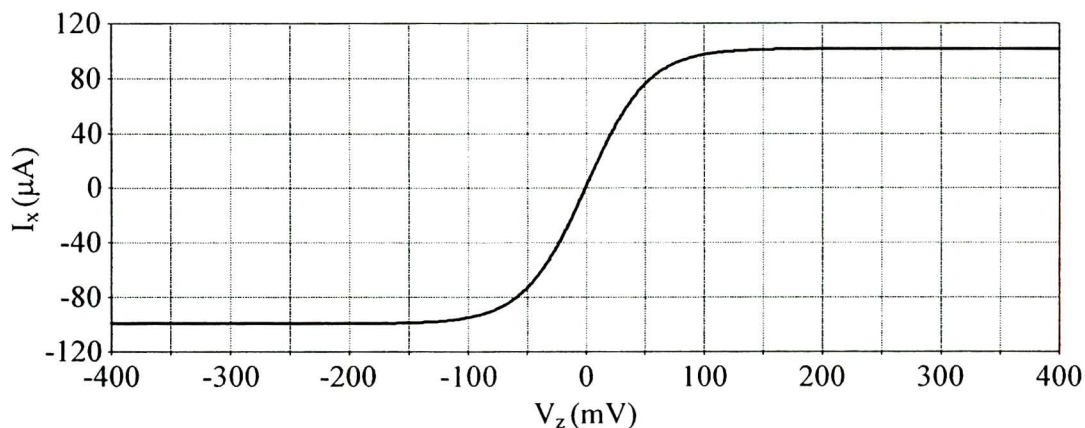
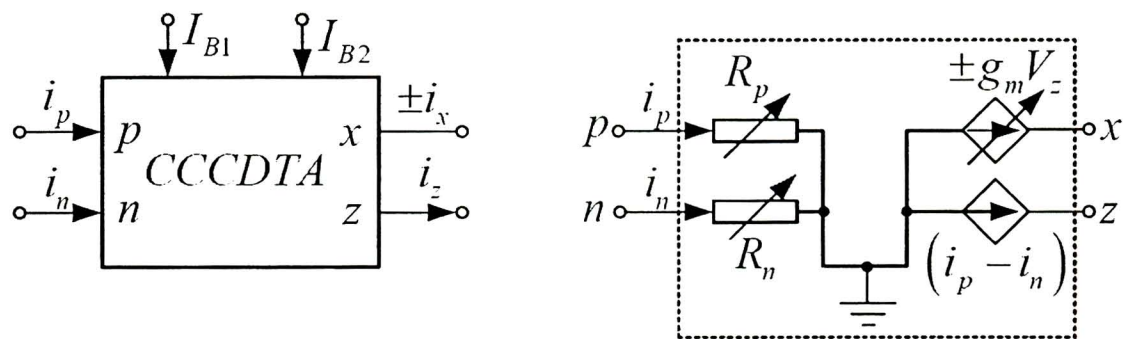
ภาคผนวก ๗

- ตัวอย่างคู่มือครู
- แบบทดสอบวัดผลสัมฤทธิ์ทางการเรียน



คู่มือครู

เรื่องที่ 1 คุณสมบัติของวงจรขยายความนำถ่ายโอนผลต่างกระแสที่สามารถลดความคุณด้วยกระแสที่ทำงานในช่วงเชิงเส้นและอิมตัว



กมร ศิลปาพันธ์
ภาควิชาครุศาสตร์ไฟฟ้า
มหาวิทยาลัยเทคโนโลยีพระจอมเกล้าพระนครเหนือ

คู่มือครู

เรื่องที่ 1 คุณสมบัติเบื้องต้นของวงจรขยายความนำถ่ายโอนผลต่าง กระแสที่สามารถควบคุมด้วยกระแส

คู่มือครูจะประกอบไปด้วยส่วนสำคัญ ดังนี้

1. คำนำ
2. คำชี้แจงสำหรับครู
3. รายการอุปกรณ์ในชุดการสอน
4. แผนการสอน
5. ใบเนื้อหา
6. ใบงาน
7. แบบฝึกหัด

คำนำ

ชุดการสอนเรื่อง วงจรขยายความนำถ่ายโอนผลต่างกระแสที่สามารถควบคุมด้วยกระแสที่ทำงานในช่วงอิมตัวและการประยุกต์ใช้งาน นี้ จัดทำขึ้นมาเพื่อใช้สำหรับการเรียนการสอนในหลักสูตรที่มีรายวิชาเนื้อทางค้านการออกแบบวงจรอิเล็กทรอนิกส์ ซึ่งเนื้อหาทั้งหมดจะเน้นที่การออกแบบวงจรแอนะลอกโหนดกระแส โดยใช้อุปกรณ์อิเล็กทรอนิกส์โหนดกระแสชนิดใหม่ที่มีชื่อว่า วงจรขยายความนำถ่ายโอนผลต่างกระแสที่สามารถควบคุมด้วยกระแส (CC-CDTA) ที่ทำงานในช่วงอิมตัว โดยที่ชุดการสอนนี้จะประกอบด้วย 5 หัวข้อเรื่อง ได้แก่

เรื่องที่ 1 คุณสมบัติของ CC-CDTA ที่ทำงานในช่วงที่เป็นเชิงเส้นและอิมตัว

เรื่องที่ 2 วงรรมิตต์ทริกเกอร์โหนดกระแส

เรื่องที่ 3 วงรกำเนิดสัญญาณสี่เหลี่ยมโหนดกระแส

เรื่องที่ 4 วงรรมอคูเลตความกว้างพัลส์โหนดกระแส

เรื่องที่ 5 โมโนสเตเบิลมัลติไวนเบรเตอร์โหนดกระแส

ผู้จัดทำหวังเป็นอย่างยิ่งว่าชุดการสอนนี้จะเป็นประโยชน์ในการเรียนการสอนในรายวิชาที่มีเนื้อหาเกี่ยวกับการออกแบบวงจรอิเล็กทรอนิกส์ ทั้งในระดับปริญญาตรี เพื่อให้ผู้เรียนได้เกิดการเรียนรู้อย่างมีประสิทธิภาพต่อไป

กมร ศิลาพันธ์

คำชี้แจงสำหรับครู

ข้อควรปฏิบัติในการใช้ชุดการสอน มีดังนี้

1. ให้ครูตรวจสอบรายการอุปกรณ์ว่ามีครบถ้วนสมบูรณ์หรือไม่ ถ้าไม่ครบหรือขาดเรียงไว้ไม่ถูกต้องหรือขาดความสมบูรณ์ ต้องรีบแก้ไขให้เรียบร้อยก่อนนำชุดการสอนไปใช้
2. หากมีรายการอุปกรณ์อื่นๆ ที่จำเป็นต้องใช้และไม่ได้บรรจุในกล่องการสอน เพราะไม่สะดวกในการบรรจุหรือเคลื่อนย้าย ให้จัดหา ติดตั้งและตรวจสอบให้เรียบร้อยก่อนจะเข้าสอน
3. ให้ศึกษาแผนการสอนตามขั้นตอน โดยละเอียด เสร็จแล้วทดลองฝึกปฏิบัติตาม จนเกิดความชำนาญในการใช้สื่อและอุปกรณ์ โดยไม่ตัดตอนส่วนใดส่วนหนึ่งออกไป
4. ให้ศึกษานักเรียน ในงานประกอบการสอน ให้เกิดความรู้ความเข้าใจสามารถนำเข้าสู่การเรียน การสอน ได้ด้วยความเรียบร้อย
5. ก่อนสอนครุครัวชี้แจงให้ผู้เรียนทราบเกี่ยวกับบทบาทของผู้เรียนในการใช้ชุดการสอนว่า เป็นบทบาทการทำกิจกรรมรายบุคคล ผู้เรียนต้องช่วยเหลือตัวเองให้มากที่สุด
6. ขณะที่ผู้เรียนปฏิบัติกิจกรรม ครุครัวกำกับดูแลอย่างใกล้ชิดและทั่วถึง อย่างให้คำปรึกษา หรือเสนอแนะแก่ผู้เรียนเพื่อให้การดำเนินกิจกรรมเป็นไปตามวัตถุประสงค์
7. เมื่อสิ้นสุดการประกอบกิจกรรมการเรียนการสอน ให้ครูตรวจสอบอุปกรณ์บัญชีรายการ อุปกรณ์ที่ติดไว้ด้านข้างกล่องชุดการสอน และจัดเก็บลงในกล่องชุดการสอนเรียงตามลำดับ เพื่อให้สามารถนำไปใช้สอนครั้งต่อไปได้ทันที

รายการอุปกรณ์

อุปกรณ์ที่บรรจุไว้ในกล่องชุดการสอน

ลำดับที่	รายการอุปกรณ์	จำนวน
1	คู่มือครู	1 เล่ม
2	ใบเนื้อหา	37 เล่ม
2	ใบงาน	37 เล่ม
3	กระดาษคำตอบ	37 แผ่น
4	CD บรรจุไฟล์นำเสนอ Power point	1 แผ่น
5	ปากกาเขียนกระดาน	3 ตัว

อุปกรณ์อื่นๆ

ลำดับที่	รายการอุปกรณ์อื่นๆ (จัดไว้ก่อน)	จำนวน
1	คอมพิวเตอร์	1 เครื่อง
2	Projector	1 เครื่อง
2	ปลั๊กพ่วง	1 อัน

	CC-CDTA ที่ทำงานในช่วง อิมตัวและการประยุกต์ใช้งาน	แผนการสอนที่ 1 คุณสมบัติของ CC- CDTA ที่ทำงานในช่วง
---	--	---

เวลาการสอน 75 นาที

ผู้สอน.....

หัวข้อเรื่อง

- คุณสมบัติของวงจรขยายความนำถ่ายโอนผลต่างกระแสที่สามารถควบคุมด้วยกระแสที่ทำงานในช่วงเชิงเส้น
- คุณสมบัติของวงจรขยายความนำถ่ายโอนผลต่างกระแสที่สามารถควบคุมด้วยกระแสที่ทำงานในช่วงอิมตัว

วัสดุประสงค์เชิงพฤติกรรม

- บอกสัญลักษณ์และวงจรสมมูลของ CC-CDTA แบบต่างๆ ได้
- บอกสมการคุณลักษณะของ CC-CDTA แบบต่างๆ ได้
- คำนวณค่าความด้านทานไฟฟ้าอินพุตของ CC-CDTA ได้
- คำนวณค่าความนำถ่ายโอนของ CC-CDTA ได้
- อธิบายคุณลักษณะของ CC-CDTA แบบต่างๆ ที่ทำงานในช่วงเชิงเส้นได้
- อธิบายคุณลักษณะของ CC-CDTA แบบต่างๆ ที่ทำงานในช่วงอิมตัวได้
- บอกสมการคุณลักษณะของ CC-CDTA แบบต่างๆ ที่ทำงานในช่วงอิมตัวได้
- บอกความแตกต่างลักษณะสมบัติของ CC-CDTA ที่ทำงานในช่วงเชิงเส้นกับที่ทำงานในสภาวะอิมตัวได้

ความรู้ที่นฐาน

การวิเคราะห์วงจรไฟฟ้า, การใช้งานโปรแกรม PSpice

คุณสมบัติที่เป็นตัวชี้วัดความสามารถทางการค้าของประเทศ



	CC-CDTA ที่ทำงานในช่วง อิมตัวและการประยุกต์ใช้	ใบตาม ตอบที่ 1 คุณสมบัติของ CC-CDTA ที่ทำงานในช่วงเชิงเส้นและ
--	---	---

ข้อตอน	แนวคิด	แนวคำตอบ
ขั้นสนใจปัญหา	นักศึกษารู้จักอุปกรณ์อิเล็กทรอนิกส์ชนิดใดบ้าง	ไอโอด ทราบซิสเตอร์ ออปแอนป์
	เทคนิคของการออกแบบวงจรที่นิยมกันมีกี่แบบอะไรบ้าง	2 แบบ คือ เทคนิคโใหมดแรงดันและกระแส
	ออปแอนป์เป็นอุปกรณ์แยกทีฟที่ทำงานในโใหมดได้	โใหมดแรงดัน
	ข้อเดียของออปแอนป์คืออะไร	มีแบบค์วิตท์แคน มีความเป็นเชิงเส้น ต่ำ อัตราสกัดต่ำ ต้องการแหล่งจ่ายแรงดันที่มีค่าสูง โครงสร้างวงจรซับซ้อน
	ข้อดีของวงจรในโใหมดกระแสมีอะไรบ้าง	ช่วงพิสัยพลวติกว้าง แบบค์วิตท์กว้าง โครงสร้างวงจรไม่ซับซ้อน
	นักศึกษารู้จักอุปกรณ์แยกทีฟโใหมดกระแสอะไรบ้าง	OTA, CCCII, CDBA, CDTA
	ช่วงการทำงานที่นิยมใช้ในการออกแบบวงจร ของอุปกรณ์แยกทีฟ ออปแอนป์ OTA, CCCII มีกี่ช่วงอะไรบ้าง	ช่วงการทำงานที่เป็นเชิงเส้น และ อิมตัว
	<u>สรุป</u> วันนี้จะศึกษาเกี่ยวกับอุปกรณ์แยกทีฟโใหมดกระแสชนิดใหม่ที่มีชื่อว่า “วงจรขยายความนำถ่าย โอนผลต่างกระแสที่ควบคุมด้วยกระแส (CC-CDTA) ที่ทำงานในช่วงเชิงเส้นและอิมตัว”	

ขั้นตอน	แนวคิดตาม	แนวคิดอน
ขั้นออกกล่าว	CC-CDTA เป็นอุปกรณ์ที่มีพิธีกรรมกี่ขั้วและสามารถแบ่งเป็นกลุ่มได้กี่กลุ่ม อะไรบ้าง	6 ขั้ว สามารถแบ่งออกได้เป็นสามกลุ่ม คือ ขั้วกระแสอินพุต 2 ขั้ว ขั้วกระแสเอาต์พุต 2 ขั้ว ขั้วกระแสควบคุม 2 ขั้ว
	CC-CDTA มีคุณสมบัติพิเศษอย่างไร	ความต้านทานแฟรงค์ที่ขั้วอินพุต p และ n มีค่าเท่ากันและสามารถควบคุมได้ด้วยกระแสไบแอดส์ I_{B1} ที่เรียกว่าการควบคุมด้วยวิธีทางอิเล็กทรอนิกส์
	CC-CDTA สามารถแบ่งตามช่วงการทำงานได้กี่ช่วงอะไรบ้าง	2 ช่วงการทำงาน คือการทำงานในช่วงเชิงเส้นกับการทำงานในช่วงอิมตัว
	เมื่อ CC-CDTA ทำงานในช่วงเชิงเส้น ค่าความนำด้วยโอนสามารถปรับด้วยกระแสไบแอดตัวใด	กระแสไบแอดส์ I_{B2}
	กระแสที่ขั้วเอาต์พุต z มีการทำงานอย่างไร	เป็นผลต่างของกระแสที่ป้อนเข้าที่ขั้ว p และขั้ว n
	CC-CDTA ทำงานในช่วงเชิงเส้นกระแสที่ขั้วเอาต์พุต x มีการทำงานอย่างไร	เป็นผลคูณของค่าความนำด้วยโอนกับแรงดันที่ขั้ว z
	CC-CDTA ทำงานในช่วงอิมตัวเมื่อใด	CC-CDTA ทำงานในช่วงอิมตัวเมื่อมีแรงดันต่ำกว่าร่องที่ขั้ว z $>> 2V_T$ หรือ 52 mV ที่อุณหภูมิห้อง
	CC-CDTA ที่ทำงานในช่วงเชิงเส้นแตกต่างกับช่วงอิมตัวอย่างไร	กระแสที่ขั้วเอาต์พุต x เท่ากับกระแสไบแอดส์ I_{B2}
	CC-CDTA แบบเอาต์พุตคู่แตกต่างจาก CC-CDTA อย่างไร	มีขั้ว z และขั้ว x อย่างละสองขั้วโดยกระแสที่ขั้ว z ₁ เท่ากับ z ₂ และกระแสที่ขั้ว x ₁ เท่ากับ x ₂

ขั้นตอน	แนวคิดตาม	แนวคิดตอบ
	CC-CDTA แบบหลายເອາະພຸດແຕກຕ່າງ จาก CC-CDTA ອໍຍ່າງໄຮ	ມີຂໍ້ວ x ສອງຂໍ້ວທີ່ອຳນວຍກວ່າໂດຍນາດ ຂອງກະແສທີ່ຂໍ້ວ x_1 ແລະ x_2 ຄວບຄຸມໄດ້ ຈາກກະແສໄປແອຫຍ່າງອືສະຈາກກັນ

	CC-CDTA ที่ทำงานในช่วง อิ่มตัวและการประยุกต์ใช้งาน	ใบเนื้อหาที่ 1 คุณสมบัติของ CC-CDTA ที่ ทำงานในช่วงเชิงเส้นและ อิ่มตัว
---	---	---

วัตถุประสงค์เชิงพฤติกรรม

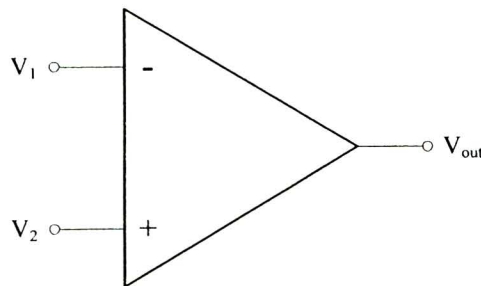
3. บอกสัญลักษณ์และวงจรสมดุลของ CC-CDTA แบบต่างๆ ได้
4. บอกสมการคุณลักษณะของ CC-CDTA แบบต่างๆ ที่ทำงานในช่วงเชิงเส้นได้
5. คำนวณค่าความด้านทานแฟรงข์อินพุตของ CC-CDTA แบบต่างๆ ได้
6. คำนวณค่าความนำถ่ายโอนของ CC-CDTA ได้
7. อธิบายลักษณะสมบัติของ CC-CDTA แบบต่างๆ ที่ทำงานในช่วงเชิงเส้นได้
8. อธิบายลักษณะสมบัติของ CC-CDTA แบบต่างๆ ที่ทำงานในสภาวะอิ่มตัวได้
9. บอกสมการคุณลักษณะของ CC-CDTA แบบต่างๆ ที่ทำงานในสภาวะอิ่มตัวได้
10. บอกความแตกต่างลักษณะสมบัติของ CC-CDTA ที่ทำงานในช่วงเชิงเส้นกับที่ทำงาน
ในสภาวะอิ่มตัวได้

บทนำ

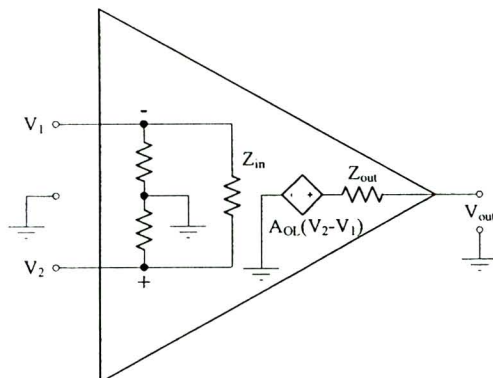
โดยทั่วไปแล้วช่วงการทำงานของอุปกรณ์อิเล็กทรอนิกส์ที่นิยมใช้ในการออกแบบวงจร มี 2 ช่วงการทำงานด้วยกัน คือ ช่วงการทำงานที่เป็นเชิงเส้นและอิ่มตัว ซึ่งการทำงานที่เป็นเชิงเส้นนี้ถูกได้มาออกแบบใช้ในระบบสื่อสาร ระบบเครื่องมือวัด เช่น วงจรกรองความถี่ วงจรกำเนิดสัญญาณ ไซน์ วงรคูณสัญญาณ เป็นต้น ส่วนช่วงการทำงานในสภาวะอิ่มตัวได้นำไปใช้ในการออกแบบ วงจรต่างๆ เช่น วงจรเปรียบเทียบสัญญาณ วงจรชนิตต์ทริกเกอร์ วงจรมอคูลาตความกว้างพัลส์ เป็นต้น ดังนั้นส่วนนี้จะกล่าวถึงคุณสมบัติของอุปกรณ์ วงจรความนำถ่ายโอน และวงจรสายพาน กระแสรุ่นที่สอง ที่ทำงานในช่วงเชิงเส้นและอิ่มตัว เพื่อเป็นพื้นฐานในการศึกษาวงจรขยายความนำถ่ายโอนผลต่างกระแสที่สามารถควบคุมด้วยกระแสที่ทำงานในช่วงอิ่มตัวและการประยุกต์ใช้งาน

ออปแอมป์ (Operational Amplifier, OP-AMP)

สัญลักษณ์และวงจรสมมูลของอปแอมป์ ได้แสดงไว้ในภาพที่ 1.1 โดยโครงสร้างภายในของอปแอมป์ที่สร้างจากไบโพล่าทรานซิสเตอร์ ดังแสดงไว้ในภาพที่ 1.2
อปแอมป์ที่ทำงานในช่วงเชิงเส้น



(ก) สัญลักษณ์

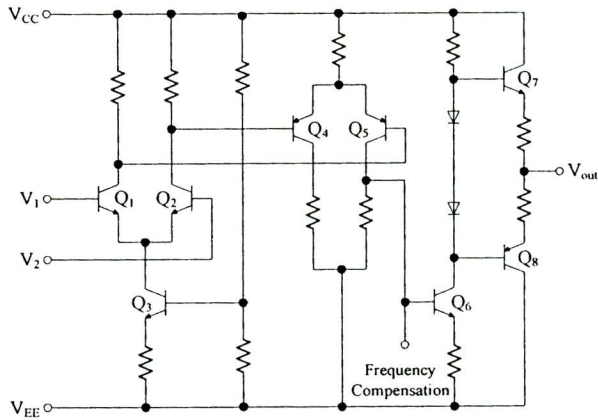


(ข) วงสมมูล

ภาพที่ 1.1 ออปแอมป์

คุณสมบัติของอปแอมป์ที่ทำงานในช่วงเชิงเส้น

- อัตราขยายแรงดันวงรอบเปิด (Open loop voltage gain, A_{OL}) มีค่าสูงมากเป็นอนันต์ ($A_{OL} = \infty$)
 - อินพุตอิมพีเดนซ์ (Input impedance, Z_{in}) มีค่าสูงมากเป็นอนันต์ ($Z_{in} = \infty$)
 - เอาต์พุตอิมพีเดนซ์ (Output impedance, Z_{out}) มีค่าต่ำมากเป็นศูนย์ ($Z_{out} = 0$)
 - ช่วงความถี่แบบค์วิด (Bandwidth, BW) มีค่ามากเป็นอนันต์ ($BW = \infty$)
 - แรงดันอินพุตอฟเซ็ต (Offset input voltage, V_{OS}) มีค่าต่ำมากเป็นศูนย์ ($V_{OS} = 0$)

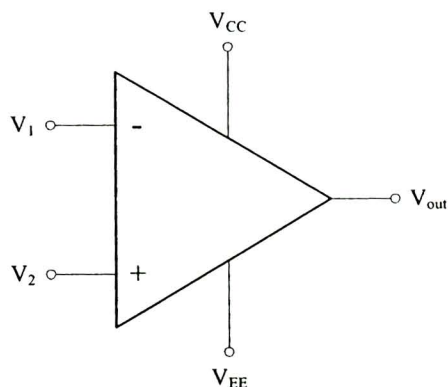


ภาพที่ 1.2 โครงสร้างภายในของอปแอมป์

อปแอมป์ที่ทำงานในช่วงอิมตัว

เงื่อนไขที่ทำให้อปแอมป์ที่ทำงานในช่วงอิมตัว คือการต่อวงจรป้อนกลับแบบบวก (Positive feedback) หรือแบบไม่มีการป้อนกลับ ดังแสดงในภาพที่ 1.3

คุณสมบัติของอปแอมป์ที่ทำงานในช่วงอิมตัว

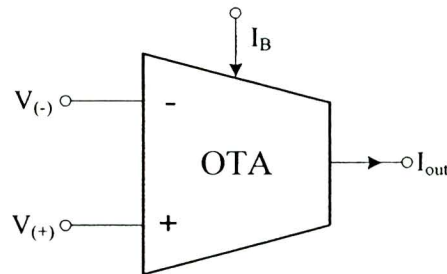


ภาพที่ 1.3 อปแอมป์ที่ทำงานในช่วงอิมตัว

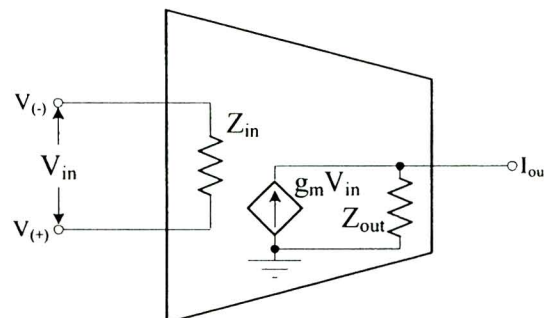
โดยแรงดันเอาต์พุต (V_{out}) จะหาค่าได้ดังนี้

$$V_{out} = \begin{cases} \beta V_{CC} & \text{if } V_1 < V_2 \\ \beta V_{EE} & \text{if } V_1 > V_2 \end{cases} \quad (1)$$

เมื่อ V_{CC} และ V_{EE} คือ แหล่งจ่ายไฟด้านบวกและลบของอปเปอเรเตอร์ ตามลำดับ ปกติ βV_{CC} และ βV_{EE} จะมีค่าประมาณ 90% ของแหล่งจ่ายไฟด้านบวกและลบตามลำดับ โดย β คืออัตราส่วนของ V_{out} กับ V_{CC} และ V_{EE}



(ก) สัญลักษณ์



(ข) วงจรสมมูล

ภาพที่ 1.4 OTA

วงจรขยายความนำถ่ายโอน (Operational Transconductance Amplifier, OTA)

ภาพที่ 1.4 แสดงสัญลักษณ์และวงจรสมมูลของ OTA ล่าสุดภาพที่ 1.5 แสดงโครงสร้างภายในของ OTA ที่เป็นไปโพล่าทรานซิสเตอร์

วงจรขยายความนำถ่ายโอนที่ทำงานในช่วงเชิงเส้น

เงื่อนไขของ OTA ที่ทำงานในช่วงเชิงเส้น คือ แรงดัน $|V_{in}| < 2V_T$

คุณสมบัติของ OTA ที่ทำงานในช่วงเชิงเส้น

$$I_{out} = \begin{cases} I_B & \text{if } V_{(-)} < V_{(+)} \\ -I_B & \text{if } V_{(-)} > V_{(+)} \end{cases} \quad (5)$$

วงจรสายพานกระแสรุ่นที่สอง (Second Generation Current Conveyor, CCII)

สัญลักษณ์และวงจรสมมูลของ CCII แสดงในภาพที่ 1.6 ส่วนภาพที่ 1.7 แสดงโครงสร้างภายในของ CCII ที่เป็นไบโพล่าทรานซิสเตอร์

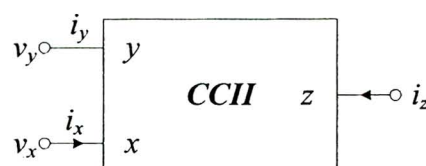
วงจรสายพานกระแสรุ่นที่สองที่ทำงานในช่วงเชิงเส้น

คุณสมบัติของ CCII ที่ทำงานในช่วงเชิงเส้น

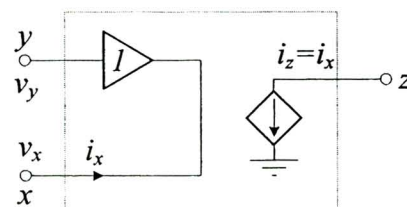
- อินพุตอิมพีเดนซ์ที่ข้อ y (Input impedance, Z_y) มีค่าสูงมากเป็นอนันต์ ($Z_y = \infty$)
- อินพุตอิมพีเดนซ์ที่ข้อ x (Input impedance, Z_x) มีค่าต่ำมากเป็นศูนย์ ($Z_x = 0$)
- เอาต์พุตอิมพีเดนซ์ที่ข้อ z (Output impedance, Z_z) มีค่าสูงมากเป็นอนันต์ ($Z_z = \infty$)

ความสัมพันธ์ของกระแสและแรงดันของ CCII สามารถแสดงได้ด้วยสมการเชิง เมตริกซ์ดังนี้

$$\begin{bmatrix} i_y \\ v_x \\ i_z \end{bmatrix} = \begin{bmatrix} 0 & 0 & 0 \\ 1 & 0 & 0 \\ 0 & 1 & 0 \end{bmatrix} \begin{bmatrix} v_y \\ i_x \\ v_z \end{bmatrix} \quad (6)$$



(ก) สัญลักษณ์



(ข) วงจรสมมูล

ภาพที่ 1.6 CCII

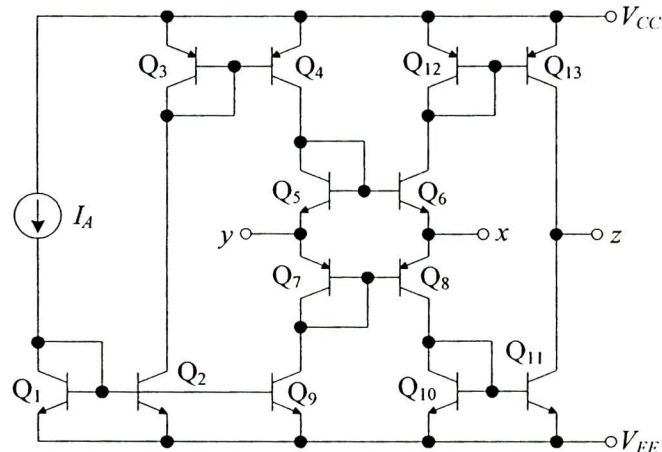
วงจรสายพานกระแสที่ทำงานในช่วงอิมตัว

เงื่อนไขของ CCII ที่ทำงานในช่วงอิมตัว คือ การต่อวงจรป้อนกลับแบบบวก หรือโดยที่ขี้ว z ดังแสดงในภาพที่ 1.8

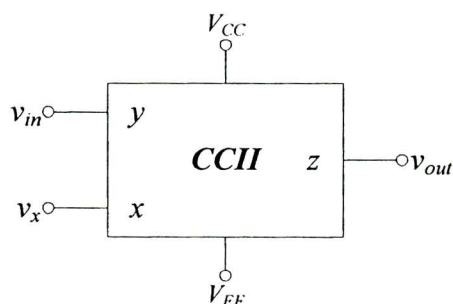
ความสัมพันธ์ของกระแสและแรงดันของ CCII ที่ทำงานในช่วงอิมตัวสามารถแสดงได้ดังนี้

$$v_z = \begin{cases} \beta V_{CC} & \text{if } v_m > v_x \\ \beta V_{EE} & \text{if } v_m < v_x \end{cases} \quad (7)$$

เมื่อ V_{CC} และ V_{EE} คือ แหล่งจ่ายไฟด้านบวกและลบของ CCII ตามลำดับ ปกติ βV_{CC} และ βV_{EE} จะมีค่าประมาณ 90% ของแหล่งจ่ายไฟด้านบวกและลบตามลำดับ

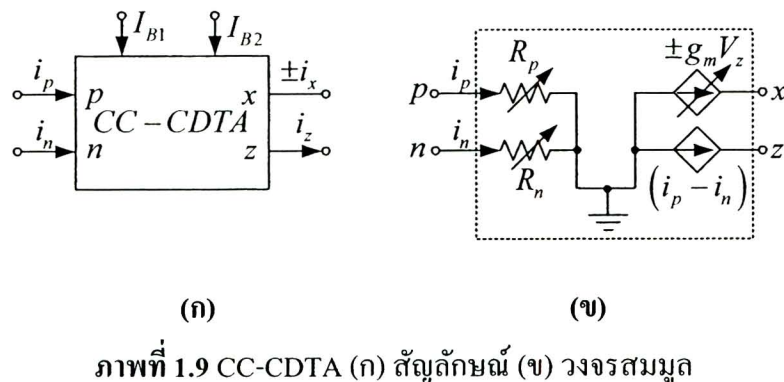


ภาพที่ 1.7 โครงสร้างภายในของ CCII



ภาพที่ 1.8 CCII เมื่อโดยที่ขี้ว z

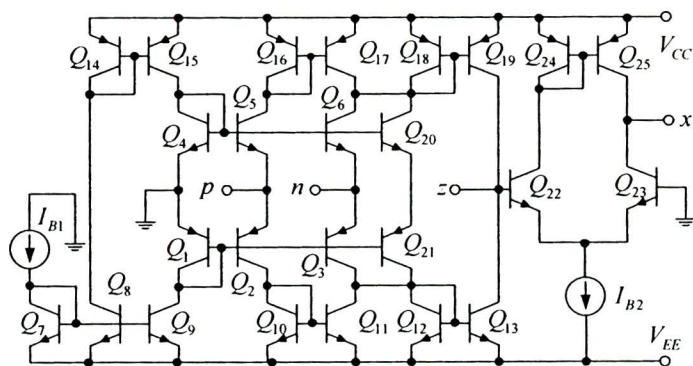
1.1 คุณสมบัติเบื้องต้นของวงจรขยายความนำถ่ายโอนผลต่างกระแสที่สามารถควบคุมด้วยกระแสแบบต่างๆ ที่ทำงานในช่วงเชิงเส้น



ภาพที่ 1.9 CC-CDTA (ก) สัญลักษณ์ (ข) วงจรสมมูล

1.1.1 คุณสมบัติของวงจรขยายความนำถ่ายโอนผลต่างกระแสที่สามารถควบคุมด้วยกระแส ที่ทำงานในช่วงเชิงเส้น (Current Controlled Current Differencing Transconductance Amplifier Linear-mode: CC-CDTA)

วงจรขยายความนำถ่ายโอนผลต่างกระแสที่สามารถควบคุมด้วยกระแส (Current Controlled Current Differencing Transconductance Amplifier: CC-CDTA) เป็นอุปกรณ์ อิเล็กทรอนิกส์ใหม่ด้วยกระแสที่มี 6 ข้อ โดย CC-CDTA ได้พัฒนามาจาก CDTA (Current Differencing Transconductance Amplifier) ที่ได้นำเสนอครั้งแรกโดย Biolek ในปี ค.ศ. 2005 แต่ CC-CDTA จะมีคุณสมบัติพิเศษกว่า CDTA ที่สามารถควบคุมความต้านทานแฟรงฟ์ที่ข้ออินพุตทั้งสอง ได้ด้วยกระแสไปและออกจากภายนอก ซึ่งจะได้อธิบายรายละเอียดในลำดับต่อไป ในจำนวน 6 ข้อของ CC-CDTA สามารถแบ่งออกได้เป็นสามกลุ่มคือ ข้อกระแสอินพุต 2 ข้อ ข้อกระแสเอาต์พุต 2 ข้อ และข้อกระแสควบคุม 2 ข้อ โดยสัญลักษณ์และวงจรสมมูลของ CC-CDTA แสดงได้ดังภาพที่ 1.9 (ก) และ (ข) ตามลำดับ



ภาพที่ 1.10 โครงสร้างภายในของ CC-CDTA

จากสัญลักษณ์ในภาพที่ 1.9(ก) ขั้วกระแสอินพุต ได้แก่ ขั้ว p (positive) และขั้ว n (negative) ส่วนขั้วกระแสเอาต์พุต ได้แก่ ขั้ว z และขั้ว x และขั้วกระแสคุม ได้แก่ ขั้ว I_{B1} และ I_{B2} โดยกระแสใบออก I_{B1} จะใช้ควบคุมความต้านทานแห่งที่ขั้ว p (R_p) และขั้ว n (R_n) ซึ่งสามารถดูได้ในวงจรสมมูลในภาพที่ 1.9(ข) โดย R_p และ R_n จะมีค่าเท่ากัน ส่วนกระแสที่ขั้ว z จะเป็นผลต่างของกระแสที่ไหลเข้าที่ขั้ว p และขั้ว n และกระแสที่ขั้ว x จะเป็นการส่งผ่านความนำด้วยโอน (transconductance: g_m) มาจากแรงดันที่ขั้ว z ดังนั้นที่ขั้ว z จะมีแรงดันได้จะต้องนำกระแสจากภายนอกมาต่อ โดยค่าความนำด้วยโอนสามารถควบคุมได้ที่กระแสใบออก I_{B2} ส่วนเครื่องหมาย \pm จะเป็นตัวบอกทิศทางของกระแสที่ขั้ว x โดยปกติจะมีทิศทางไปออกจากขั้ว x ซึ่งจะแทนด้วยเครื่องหมายบวกหรือโดยทั่วไปมักจะไม่ใส่เครื่องหมายแต่ถ้ากระแสที่ขั้ว x มีทิศทางไปเข้าจะแทนด้วยเครื่องหมายลบ (มักจะเขียนเครื่องหมายลบไว้หน้าตัวอักษร x เช่น $-x$) และในทางอุปกรณ์ความต้านทานที่ขั้ว z และขั้ว x จะมีค่าเป็นอนันต์ จากคุณสมบัติที่ได้กล่าวมาข้างต้นสามารถแสดงด้วยสมการในเชิงเมตริกซ์ได้ดังนี้

$$\begin{bmatrix} V_p \\ V_n \\ I_z \\ I_x \end{bmatrix} = \begin{bmatrix} R_p & 0 & 0 & 0 \\ 0 & R_n & 0 & 0 \\ 1 & -1 & 0 & 0 \\ 0 & 0 & 0 & \pm g_m \end{bmatrix} \begin{bmatrix} I_p \\ I_n \\ V_x \\ V_z \end{bmatrix} \quad (1.1)$$

เมื่อ $|V_z| \ll 2V_T$

CC-CDTA ที่มีโครงสร้างเป็นทรานซิสเตอร์ไบโพลาร์ (Bipolar transistor) ดังแสดงในภาพที่ 1.10 ความต้านทานที่ขั้ว p และขั้ว n สามารถแสดงได้เป็น

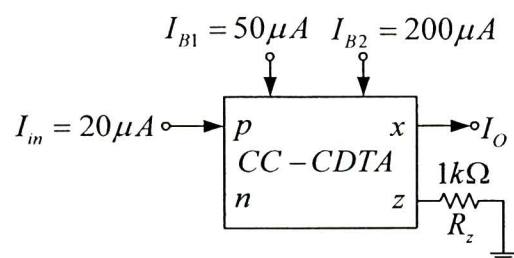
$$R_p = R_n = \frac{V_T}{2I_{B1}} \quad (1.2)$$

ส่วนค่าความนำถ่ายโอนมีค่าเท่ากัน

$$g_m = \frac{I_{B2}}{2V_T} \quad (1.3)$$

เมื่อ V_T เป็นศักดาความร้อน (Thermal voltage) ซึ่งจะมีค่าประมาณ 26mV ที่อุณหภูมิห้อง จากสมการที่ (1.2) และ (1.3) พบว่าทั้งค่าความต้านทานแฟงและค่าความนำถ่ายโอนสามารถควบคุมด้วยกระแสไบแออสหรือที่เรียกว่าการควบคุมแบบอิเล็กทรอนิกส์ โครงสร้างภายในของ CC-CDTA แสดงดังภาพที่ 1.10

ตัวอย่างที่ 1.1 จากในภาพที่ 1.11 จงหา I_O



ภาพที่ 1.11 วงจรในตัวอย่างที่ 1.1

จากวงจร $i_n=0$, $i_p=I_{in}$ เขียนสมการกระแสที่ขั้ว z ได้เป็น

$$i_z = i_p - i_n = I_{in}$$

ส่วนแรงดันที่ขั้ว z เท่ากับ

$$V_z = i_z R_z = I_{in} R_z$$

กระแส I_O แสดงได้ดังนี้

$$I_O = g_m V_z = g_m R_z I_{in}$$

เมื่อ $g_m = I_{B2}/2V_T$ เขียน I_O ใหม่ได้เป็น

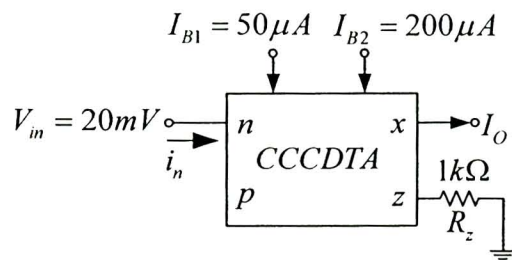
$$I_O = \frac{I_{B2} R_z}{2V_T} I_{in}$$

แทนค่าต่างๆ ตามที่วงจรกำหนดมาจะได้

$$\begin{aligned} I_O &= \frac{(200\mu A)(1k\Omega)(20\mu A)}{2(26mV)} \\ &= 76.92\mu A \end{aligned}$$

ตัวอย่างนี้แสดงให้เห็นถึง ขนาดกระแสที่ขึ้น z เกิดจากผลต่างของกระแสที่ขึ้น p และ n และแรงดันที่ขึ้น z จะถูกแปลงผันเป็นกระแสที่ไหลออกจากขั้ว x ซึ่งขนาดจะขึ้นอยู่กับค่าความนำถ่ายโอน g_m ที่สามารถควบคุมได้ด้วยกระแสไบเอส (I_{B2})

ตัวอย่างที่ 1.2 จากในภาพที่ 1.12 จงหา I_O



ภาพที่ 1.12 วงจรในตัวอย่างที่ 1.2

จากวงจร $i_p = 0$, $i_n = V_{in}/R_n$ เขียนสมการกระแสที่ขึ้น z ได้เป็น

$$i_z = i_p - i_n = -V_{in} / R_n$$

ส่วนแรงดันที่ขึ้น z เท่ากับ

$$V_z = i_z R_z = -R_z \frac{V_{in}}{R_n}$$

กระแส I_O แสดงได้ดังนี้

$$I_O = g_m V_z = -\frac{g_m R_z}{R_n} V_m$$

เมื่อ $R_n = V_T / 2I_{B1}$, $g_m = I_{B2} / 2V_T$ เขียน I_O ใหม่ได้เป็น

$$I_O = -\frac{I_{B1} I_{B2} R_z}{V_T^2} V_m$$

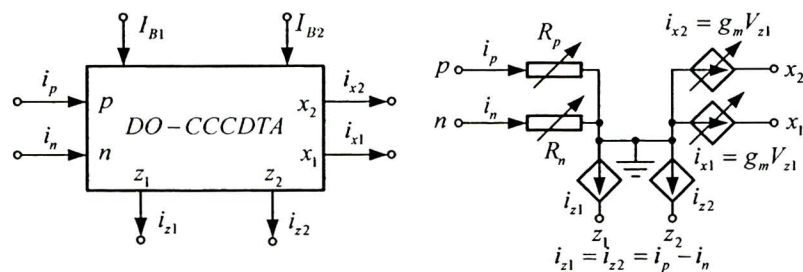
แทนค่าต่างๆ ตามที่วงจรกำหนดมาจะได้

$$\begin{aligned} I_O &= -\frac{(50 \mu A)(200 \mu A)(1 k\Omega)(20 mV)}{(26 mV)^2} \\ &= -295.86 \mu A \end{aligned}$$

จากตัวอย่างนี้ จะเห็นได้ว่า เมื่อกำหนดให้สัญญาณอินพุตเป็นแรงดัน V_m ป้อนเข้าที่ขั้ว n ขนาดของกระแสที่แหล่งเข้าที่ขั้ว n จะขึ้นอยู่กับค่าความต้านทาน R_n ซึ่งค่า R_n นี้สามารถควบคุมได้ด้วยกระแส I_{B1} นั่นเอง จากนั้นกระแส i_n จะถูกส่งผ่านไปที่ขั้ว z ทำให้มีแรงดันตกคร่อมที่ขั้ว z และถูกแปลงผันให้เป็นกระแส I_O จะเห็นได้ว่ากระแส I_O สามารถควบคุมได้ด้วย I_{B1} หรือ I_{B2}

1.1.2 คุณสมบัติของ CC-CDTA แบบเอต์พุตคู่ ที่ทำงานในช่วงเชิงเส้น (Dual-Output CCCDTA: DO-CCCDTA in Linear-mode)

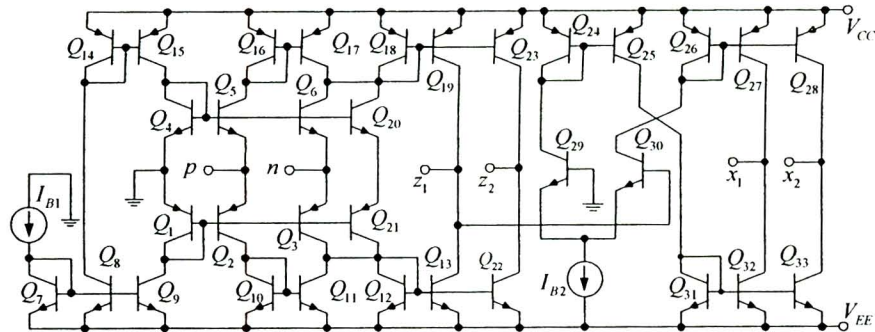
เพื่อให้ CC-CDTA มีความหลากหลายในการนำไปประยุกต์ใช้งานจึงมีการตัดแปลงให้ CC-CDTA มีคุณสมบัติพิเศษมากขึ้น ดังรายละเอียดต่อไปนี้



(๙)

(๑๐)

ภาพที่ 1.13 DO-CCCDTA (ก) สัญลักษณ์ (ข) วงจรสมมูล



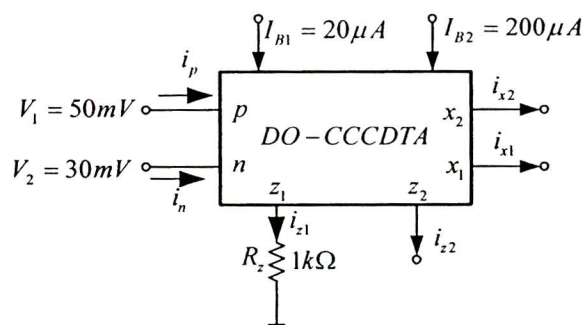
ภาพที่ 1.14 โครงสร้างภายในของ DO-CCCDTA

ลักษณะสมบัติของ DO-CCCDTA โดยทั่วไปจะมีลักษณะคล้าย CC-CDTA แต่ DO-CCCDTA จะมีขาเอาต์พุตที่ขั้ว z_1 และ z_2 อย่างละสองขั้วนั่นคือขั้ว z_1 , z_2 , x_1 และ x_2 ตามลำดับ โดยที่กระแสที่ขั้ว z_1 และ z_2 จะมีขนาดและทิศทางเหมือนกัน เช่นเดียวกับกระแสที่ขั้ว x_1 และ x_2 ก็จะมีขนาดและทิศทางเท่ากัน โดยสัญลักษณ์และวงจรสมมูลของ DO-CCCDTA แสดงดังภาพที่ 1.13 (ก) และ (ข) ตามลำดับ ส่วนภาพที่ 1.14 แสดงโครงสร้างภายในของ DO-CCCDTA

ตัวอย่างที่ 1.3 จากในภาพที่ 1.15 จงหา I_{z1} , I_{x1} และ I_{x2}

จากวงจร $i_p = V_1/R_p$, $i_n = V_2/R_n$ เวียนสมการกระแสที่ขั้ว z ได้เป็น

$$i_{z1} = i_{z2} = i_p - i_n = \frac{V_1}{R_p} - \frac{V_2}{R_n}$$



ภาพที่ 1.15 วงจรในตัวอย่างที่ 1.3

ส่วนแรงดันที่ขั้ว z_1 เท่ากับ

$$V_{z1} = i_{z1} R_z = R_z \left(\frac{V_1}{R_p} - \frac{V_2}{R_n} \right)$$

กระแส I_{x1} และ I_{x2} เท่ากัน

$$I_{x1} = I_{x2} = g_m V_{z1} = g_m R_z \left(\frac{V_1}{R_p} - \frac{V_2}{R_n} \right)$$

เมื่อ $R_p = R_n = V_T / 2I_{B1}$, $g_m = I_{B2} / 2V_T$ เขียน I_{z2} , I_{x1} และ I_{x2} ใหม่ได้เป็น

$$i_{z2} = \frac{2I_{B1}}{V_T} (V_1 - V_2)$$

และ

$$I_{x1} = I_{x2} = \frac{I_{B1} I_{B2} R_z}{V_T^2} (V_1 - V_2)$$

แทนค่าต่างๆ ตามที่วงจรกำหนดมาจะได้

$$\begin{aligned} i_{z2} &= \frac{2(20\mu A)}{26mV} (50mV - 30mV) \\ &= 30.77\mu A \end{aligned}$$

และ

$$\begin{aligned} I_{x1} = I_{x2} &= \frac{(20\mu A)(200\mu A)(1k\Omega)}{(26mV)^2} (50mV - 30mV) \\ &= 118.43\mu A \end{aligned}$$

ในตัวอย่างที่ 1.3 แสดงให้เห็นว่า กระแสที่ขึ้น z_1 และ z_2 มีค่าเท่ากันที่เกิดจากผลต่างของแรงดัน V_1 กับ V_2 ที่ป้อนให้กับขั้ว p และ n ตามลำดับ โดยกระแสขั้ว z_1 และ z_2 ขึ้นอยู่กับค่า R_p และ R_n ที่ควบคุมโดย I_{B1} ส่วนแรงดันที่ตอกคร่อมที่ขั้ว z_1 จะถูกแปลงผันไปเป็นกระแสที่ขั้ว x_1 และ x_2 ที่มีขนาดและทิศทางเหมือนกัน ซึ่งกระแสที่ x_1 และ x_2 จะขึ้นอยู่กับค่าความนำถ่าย g_m ที่ควบคุมโดย I_{B2} นั่นเอง

1.1.3 คุณสมบัติของ CC-CDTA แบบหลายเอาต์พุต (Multiple-Output CCCDTA: MO-CCCDTA)

ลักษณะสำคัญของ MO-CCCDTA แสดงด้วยสมการในเชิงเมตริกซ์ได้ดังนี้

$$\begin{bmatrix} V_p \\ V_n \\ I_{z1,z2} \\ I_{x1} \\ I_{x2} \end{bmatrix} = \begin{bmatrix} R_p & 0 & 0 & 0 & 0 \\ 0 & R_n & 0 & 0 & 0 \\ 1 & -1 & 0 & 0 & 0 \\ 0 & 0 & 0 & g_{m1} & 0 \\ 0 & 0 & 0 & g_{m2} & 0 \end{bmatrix} \begin{bmatrix} I_p \\ I_n \\ V_x \\ V_{z1} \\ V_{z2} \end{bmatrix} \quad (1.4)$$

เมื่อ $V_{z1} \ll 2V_T$ หรือ $|V_{z1}| \ll 2V_T$

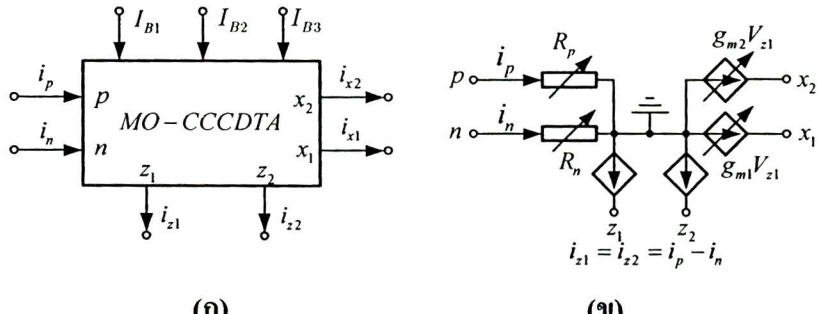
R_p และ R_n มีค่าเท่ากันและมีค่าตามที่ได้แสดงไว้ในสมการที่ (1.2) ส่วนค่าความนำถ่ายโอนที่ข้อ x_1 และ x_2 สามารถควบคุมได้จากการกระแสไปออก I_{B2} และ I_{B3} ตามลำดับ ซึ่งแสดงได้ดังสมการต่อไปนี้

$$g_{m1} = \frac{I_{B2}}{2V_T} \quad (1.5)$$

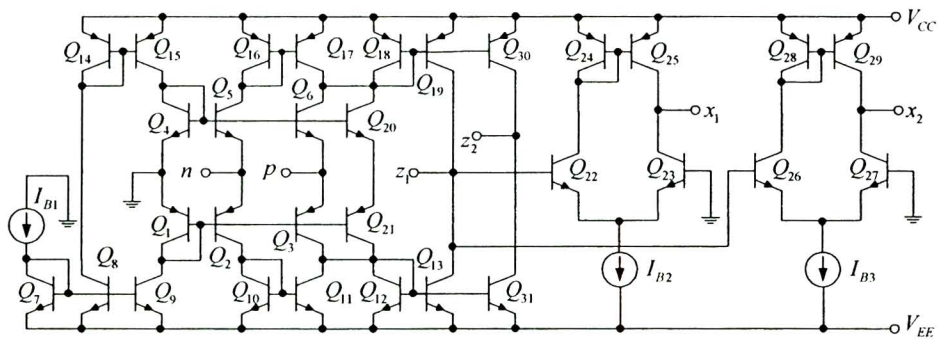
และ

$$g_{m2} = \frac{I_{B3}}{2V_T} \quad (1.6)$$

โดยสัญลักษณ์และวงจรสมมูลของ MO-CCCDTA แสดงดังภาพที่ 1.16 (ก) และ (ข) ตามลำดับ ส่วนภาพที่ 1.17 แสดงโครงสร้างภายในของ MO-CCCDTA

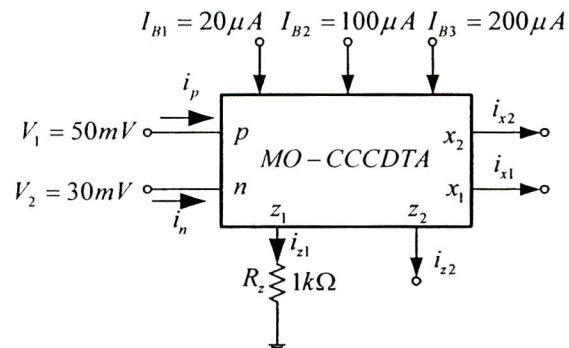


ภาพที่ 1.16 MO-CCCDTA (ก) สัญลักษณ์ (ข) วงจรสมมูล



ภาพที่ 1.17 โครงสร้างภายในของ MO-CCCDTA

ตัวอย่างที่ 1.4 จากในภาพที่ 1.18 จงหา I_{x1} และ I_{x2}



ภาพที่ 1.18 วงจรในตัวอย่างที่ 1.4

จากวงจร $i_p = V_1/R_p$, $i_n = V_2/R_n$ เวียนสมการกระแสที่ขี้ว่า z ได้เป็น

$$i_{z1} = i_{z2} = i_p - i_n = \frac{V_1}{R_p} - \frac{V_2}{R_n}$$

ส่วนแรงดันที่ขี้ว่า z_1 เท่ากับ

$$V_{z1} = i_{z1} R_z = R_z \left(\frac{V_1}{R_p} - \frac{V_2}{R_n} \right)$$

กระแส I_{x1} และ I_{x2} เท่ากับ

$$I_{x1} = g_m V_{z1} = g_m R_z \left(\frac{V_1}{R_p} - \frac{V_2}{R_n} \right)$$

และ

$$I_{x2} = g_{m2}V_{z1} = g_{m2}R_z \left(\frac{V_1}{R_p} - \frac{V_2}{R_n} \right)$$

เมื่อ $R_p = R_n = V_T/2I_{B1}$, $g_{m1} = I_{B2}/2V_T$ และ $g_{m2} = I_{B3}/2V_T$ ขึ้น I_{x1} และ I_{x2} ใหม่ได้เป็น

$$I_{x1} = \frac{I_{B1}I_{B2}R_z}{V_T^2} (V_1 - V_2)$$

และ

$$I_{x2} = \frac{I_{B1}I_{B3}R_z}{V_T^2} (V_1 - V_2)$$

แทนค่าต่างๆ ตามที่วงจรกำหนดมาจะได้

$$\begin{aligned} I_{x1} &= \frac{(20\mu A)(100\mu A)(1k\Omega)}{(26mV)^2} (50mV - 30mV) \\ &= 59.17\mu A \end{aligned}$$

และ

$$\begin{aligned} I_{x2} &= \frac{(20\mu A)(200\mu A)(1k\Omega)}{(26mV)^2} (50mV - 30mV) \\ &= 118.43\mu A \end{aligned}$$

จากคุณสมบัติของ CC-CDTA DO-CCCDTA และ MO-CCCDTA ที่ทำงานในช่วงเชิงเส้น ที่กล่าวไว้ข้างต้น จะเห็นได้ว่า ค่าความต้านทานที่ขึ้น p และ n สามารถควบคุมได้ด้วย กระแสไบแอด I_{B1} และเมื่อ $|V_z| \ll 2V_T$ ค่าความนำถ่ายโอนที่ขึ้น x จะสามารถปรับได้ I_{B2} และ I_{B3} (กรณีที่เป็น MO-CCCDTA)

1.2 คุณสมบัติของวงจรขยายความนำถ่ายโอนผลต่างกระแสที่สามารถควบคุมด้วยกระแส แบบต่างๆ ที่ทำงานในสภาพะอิมตัว

1.2.1 คุณสมบัติของ CC-CDTA ที่ทำงานในสภาพะอิมตัว

จากคุณลักษณะของ CC-CDTA ที่กล่าวในหัวข้อ 1.1.1 ค่าของกระแสที่ขั้ว x เป็นค่าที่ได้จากการประมาณค่าอันดับหนึ่ง ซึ่งสมการนี้เป็นจริงได้ต้องอยู่ในเงื่อนไข $|V_z| \ll 2V_T$ หรือ $|V_z| \ll 52mV$ เมื่อพิจารณาที่อุณหภูมิ $27^\circ C$ ตามความเป็นจริงแล้ว ค่าของกระแสที่ขั้ว x (I_x) สามารถหาได้จาก

$$I_x = I_{B2} \tanh\left(\frac{V_z}{2V_T}\right) \quad (1.7)$$

ถ้ากำหนด $|V_z| \gg 2V_T$ พจน์ $\tanh\frac{V_z}{2V_T}$ จะสามารถประมาณค่าได้ดังนี้

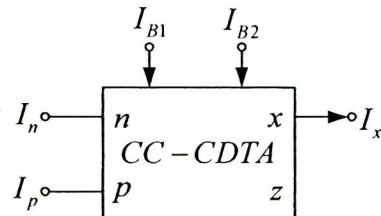
$$\tanh\frac{V_z}{2V_T} \approx \begin{cases} 1 & \text{if } V_z \gg 2V_T \\ -1 & \text{if } |V_z| \gg 2V_T \end{cases} \quad (1.8)$$

ดังนั้นค่า I_x มีค่าดังนี้

$$I_x = \begin{cases} I_{B2} & \text{if } V_z \gg 2V_T \\ -I_{B2} & \text{if } |V_z| \gg 2V_T \end{cases} \quad (1.9)$$

ถ้ากำหนดให้ขั้ว z ดังแสดงในภาพที่ 1.19 โดย V_z มีค่าดังนี้

$$V_z \approx \begin{cases} V_{CC} & \text{if } I_p \geq I_n \\ V_{EE} & \text{if } I_p \leq I_n \end{cases} \quad (1.10)$$



ภาพที่ 1.19 CC-CDTA เมื่อลอยขั้ว z

เมื่อ V_{CC} และ V_{EE} คือแรงดันไฟเลี้ยงด้านบวกและลบของ CC-CDTA ตามลำดับ ดังนั้น I_x หาได้จาก

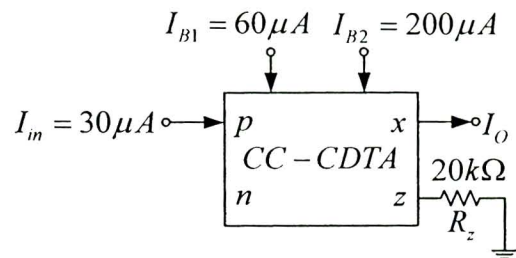
$$I_x = \begin{cases} I_{B2} & \text{if } I_p \geq I_n \\ -I_{B2} & \text{if } I_p \leq I_n \end{cases} \quad (1.11)$$

ดังนั้นลักษณะสมบัติของ CC-CDTA ที่ทำงานในสภาวะอิมตัวแสดงด้วยสมการในเชิงเมตริกซ์ได้ดังนี้

$$\begin{bmatrix} V_p \\ V_n \\ I_z \\ I_x \end{bmatrix} = \begin{bmatrix} R_p & 0 & 0 & 0 \\ 0 & R_n & 0 & 0 \\ 1 & -1 & 0 & 0 \\ 0 & 0 & 0 & \pm 1 \end{bmatrix} \begin{bmatrix} I_p \\ I_n \\ V_x \\ I_{B2} \end{bmatrix} \quad (1.12)$$

เมื่อ $|V_z| \gg 2V_T$

ตัวอย่างที่ 1.5 จากภาพที่ 1.20 จงหา I_o เมื่อพิจารณาที่ $V_T = 26mV$



ภาพที่ 1.20 วงจรในตัวอย่างที่ 1.5

จากวงจร $i_n=0$, $i_p=I_{in}$ เวียนสมการกระแสที่ขั้ว z ได้เป็น

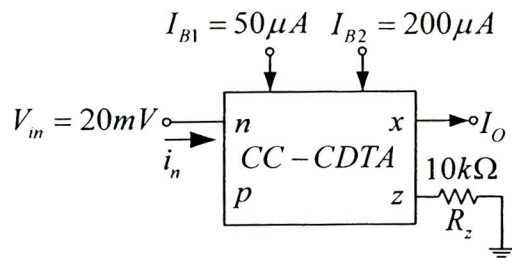
$$i_z = i_p - i_n = I_{in} = 30\mu A$$

ส่วนแรงดันที่ขั้ว z เท่ากับ

$$V_z = i_z R_z = I_{in} R_z = 30\mu A \times 20k\Omega = 600mV$$

จาก $V_z = 600mV$ ที่ $V_z \gg 2V_T$ ตรงกับเงื่อนไข CC-CDTA ทำงานในสภาวะอิมตัวดังนั้นกระแส I_o และคงได้ดังนี้

$$I_o = 200\mu A$$



ภาพที่ 1.21 วงจรในตัวอย่างที่ 1.6

ตัวอย่างที่ 1.6 จากในภาพที่ 1.21 จงหา I_O เมื่อพิจารณาที่ $V_T = 26mV$

จากวงจร $i_p = 0$, $i_n = V_{in}/R_n$ เวียนสมการกระแสที่ขั้ว z ได้เป็น

$$i_z = i_p - i_n = -V_{in}/R_n = -\frac{20mV}{[26mV/(2 \times 50\mu A)]} = -76.92\mu A$$

ส่วนแรงดันที่ขั้ว z เท่ากับ

$$V_z = i_z R_z = -76.92\mu A \times 10k\Omega = -769.2mV$$

จาก $|V_z| \gg 2V_T$ ดังนั้นที่ $V_z = -769.2mV$ ตรงกับเงื่อนไข CC-CDTA ทำงานในสภาพ
อิมตัว ดังนั้นกระแส I_O แสดงได้ดังนี้

$$I_O = -200\mu A$$

จากตัวอย่างที่ 1.5-1.6 เมื่อ $|V_z| \gg 2V_T$ จะทำให้ CC-CDTA ทำงานในสภาพอิมตัวโดยกระแส
เอาค์พุตที่ขั้ว x จะมีค่าเท่ากับ I_{B2} เมื่อ $|V_z| \gg 2V_T$ และเท่ากับ $-I_{B2}$ เมื่อ $|V_z| \gg 2V_T$

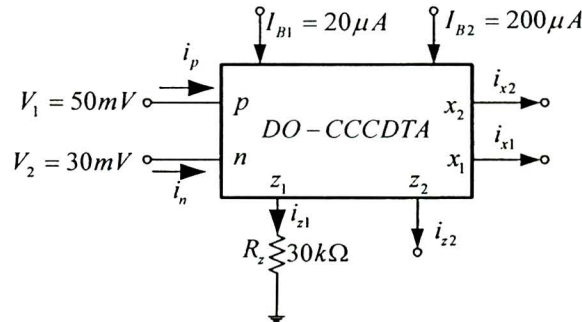
1.2.2 คุณสมบัติของ DO-CCCDTA ที่ทำงานในสภาพอิมตัว

ลักษณะสมบัติของ DO-CCCDTA ที่ทำงานในสภาพอิมตัวสามารถแสดงด้วยสมการใน
เชิงเมตริกซ์ได้ดังนี้

$$\begin{bmatrix} V_p \\ V_n \\ I_{z1,z2} \\ I_{x1,x2} \end{bmatrix} = \begin{bmatrix} R_p & 0 & 0 & 0 \\ 0 & R_n & 0 & 0 \\ 1 & -1 & 0 & 0 \\ 0 & 0 & 0 & \pm 1 \end{bmatrix} \begin{bmatrix} I_p \\ I_n \\ V_x \\ I_{B2} \end{bmatrix} \quad (1.13)$$

เมื่อ $|V_{z1}| \gg 2V_T$

ตัวอย่างที่ 1.7 จากในภาพที่ 1.22 จงหา I_{z2} , I_{x1} และ I_{x2} เมื่อพิจารณาที่ $V_T = 26mV$



ภาพที่ 1.22 วงจร ในตัวอย่างที่ 1.7

จากวงจร $i_p = V_1/R_p$, $i_n = V_2/R_n$ เปลี่ยนสมการกระแสที่ขั้ว z ได้เป็น

$$i_{z1} = i_{z2} = i_p - i_n = \frac{V_1}{R_p} - \frac{V_2}{R_n} = \frac{2(20\mu A)}{26mV}(50mV - 30mV) = 30.77\mu A$$

ส่วนแรงดันที่ขั้ว z_1 เท่ากับ

$$V_{z1} = (i_p - i_n)R_z = 30.77\mu A \times 30k\Omega = 923.1mV$$

จาก $V_{z1} \gg 2V_T$ ดังนั้นที่ $V_{z1} = 923.1mV$ ตรงกับเงื่อนไข DO-CCCDTA ทำงานในสภาวะอิมตัว ดังนั้นกระแส I_{x1} และ I_{x2} แสดงได้ดังนี้

$$I_{x1} = I_{x2} = 200\mu A$$

ในทำนองเดียวกับตัวอย่างที่ 1.1 เมื่อ $V_{z1} \square 2V_T$ จะทำให้ DO-CCCDTA ทำงานในสภาพอิมตัวกระแส I_{x1} และ I_{x2} จะมีขนาดเท่ากับ I_{B2} และทิศทางเหมือนกัน

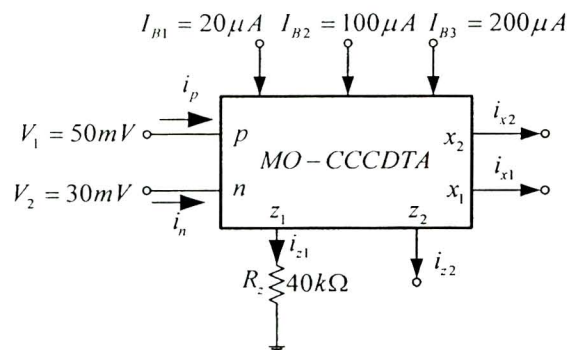
1.2.3 คุณสมบัติของ MO-CCCDTA ที่ทำงานในสภาพอิมตัว

ลักษณะสมบัติของ MO-CCCDTA แสดงด้วยสมการในเชิงเมตริกซ์ได้ดังนี้

$$\begin{bmatrix} V_p \\ V_n \\ I_{z1,z2} \\ I_{x1} \\ I_{x2} \end{bmatrix} = \begin{bmatrix} R_p & 0 & 0 & 0 & 0 \\ 0 & R_n & 0 & 0 & 0 \\ 1 & -1 & 0 & 0 & 0 \\ 0 & 0 & 0 & \pm 1 & 0 \\ 0 & 0 & 0 & 0 & \pm 1 \end{bmatrix} \begin{bmatrix} I_p \\ I_n \\ V_{x1} \\ I_{B2} \\ I_{B3} \end{bmatrix} \quad (1.14)$$

เมื่อ $|V_{z1}| \square 2V_T$

ตัวอย่างที่ 1.8 จากในภาพที่ 1.23 จงหา I_{x1} และ I_{x2}



ภาพที่ 1.23 วงจรในตัวอย่างที่ 1.8

จากวงจร $i_p = V_1/R_p$, $i_n = V_2/R_n$ เขียนสมการกระแสที่ขั้ว z ได้เป็น

$$i_{z1} = i_{z2} = i_p - i_n = \frac{V_1}{R_p} - \frac{V_2}{R_n} = \frac{2(20\mu A)}{26mV} (50mV - 30mV) = 30.77\mu A$$

ส่วนแรงดันที่ขั้ว z_1 เท่ากับ

$$V_{z1} = i_{z1}R_z = 30.77\mu A \times 40k\Omega = 1.23V$$

จาก $V_{z1} \square 2V_T$ ดังนั้นที่ $V_{z1} = 1.23V$ ตรงกับเงื่อนไข MO-CCCDTA ทำงานในสภาพอิ่มตัว ดังนั้นกระแส I_{x1} และ I_{x2} แสดงได้ดังนี้

$$I_{x1} = 100\mu A$$

และ

$$I_{x2} = 200\mu A$$

จะเห็นได้ว่าคุณสมบัติของ MO-CCCDTA จะทำงานในสภาพอิ่มตัว เมื่อ $V_{z1} \square 2V_T$ และทำให้กระแส I_{x1} และ I_{x2} มีค่าเท่ากับ I_{B2} และ I_{B3} ตามลำดับ

1.3 สรุปเนื้อหา

วงจรขยายความนำถ่ายโดยนผลต่างกระแสที่สามารถควบคุมด้วยกระแสหารือ CC-CDTA มี 3 ชนิดคือ CC-CDTA DO-CCCDTA และ MO-CCCDTA ซึ่งมีช่วงการทำงานที่นิยมใช้ในการออกแบบวงจรอยู่ 2 ช่วงการทำงานคือ ช่วงการทำงานที่เป็นเชิงเส้น และช่วงการทำงานในสภาพอิ่มตัว

คุณลักษณะของ CC-CDTA DO-CCCDTA และ MO-CCCDTA ที่ทำงานในช่วงเชิงเส้น

CC-CDTA จะทำงานในช่วงที่เป็นเชิงเส้น ต้องอยู่ภายใต้เงื่อนไข $|V_z| \square 2V_T$ โดยค่าความต้านทานที่ข้อ p (R_p) และ n (R_n) เท่ากัน และสามารถควบคุมได้ด้วย I_{B1} ส่วนค่าความนำถ่ายโดยนที่ข้อ x (g_m) สามารถควบคุมได้ด้วย I_{B2}

DO-CCCDTA จะแตกต่างกับ CC-CDTA ที่มีข้อ z และ x อย่างละเอียดขึ้นคือ z_1 , z_2 , x_1 และ x_2 โดย $I_{z1} = I_{z2}$ และ $I_{x1} = I_{x2}$ ส่วนเงื่อนไขที่ทำให้ DO-CCCDTA ทำงานในช่วงเชิงเส้นคือ $|V_{z1}| \square 2V_T$ คุณลักษณะอื่นๆ จะเหมือนกับ CC-CDTA

MO-CCCDTA จะมีข้อ z และ x อย่างละเอียดขึ้น เหมือนกับ DO-CCCDTA แต่ค่าความนำถ่ายโดยนที่ข้อ x_1 และ x_2 จะสามารถควบคุมได้โดยสารจากกัน โดยค่าความนำถ่ายโดยนที่ข้อ x_1 (g_{m1}) และ x_2 (g_{m2}) สามารถควบคุมได้ด้วย I_{B2} และ I_{B3} ตามลำดับ และเงื่อนไขที่ทำให้ทำงานในช่วงเชิงเส้นคือ $|V_{z1}| \square 2V_T$

คุณลักษณะของ CC-CDTA DO-CCCTA และ MO-CCCTA ที่ทำงานในสภาวะอิ่มตัว

CC-CDTA จะทำงานในสภาวะอิ่มตัว เมื่อ $|V_z| \gg 2V_T$ โดยกระแสที่ข้าว x จะมีค่าเท่ากับ I_{B2} เมื่อ $V_z \gg 2V_T$ และมีค่าเท่ากับ $-I_{B2}$ เมื่อ $|-V_z| \gg 2V_T$

DO-CCCTA จะทำงานในสภาวะอิ่มตัว เมื่อ $|V_{z1}| \gg 2V_T$ โดยกระแสที่ข้าว x₁ และ x₂ จะมีค่าเท่ากับ I_{B2} เมื่อ $V_z \gg 2V_T$ และมีค่าเท่ากับ $-I_{B2}$ เมื่อ $|-V_z| \gg 2V_T$

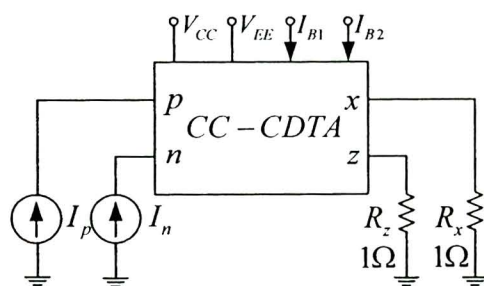
MO-CCCTA จะทำงานในสภาวะอิ่มตัว เมื่อ $|V_{z1}| \gg 2V_T$ โดยกระแสที่ข้าว x₁ จะมีค่าเท่ากับ I_{B2} เมื่อ $V_z \gg 2V_T$ และมีค่าเท่ากับ $-I_{B2}$ เมื่อ $|-V_z| \gg 2V_T$ ส่วนกระแสที่ข้าว x₂ จะมีค่าเท่ากับ I_{B3} เมื่อ $V_z \gg 2V_T$ และมีค่าเท่ากับ $-I_{B3}$ เมื่อ $|-V_z| \gg 2V_T$

	CC-CDTA ที่ทำงานในช่วง อิมตัวและการประยุกต์ใช้งาน	ใบงานที่ 1 คุณสมบัติของ CC-CDTA ที่ทำงานในช่วงเชิงเส้นและ อิมตัว
---	--	---

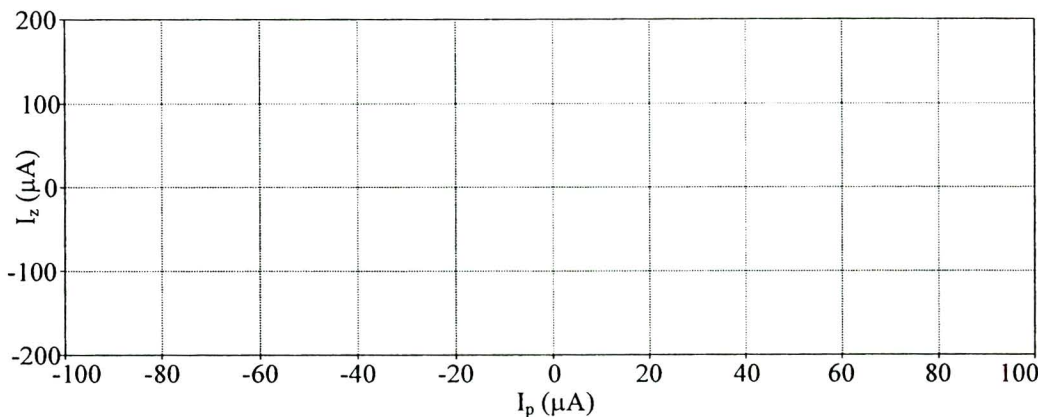
ขั้นตอนการทดลอง

ตอนที่ 1 การทดสอบคุณสมบัติของ CC-CDTA ที่ทำงานในช่วงเชิงเส้น

- 1.1 วัดวงจรตามภาพที่ 1.1 เพื่อทดสอบคุณลักษณะถ่ายโอนทางไฟตรง (DC characteristics) ของ CC-CDTA



ภาพที่ 1.1 วงจรสำหรับการทดสอบคุณลักษณะถ่ายโอนทางไฟตรงของ CC-CDTA

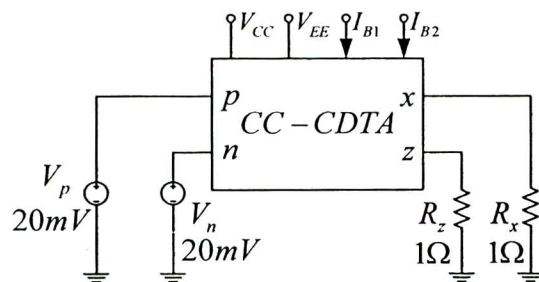


ภาพที่ 1.2 คุณลักษณะถ่ายโอนทางไฟตรง

- 1.2 กำหนดค่าอุปกรณ์ในวงจรดังนี้ $V_{CC} = 3V$, $V_{EE} = -3V$, $I_{B1} = I_{B2} = 100\mu A$ และ $R_z = R_x = 1\Omega$ โดยตัวต้านทานทั้งสองต่อมาเพื่อเป็นการให้กับวงจร

- 1.3 เลือกการวิเคราะห์วงจรแบบ DC sweep จากนั้นกำหนดค่าต่างๆ ดังนี้
- 3.1.1 ที่ Primary sweep จะมีหน้าต่าง Sweep variable ให้เลือกที่ Current source ในช่อง Name: ให้พิมพ์ I_p และในหน้าต่าง Sweep type เลือก Linear และกำหนดค่าดังนี้ Start value: $-100\mu A$, End value: $100\mu A$ และ Increase: $1\mu A$ ($I_n = 0\mu A$)
- 3.1.2 เลือกที่ Parametric sweep จะมีหน้าต่าง Sweep variable ให้เลือกที่ Current source ในช่อง Name: ให้พิมพ์ I_n และในหน้าต่าง Sweep type เลือก Value list และพิมพ์ $-100\mu A, 0, 100\mu A$ ($I_p = 0\mu A$)
- 1.4 ใช้ Current marker วัดกระแส i_z นั่นคือกระแสที่ไฟล์ผ่าน R_z จากนั้นทำการรันโปรแกรมเพื่อจำลองการทำงานแล้วบันทึกผลลงในภาพที่ 1.2
- 1.5 คำนวณกระแส i_z จากสมการที่ 1.1 และนำค่าที่คำนวณได้เพล่อต่องในภาพที่ 1.2 เพื่อเปรียบเทียบกับผลที่ได้จากการจำลอง
- 1.6 เปรียบเทียบค่ากระแส i_z ที่ได้จากการจำลองกับค่าที่ได้จากการคำนวณ
-
-

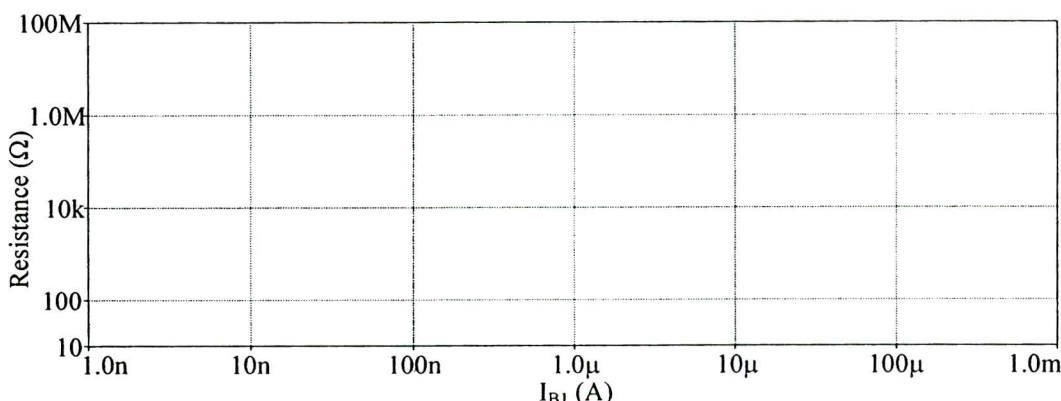
- 1.7 ความจริงตามภาพที่ 1.3 เพื่อวัดค่าความด้านทานแฝงที่ขั้ว p และ n (R_p และ R_n) เมื่อมีการเปลี่ยนแปลงกระแสไบเออส I_{B1}



ภาพที่ 1.3 วงจรสำหรับการวัดค่าความด้านทานแฝง

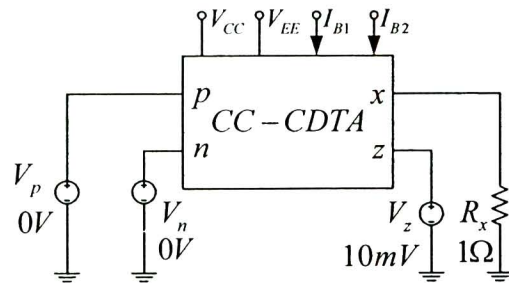
- 1.8 กำหนดค่าแรงดัน $V_p = V_n = 20mV$
- 1.9 เลือกการวิเคราะห์วงจรแบบ DC sweep ที่ Primary sweep จะมีหน้าต่าง Sweep variable ให้เลือกที่ Current source ในช่อง Name: ให้พิมพ์ I_{B1} และในหน้าต่าง Sweep type เลือก Linear และกำหนดค่าดังนี้ Start value: $1nA$, End value: $1mA$ และ Increase: $100nA$
- 1.10 ใช้ Voltage marker วัดแรงดันที่ขั้ว p และ n (V_p และ V_n) ทำการรันโปรแกรมเพื่อจำลองการทำงาน

- 1.11 จากรูปในภาพที่ 1.3 ค่าความต้านทานของ R_p และ R_n คือแรงดันที่ตอกคร่อมที่ขั้ว p และ n หารด้วยกระแสที่ไหลเข้าที่ขั้วทั้งสอง นั่นก็คือ $R_p = V_p / (-I_{\nu_p})$ และ $R_n = V_n / (-I_{\nu_n})$ โดยที่กระแส I_{ν_p} จะเท่ากับกระแส i_p ส่วนกระแส I_{ν_n} จะเท่ากับกระแส i_n แต่ทิศทางของกระแสทั้งสองจะตรงข้ามกัน ดังนั้นเพื่อแสดงค่าความต้านทาน R_p และ R_n ที่หน้าต่างผลการรันหรือผลการจำลอง ให้นำค่าแรงดันที่ขั้ว p และ n หารด้วยกระแส $-I_{\nu_p}$ และ $-I_{\nu_n}$ ซึ่งทำได้โดยดับเบลคลิกที่ตัวอักษร V(Vp:+) ที่อยู่ด้านล่างช้ายของหน้าต่างผลการจำลองจะปรากฏหน้าต่าง Modify trace และในช่อง Trace expression ให้พิมพ์ $(V(Vp:+) / (-I(Vp)))$ ทำเช่นเดียวกันเพื่อวัดค่าความต้านทาน R_n โดยการดับเบลคลิกที่ตัวอักษร V(Vn:+) ที่อยู่ด้านล่างช้ายของหน้าต่างผลการจำลองจะปรากฏหน้าต่าง Modify trace และในช่อง Trace expression ให้พิมพ์ $(V(Vn:+) / (-I(Vn)))$
- 1.12 เนื่องจากค่าความต้านทาน R_p และ R_n มีค่าอยู่ในช่วงโอห์มถึงเมกะโอห์ม (แสดงในแกน Y) เช่นเดียวกับค่ากระแสในแอลจีส I_{B1} ที่มีค่าอยู่ในช่วงนาโนแอมป์ถึงมิลิแอมป์ (แสดงในแกน X) ซึ่งการแสดงค่าดังกล่าวในสเกลแบบเชิงเส้นจึงไม่สามารถเห็นการเปลี่ยนแปลงของเส้นกราฟได้ ดังนั้นสเกลในแกน X และ Y จึงต้องเป็นสเกลแบบล็อก (Log) ซึ่งทำได้ดังนี้ ในหน้าต่างผลการจำลองให้เข้าไปที่เมนู Plot และเลือกที่ Axis settings ก็จะปรากฏหน้าต่าง Axis settings คลิกที่ X Axis ที่ Scale ให้เลือก Log จากนั้นไปกำหนดแกน Y ด้วย ให้คลิกที่ Y Axis ที่ Scale ให้เลือก Log เช่นเดียวกับแกน X และจึงเลือกตกลง ก็จะสามารถเห็นกราฟค่าความต้านทาน R_p และ R_n ได้ชัดเจนยิ่งขึ้น จากนั้นวาดกราฟดังกล่าวลงในภาพที่ 1.4
- 1.13 คำนวณค่าความต้านทาน R_p และ R_n ($R_p = R_n = V_T / 2I_{B1}$) จากสมการที่ 1.2 และนำค่าที่คำนวณได้พเล่อตลงในภาพที่ 1.4 เพื่อเปรียบเทียบกับผลที่ได้จากการจำลอง



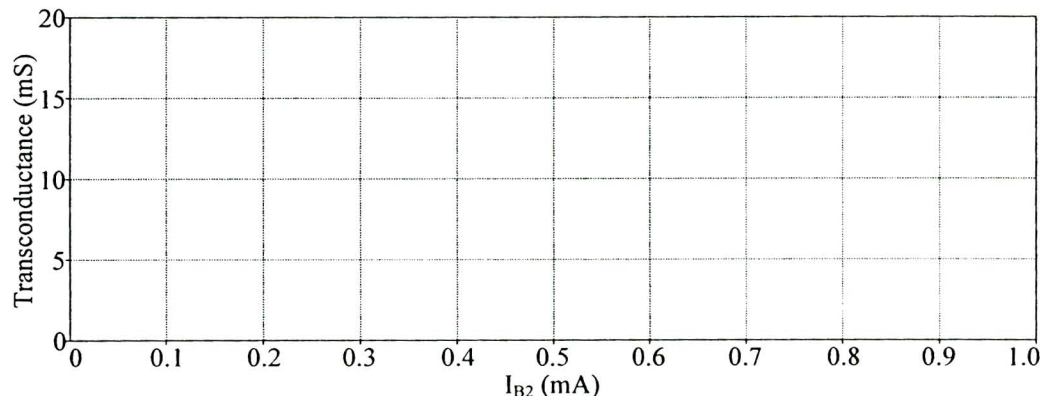
ภาพที่ 1.4 ความต้านทาน R_p และ R_n เทียบกับกระแสในแอลจีส I_{B1}

- 1.14 เปรียบเทียบค่าความต้านทาน R_p และ R_n ที่ได้จากการจำลองกับค่าที่ได้จากการคำนวณ
-
-



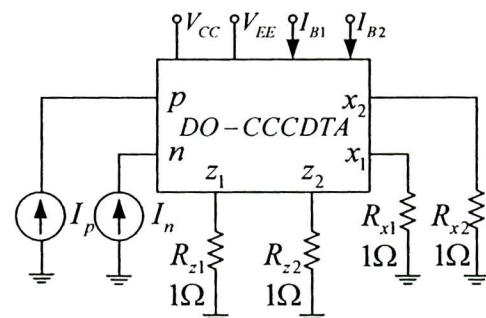
ภาพที่ 1.5 วงจรสำหรับการวัดค่าความนำถ่ายโอนของ CC-CDTA

- 1.15 วัดความรุนแรงตามภาพที่ 1.5 เพื่อวัดค่าความนำถ่ายโอน (g_m) เมื่อมีการเปลี่ยนแปลงกระแสไบเอส I_{B2}
- 1.16 กำหนดค่าแรงดัน $V_p = V_n = 0V$ และ $V_z = 10mV$
- 1.17 เลือกการวิเคราะห์วงจรแบบ DC sweep ที่ Primary sweep จะมีหน้าต่าง Sweep variable ให้เลือกที่ Current source ในช่อง Name: ให้พิมพ์ I_{B2} และในหน้าต่าง Sweep type เลือก Linear แล้วกำหนดค่าดังนี้ Start value: $1nA$, End value: $1mA$ และ Increase: $100nA$
- 1.18 ใช้ Current marker วัดกระแส i_x หรือวัดกระแสที่ไหลผ่านตัวต้านทาน R_x ทำการรันโปรแกรมเพื่อจำลองการทำงาน
- 1.19 จากสมการที่ 1.1 ค่า g_m คือกระแส i_x หารด้วยแรงดัน V_z ดังนั้นเพื่อแสดงค่า g_m ที่หน้าต่างผลผลการจำลอง ให้นำค่ากระแส i_x หรือกระแสที่ไหลผ่าน R_x (I_{Rx}) หารด้วย V_z ซึ่งทำได้โดยดับเบิลคลิกที่ตัวอักษร $I(Rx)$ ที่อยู่ด้านล่างช้าขของหน้าต่างผลผลการจำลองจะปรากฏหน้าต่าง Modify trace และในช่อง Trace expression ให้พิมพ์ $(-I(Rx) / V(Vz:+))$ วาดกราฟความนำถ่ายโอนลงในภาพที่ 1.6
- 1.20 คำนวณค่าความนำถ่ายโอน ($g_m = I_{B2} / 2V_T$) จากสมการที่ 1.3 และนำค่าที่คำนวณได้พล็อตลงในภาพที่ 1.6 เพื่อเปรียบเทียบกับผลที่ได้จากการจำลอง



ภาพที่ 1.6 ความนำถ่ายโอน (g_m) เทียบกับกระแสไบเออส I_{B2}

1.21 เปรียบเทียบค่าความนำถ่ายโอนที่ได้จากการจำลองกับค่าที่ได้จากการคำนวณ



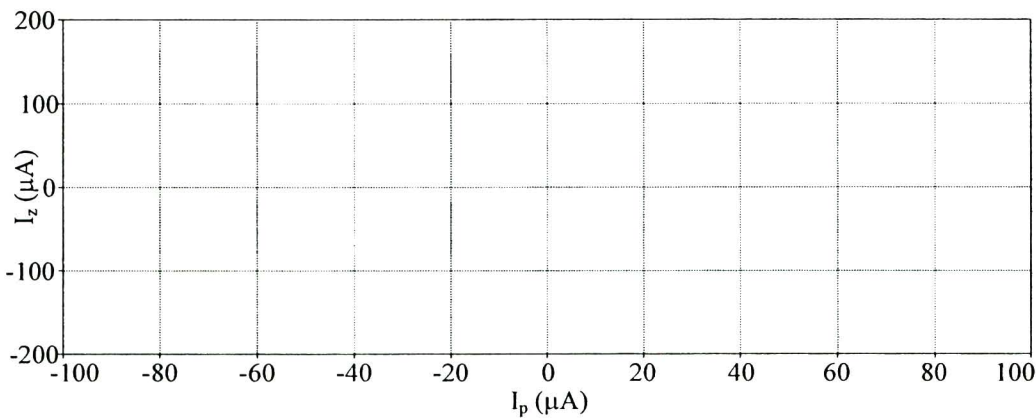
ภาพที่ 1.7 วงจรสำหรับการทดสอบคุณลักษณะถ่ายโอนทางไฟตรงของ DO-CCCDTA

ตอนที่ 2 การทดสอบคุณลักษณะของ DO-CCCDTA ที่ทำงานในช่วงเชิงเส้น

1. วัดวงจรตามภาพที่ 1.7 เพื่อทดสอบคุณลักษณะถ่ายโอนทางไฟตรง (DC characteristic) ของ DO-CCCDTA
2. กำหนดค่าอุปกรณ์ในวงจรดังนี้ $V_{CC} = 3V$, $V_{EE} = -3V$, $I_{B1} = I_{B2} = 100\mu A$ และ $R_{z1} = R_{z2} = 1\Omega$ และ $R_{x1} = R_{x2} = 1\Omega$
3. เลือกการวิเคราะห์วงจรแบบ DC sweep จากนั้นกำหนดค่าต่างๆ ดังนี้
 - 24.1.1 ที่ Primary sweep จะมีหน้าต่าง Sweep variable ให้เลือกที่ Current source ในช่อง Name: ให้พิมพ์ I_p และในหน้าต่าง Sweep type เลือก Linear และกำหนดค่าดังนี้ Start value: $-100\mu A$, End value: $100\mu A$ และ Increase: $1\mu A$ ($I_n = 0\mu A$)

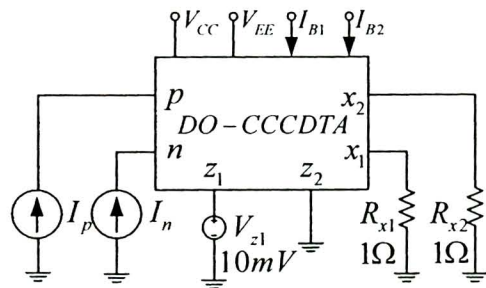
24.1.2 เลือกที่ Parametric sweep จะมีหน้าต่าง Sweep variable ให้เลือกที่ Current source ในช่อง Name: ให้พิมพ์ In และในหน้าต่าง Sweep type เลือก Value list แล้วพิมพ์ $-100\mu A, 0, 100\mu A$ ($I_p = 0\mu A$)

4. ใช้ Current marker วัดกระแส i_{z1} และ i_{z2} นั่นคือกระแสที่ไหลผ่าน R_{z1} และ R_{z2} จากนั้นทำการรันโปรแกรมเพื่อจำลองการทำงานแล้วบันทึกผลลงในภาพที่ 1.8
5. คำนวณกระแส i_{z1} และ i_{z2} ($i_{z1} = i_{z2} = i_p - i_n$) จากสมการที่ 1.1 แล้วนำค่าที่คำนวณได้พล็อตลงในภาพที่ 1.8 เพื่อเปรียบเทียบกับผลที่ได้จากการจำลอง



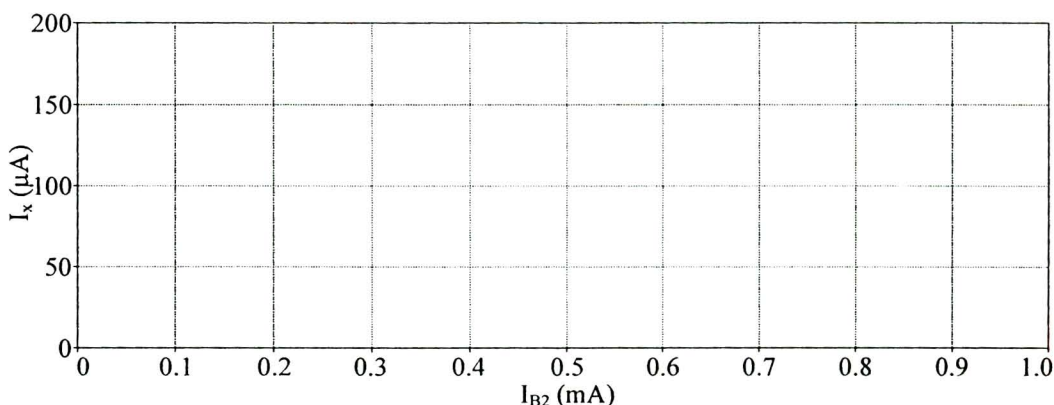
ภาพที่ 1.8 คุณลักษณะถ่ายโอนทางไฟตรงของ DO-CCCDTA

6. เปรียบเทียบค่ากระแส i_{z1}, i_{z2} ที่ได้จากการจำลองกับค่าที่ได้จากการคำนวณ
-
7. วัดวงจรตามภาพที่ 1.9 เพื่อวัดกระแสที่ข้อ x_1 และ x_2 เมื่อมีการเปลี่ยนแปลงกระแสไบเอส I_{B2}
 8. กำหนดค่าแรงดัน $I_p = I_n = 0A$ และ $V_{z1} = 10mV$
 9. เลือกการวิเคราะห์วงจรแบบ DC sweep ที่ Primary sweep จะมีหน้าต่าง Sweep variable ให้เลือกที่ Current source ในช่อง Name: ให้พิมพ์ I_{B2} และในหน้าต่าง Sweep type เลือก Linear แล้วกำหนดค่าดังนี้ Start value: $1nA$, End value: $1mA$ และ Increase: $100nA$



ภาพที่ 1.9 วงจรสำหรับการวัดกระแสที่ขั้ว x_1 และ x_2

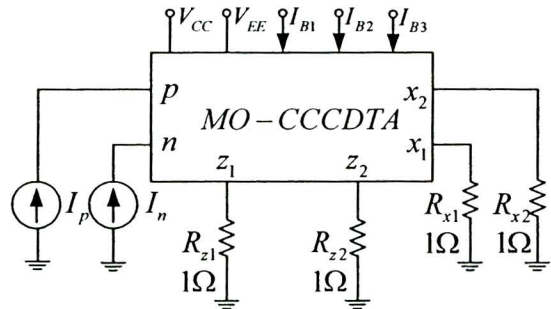
10. ใช้ Current marker วัดกระแส i_{x1} และ i_{x2} หรือวัดกระแสที่ไหลผ่านตัวต้านทาน R_{x1} และ R_{x2} ตามลำดับ แล้วทำการรันโปรแกรมเพื่อจำลองการทำงานบันทึกผลลงในภาพที่ 1.10
 11. คำนวณกระแส i_{x1} และ i_{x2} ($i_{x1} = i_{x2} = g_m V_{z1}$) เมื่อ $g_m = I_{h2} / 2V_T$ แล้วนำค่าที่คำนวณໄ�回สู่ผลลงในภาพที่ 1.10 เพื่อเปรียบเทียบกับผลที่ได้จากการจำลอง
 12. เปรียบเทียบค่ากระแส i_{x1} , i_{x2} ที่ได้จากการจำลองกับค่าที่ได้จากการคำนวณ
-
-



ภาพที่ 1.10 กระแส i_{x1} , i_{x2} เทียบกับกระแสไบเออส I_{B2}

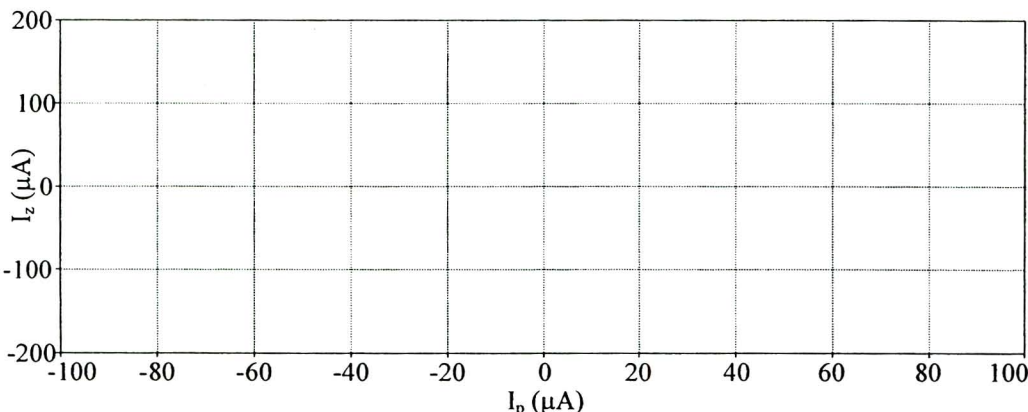
ตอนที่ 3 การทดสอบคุณลักษณะของ MO-CCCDTA ที่ทำงานในช่วงเชิงเส้น

- 3.1 วัดวงจรตามภาพที่ 1.11 เพื่อทดสอบคุณลักษณะถ่ายโอนทางไฟฟ้า (DC characteristic) ของ MO-CCCDTA



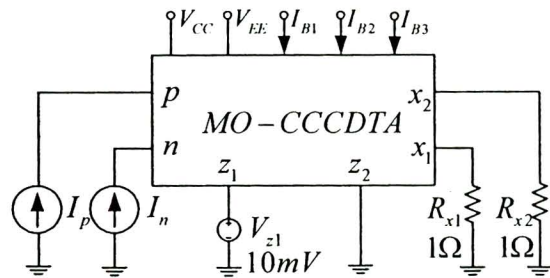
ภาพที่ 1.11 วงจรสำหรับการทดสอบคุณลักษณะถ่ายโอนทางไฟตรงของ MO-CCCDTA

- 3.2 กำหนดค่าอุปกรณ์ในวงจรดังนี้ $V_{CC} = 3V$, $V_{EE} = -3V$, $I_{B1} = I_{B2} = I_{B3} = 100\mu A$ และ $R_{z1} = R_{z2} = 1\Omega$ และ $R_{x1} = R_{x2} = 1\Omega$
- 3.3 เลือกการวิเคราะห์วงจรแบบ DC sweep จากนั้นกำหนดค่าต่างๆ ดังนี้
- 36.1 ที่ Primary sweep จะมีหน้าต่าง Sweep variable ให้เลือกที่ Current source ในช่อง Name: ให้พิมพ์ I_p และในหน้าต่าง Sweep type เลือก Linear และกำหนดค่าดังนี้ Start value: $-100\mu A$, End value: $100\mu A$ และ Increase: $1\mu A$ ($I_n = 0\mu A$)
- 36.2 เลือกที่ Parametric sweep จะมีหน้าต่าง Sweep variable ให้เลือกที่ Current source ในช่อง Name: ให้พิมพ์ I_n และในหน้าต่าง Sweep type เลือก Value list และพิมพ์ $-100\mu A, 0, 100\mu A$ ($I_p = 0\mu A$)
- 3.4 ใช้ Current marker วัดกระแส i_{z1} และ i_{z2} นั่นก็คือกระแสที่ไหลผ่าน R_z และ R_x จากนั้นทำการรันโปรแกรมเพื่อจำลองการทำงานแล้วบันทึกผลลงในภาพที่ 1.12
- 3.5 คำนวณกระแส i_{z1} และ i_{z2} ($i_{z1} = i_{z2} = i_p - i_n$) จากสมการที่ 1.4 และนำค่าที่คำนวณได้เพื่อตั้งในภาพที่ 1.12 เพื่อเปรียบเทียบกับผลที่ได้จากการจำลอง



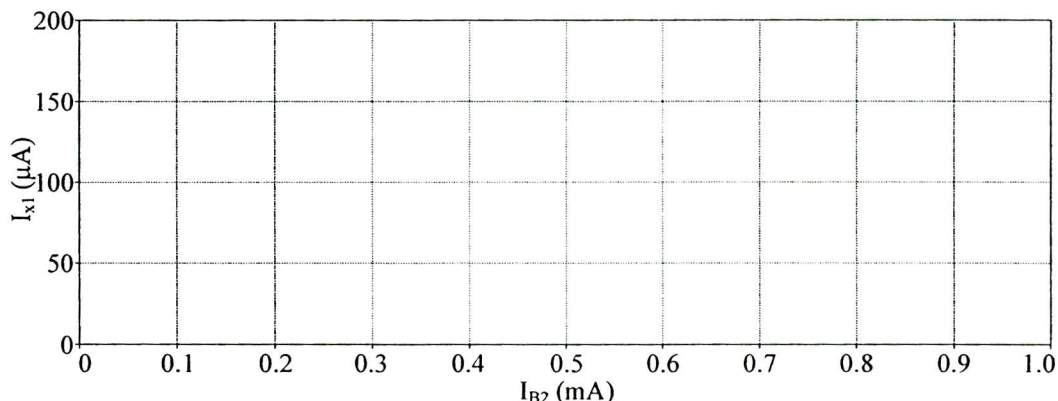
ภาพที่ 1.12 คุณลักษณะถ่ายโอนทางไฟตรงของ MO-CCCDTA

3.6 เปรียบเทียบค่ากระแส i_{z_1} , i_{z_2} ที่ได้จากการจำลองกับค่าที่ได้จากการคำนวณ



ภาพที่ 1.13 วงจรสำหรับการวัดกระแสที่ขั้ว x_1 เมื่อมีการเปลี่ยนแปลงกระแสไบแอส I_{B2}

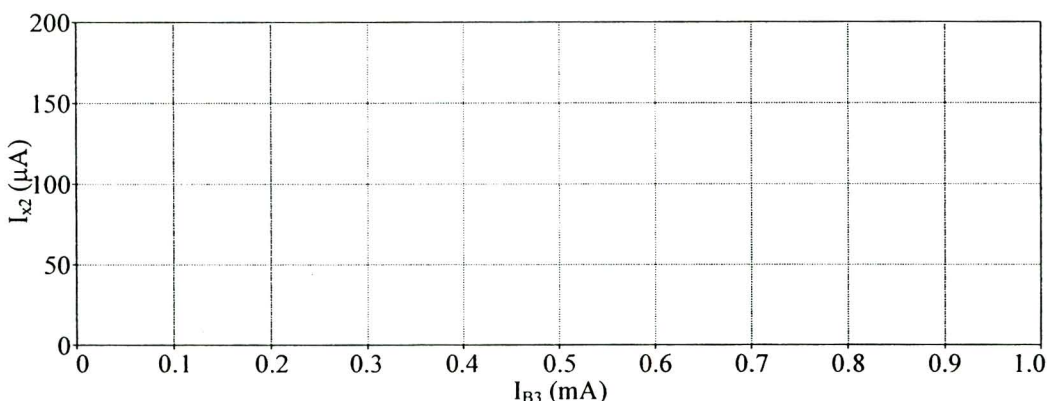
- 3.7 วัดวงจรตามภาพที่ 1.13 เพื่อวัดกระแสที่ขั้ว x_1 เมื่อมีการเปลี่ยนแปลงกระแสไบแอส I_{B2}
- 3.8 กำหนดค่าแรงดัน $I_p = I_n = 0A$ และ $V_{z1} = 10mV$
- 3.9 เลือกการวิเคราะห์วงจรแบบ DC sweep ที่ Primary sweep จะมีหน้าต่าง Sweep variable ให้เลือกที่ Current source ในช่อง Name: ให้พิมพ์ I_{B2} และในหน้าต่าง Sweep type เลือก Linear แล้วกำหนดค่าดังนี้ Start value: $1nA$, End value: $1mA$ และ Increase: $100nA$
- 3.10 ใช้ Current marker วัดกระแส i_{x1} หรือวัดกระแสที่โหลดผ่านตัวต้านทาน R_{x1} แล้วทำการรันโปรแกรมเพื่อจำลองการทำงานบันทึกผลลงในภาพที่ 1.14
- 3.11 คำนวณกระแส i_{x1} ($i_{x1} = g_{m1}V_{z1}$) เมื่อ $g_{m1} = I_{B2}/2V_T$ แล้วนำค่าที่คำนวณໄค์พลีอุตลงในภาพที่ 1.14 เพื่อเปรียบเทียบกับผลที่ได้จากการจำลอง



ภาพที่ 1.14 กระแส i_{x1} เทียบกับกระแสไบแอส I_{B2}

3.12 เปรียบเทียบค่ากระแส i_{x_1} ที่ได้จากการจำลองกับค่าที่ได้จากการคำนวณ

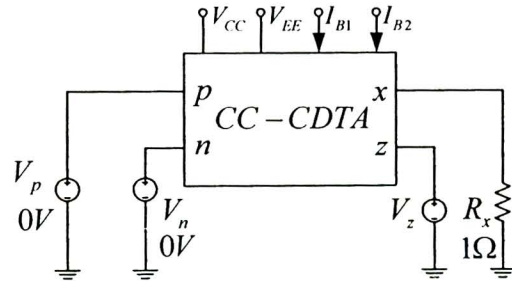
- 3.13 วัดวงจรตามภาพที่ 1.13 เพื่อวัดกระแสที่ขั้ว x_2 เมื่อมีการเปลี่ยนแปลงกระแสไบแอดส์ I_{B3}
- 3.14 กำหนดค่าแรงดัน $I_p = I_n = 0A$ และ $V_{z1} = 10mV$
- 3.15 เลือกการวิเคราะห์วงจรแบบ DC sweep ที่ Primary sweep จะมีหน้าต่าง Sweep variable ให้เลือกที่ Current source ในช่อง Name: ให้พิมพ์ I_{B3} และในหน้าต่าง Sweep type เลือก Linear แล้วกำหนดค่าดังนี้ Start value: $1mA$, End value: $1mA$ และ Increase: $100nA$
- 3.16 ใช้ Current marker วัดกระแส i_{x_2} หรือวัดกระแสที่โหลดผ่านตัวต้านทาน R_{x_2} แล้วทำการรันโปรแกรมเพื่อจำลองการทำงานบันทึกผลลงในภาพที่ 1.15
- 3.17 คำนวณกระแส i_{x_2} ($i_{x_2} = g_{m2}V_{z1}$) เมื่อ $g_{m2} = I_{B3}/2V_T$ แล้วนำค่าที่คำนวณได้พล็อตลงในภาพที่ 1.15 เพื่อเปรียบเทียบกับผลที่ได้จากการจำลอง
- 3.18 เปรียบเทียบค่ากระแส i_{x_2} ที่ได้จากการจำลองกับค่าที่ได้จากการคำนวณ
-
-



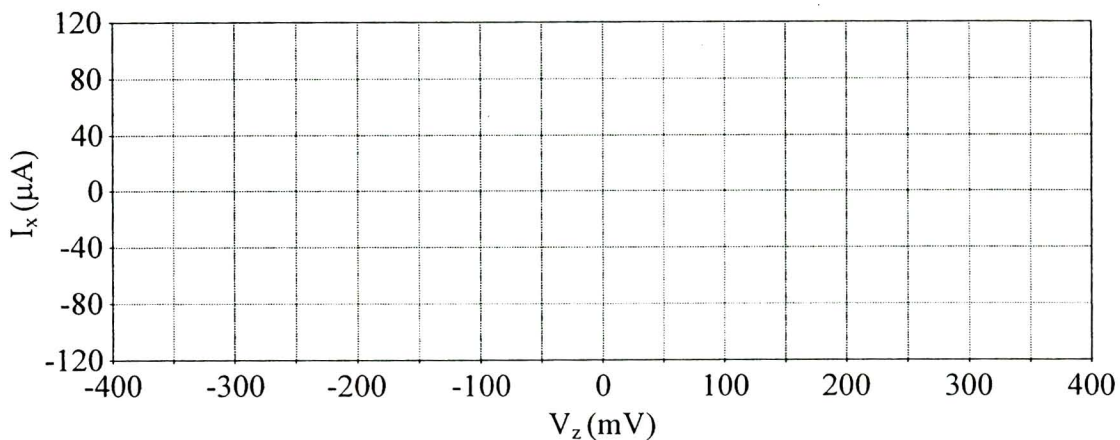
ภาพที่ 1.15 กระแส i_{x_2} เทียบกับกระแสไบแอดส์ I_{B3}

ตอนที่ 4 การทดสอบคุณลักษณะของ CC-CDTA ที่ทำงานในสภาพอิ่มตัว

- 4.1 วัดวงจรตามภาพที่ 1.16 เพื่อทดสอบเรื่อง(CC-CDTA เพื่อทำงานทำงานในสภาพอิ่มตัว

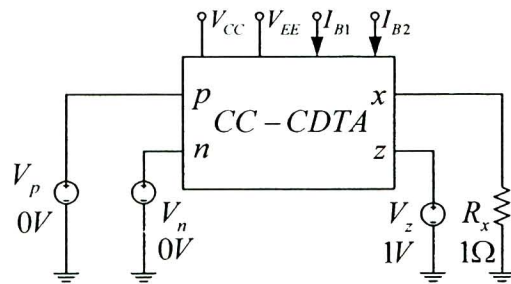


ภาพที่ 1.16 วงจรสำหรับการทดสอบเงื่อนไขของ CC-CDTA เพื่อทำงานทำงานในสภาวะอิ่มตัว



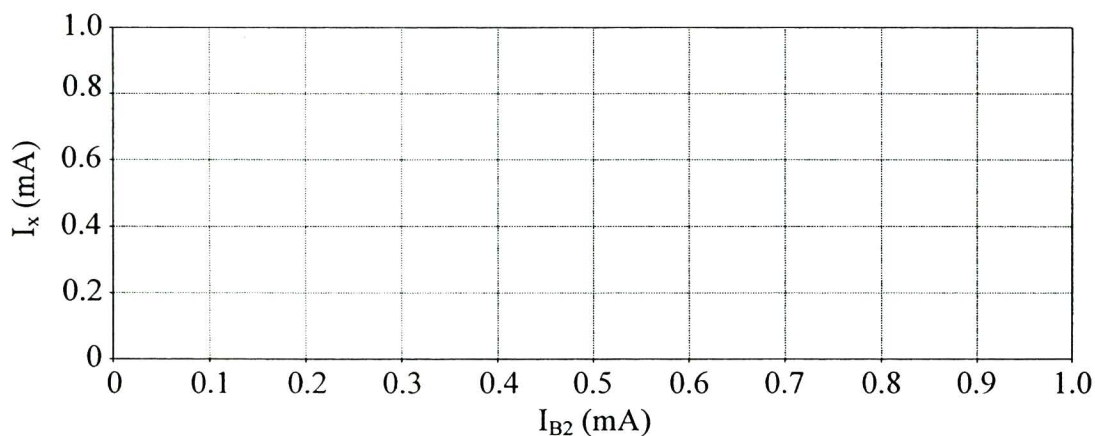
ภาพที่ 1.17 เงื่อนไขของ CC-CDTA เพื่อทำงานทำงานในสภาวะอิ่มตัว

- 4.2 กำหนดค่าอุปกรณ์ในวงจรดังนี้ $V_{CC} = 3V$, $V_{EE} = -3V$, $I_{B1} = I_{B2} = 100\mu A$ และ $R_x = 1\Omega$
- 4.3 เลือกการวิเคราะห์วงจรแบบ DC sweep จากนั้นกำหนดค่าต่างๆ ดังนี้
 - ที่ Primary sweep จะมีหน้าต่าง Sweep variable ให้เลือกที่ Voltage source ในช่อง Name: ให้พิมพ์ V_z และในหน้าต่าง Sweep type เลือก Linear และกำหนดค่าดังนี้
 - Start value: $-400mV$, End value: $400mV$ และ Increase: $1mV$
- 4.4 ใช้ Current marker วัดกระแส i_x นั้นคือกระแสที่ไหลผ่าน R_x จากนั้นทำการรันโปรแกรม เพื่อจำลองการทำงานแล้วบันทึกผลลงในภาพที่ 1.16
- 4.5 จากผลการทดลองในภาพที่ 1.17 กระแส i_x มีการเปลี่ยนแปลงอย่างไรเมื่อเปลี่ยนแปลง V_z และขนาดของ V_z มีค่าเท่าไรเมื่อ i_x เท่ากับ I_{B2}



ภาพที่ 1.18 วงจรสำหรับการวัดทดสอบคุณลักษณะทางไฟฟาร์ของ CC-CDTA เมื่อทำงานทำงานในสภาวะอิมตัว

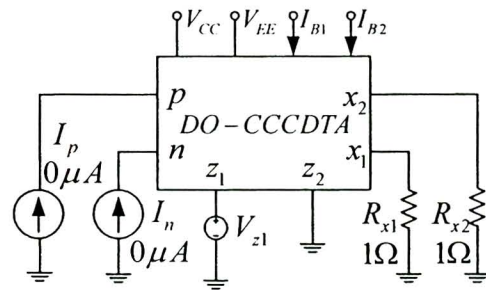
- 4.6 วัดตามภาพที่ 1.18 เพื่อวัดค่ากระแส i_x เมื่อมีการเปลี่ยนแปลงกระแสไบเออร์ I_{B2}
- 4.7 กำหนดค่าแรงดัน $V_p = V_n = 0V$ และ $V_z = 1V$
- 4.8 เลือกการวิเคราะห์วงจรแบบ DC sweep ที่ Primary sweep จะมีหน้าต่าง Sweep variable ให้เลือกที่ Current source ในช่อง Name: ให้พิมพ์ I_{B2} และในหน้าต่าง Sweep type เลือก Linear และกำหนดค่าดังนี้ Start value: $1mA$, End value: $1mA$ และ Increase: $100nA$
- 4.9 ใช้ Current marker วัดกระแส i_x หรือวัดกระแสที่โหลดผ่านตัวต้านทาน R_x ทำการรันโปรแกรมเพื่อจำลองการทำงาน
- 4.10 คำนวณกระแส i_x ($i_x = I_{B2}$) และนำค่าที่คำนวณได้พเลื่อต่องในภาพที่ 1.19 เพื่อเปรียบเทียบกับผลที่ได้จากการจำลอง



ภาพที่ 1.19 กระแส i_x เทียบกับกระแสไบเออร์ I_{B2}

4.11 เปรียบเทียบค่ากระแส i_x ที่ได้จากการจำลองกับค่าที่ได้จากการคำนวณ

ตอนที่ 5 การทดสอบคุณลักษณะของ DO-CCCDTA ที่ทำงานในสภาวะอิ่มตัว

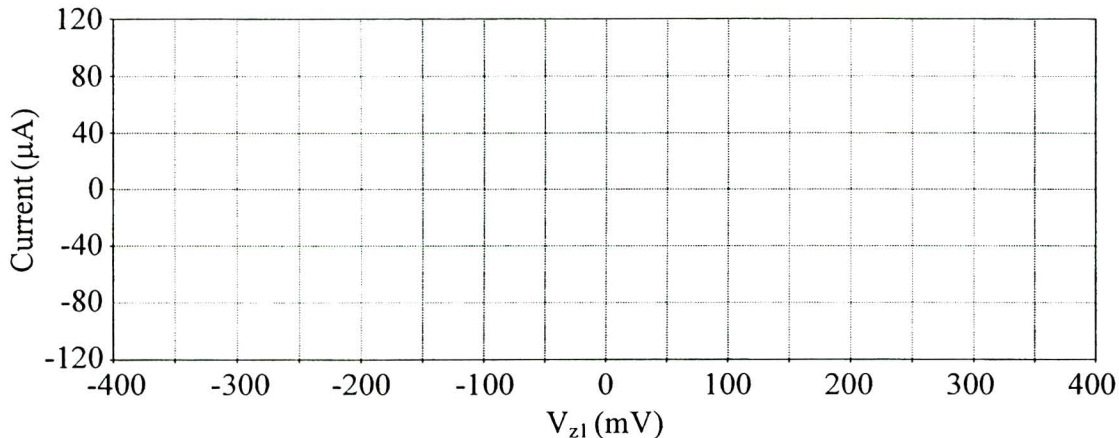


ภาพที่ 1.20 วงจรสำหรับการทดสอบเงื่อนไขของ DO-CCCDTA เพื่อทำงานในสภาวะอิ่มตัว

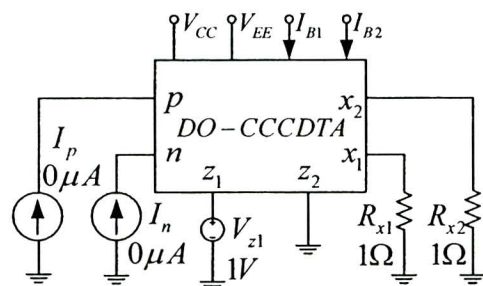
- 5.1 วางแผนตามภาพที่ 1.20 เพื่อทดสอบเงื่อนไขของ DO-CCCDTA เพื่อทำงานในสภาวะอิ่มตัว
 - 5.2 กำหนดค่าอุปกรณ์ในวงจรดังนี้ $V_{CC} = 3V$, $V_{EE} = -3V$, $I_{B1} = I_{B2} = 100\mu A$, $R_{x1} = 1\Omega$ และ $R_{x2} = 1\Omega$
 - 5.3 เลือกการวิเคราะห์วงจรแบบ DC sweep จากนั้นกำหนดค่าต่างๆ ดังนี้

ที่ Primary sweep จะมีหน้าต่าง Sweep variable ให้เลือกที่ Voltage source ในช่อง Name: ให้พิมพ์ V_{z1} และในหน้าต่าง Sweep type เลือก Linear แล้วกำหนดค่าดังนี้

Start value: $-400mV$, End value: $400mV$ และ Increase: $1mV$
 - 5.4 ใช้ Current marker วัดกระแส i_{x1} และ i_{x2} นั่นคือกระแสที่ไหลผ่าน R_{x1} และ R_{x2} ตามลำดับ จากนั้นทำการรันโปรแกรมเพื่อจำลองการทำงานแล้วบันทึกผลลงในภาพที่ 1.21
 - 5.5 จากผลการทดลองในภาพที่ 1.21 กระแส i_{x1} , i_{x2} มีการเปลี่ยนแปลงอย่างไรเมื่อเปลี่ยนแปลง V_z และขนาดของ V_z มีค่าเท่าไรเมื่อ i_{x1} , i_{x2} เท่ากับ I_{B2}
-
-
-
-
-

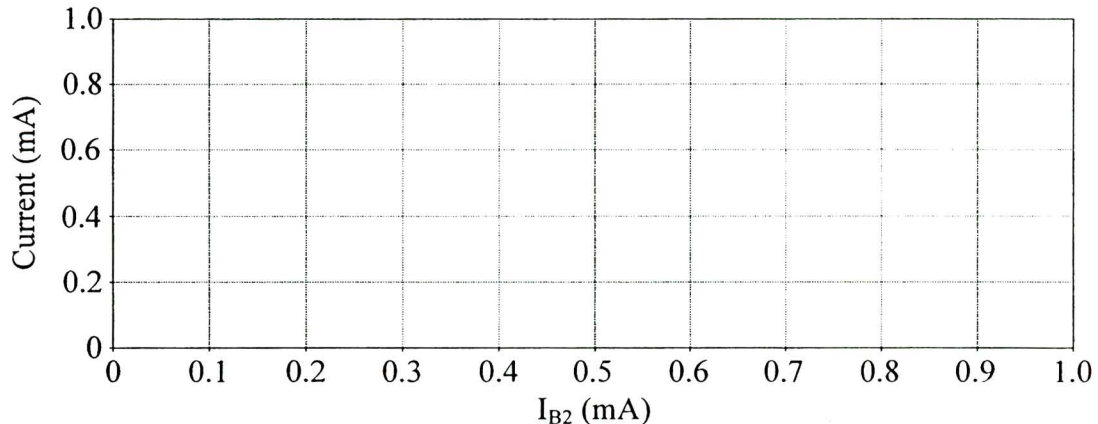


ภาพที่ 1.21 เสื่อนไขของ DO-CCCDTA เพื่อทำงานทำงานในสภาวะอิ่มตัว



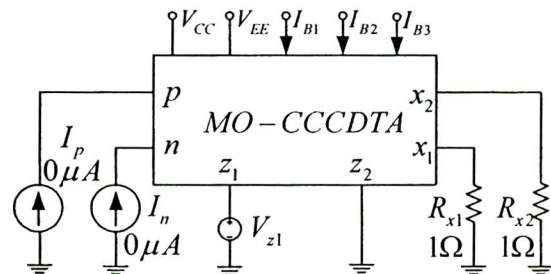
ภาพที่ 1.22 วงจรสำหรับการวัดทดสอบคุณลักษณะทางไฟฟาร์งของ CC-CDTA เมื่อทำงานในสภาวะอิ่มตัว

- 5.6 วัดวงจรตามภาพที่ 1.18 เพื่อวัดค่ากระแส i_{x1} , i_{x2} เมื่อมีการเปลี่ยนแปลงกระแสไบเออส I_{B2}
- 5.7 กำหนดค่าแรงดัน $I_p = I_n = 0\mu A$ $V_{z1} = 1V$ และ $V_{z2} = 0V$
- 5.8 เลือกการวิเคราะห์วงจรแบบ DC sweep ที่ Primary sweep จะมีหน้าต่าง Sweep variable ให้เลือกที่ Current source ในช่อง Name: ให้พิมพ์ I_{B2} และในหน้าต่าง Sweep type เลือก Linear แล้วกำหนดค่าดังนี้ Start value: $1nA$, End value: $1mA$ และ Increase: $100nA$
- 5.9 ใช้ Current marker วัดกระแส i_{x1} , i_{x2} หรือวัดกระแสที่โหลดผ่านตัวค้านทาน R_{x1} และ R_{x2} ตามลำดับทำการรันโปรแกรมเพื่อจำลองการทำงาน
- 5.10 คำนวณกระแส i_{x1} และ i_{x2} ($i_{x1} = i_{x2} = I_{B2}$) แล้วนำค่าที่คำนวณได้พล็อตลงในภาพที่ 1.23 เพื่อเปรียบเทียบกับผลที่ได้จากการจำลอง
- 5.11 เปรียบเทียบค่ากระแส i_{x1} , i_{x2} ที่ได้จากการจำลองกับค่าที่ได้จากการคำนวณ



ภาพที่ 1.23 กระแส i_{x1} , i_{x2} เทียบกับกระแสไบเออส I_{B2}

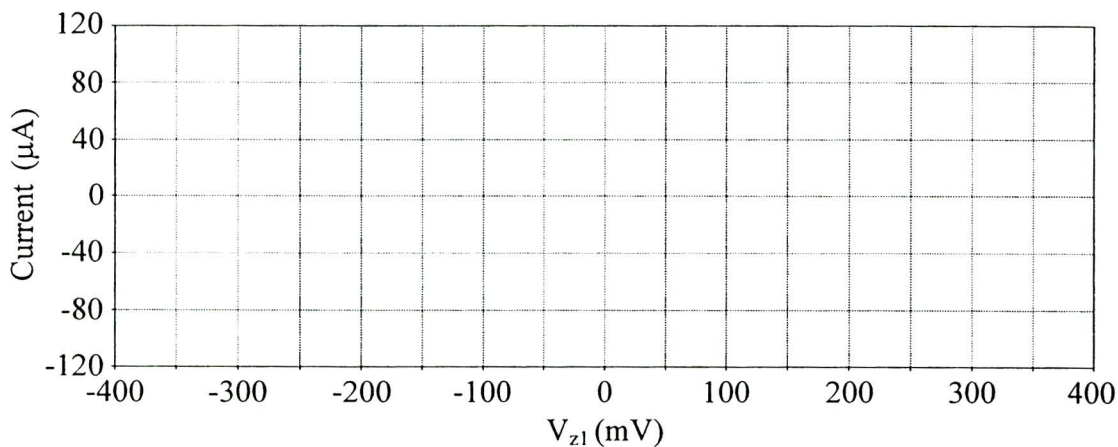
ตอนที่ 6 การทดสอบคุณลักษณะของ MO-CCCDTA ที่ทำงานในสภาพอิ่มตัว



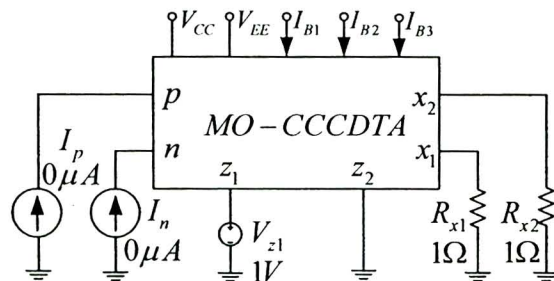
ภาพที่ 1.24 วงจรสำหรับการทดสอบเจื่อนไฟของ MO-CCCDTA เพื่อทำงานทำงานในสภาพอิ่มตัว

- 6.1 วิเคราะห์ตามภาพที่ 1.24 เพื่อทดสอบเจื่อนไฟของ MO-CCCDTA เพื่อทำงานทำงานในสภาพอิ่มตัว
- 6.2 กำหนดค่าอุปกรณ์ในวงจรสังนิช $V_{CC} = 3V$, $V_{EE} = -3V$, $I_{B1} = I_{B3} = 100\mu A$, $I_{B2} = 50\mu A$, $R_{x1} = 1\Omega$ และ $R_{x2} = 1\Omega$
- 6.3 เลือกวิเคราะห์วงจรแบบ DC sweep จากนั้นกำหนดค่าต่างๆ ดังนี้
 - ที่ Primary sweep จะมีหน้าต่าง Sweep variable ให้เลือกที่ Voltage source ในช่อง Name: ให้พิมพ์ V_{z1} และในหน้าต่าง Sweep type เลือก Linear และกำหนดค่าดังนี้ Start value: $-400mV$, End value: $400mV$ และ Increase: $1mV$
- 6.4 ใช้ Current marker วัดกระแส i_{x1} และ i_{x2} นั้นคือกระแสที่ไหลผ่าน R_{x1} และ R_{x2} ตามลำดับ จากนั้นทำการรันโปรแกรมเพื่อจำลองการทำงานแล้วบันทึกผลลงในภาพที่ 1.25

- 6.5 จากผลการทดลองในภาพที่ 1.25 กระแส i_{x_1} , i_{x_2} มีการเปลี่ยนแปลงอย่างไรเมื่อเปลี่ยนแปลง V_{z_1} และขนาดของ V_{z_1} มีค่าเท่าไรเมื่อ i_{x_1} และ i_{x_2} เท่ากับ I_{B2} และ I_{B3} ตามลำดับ



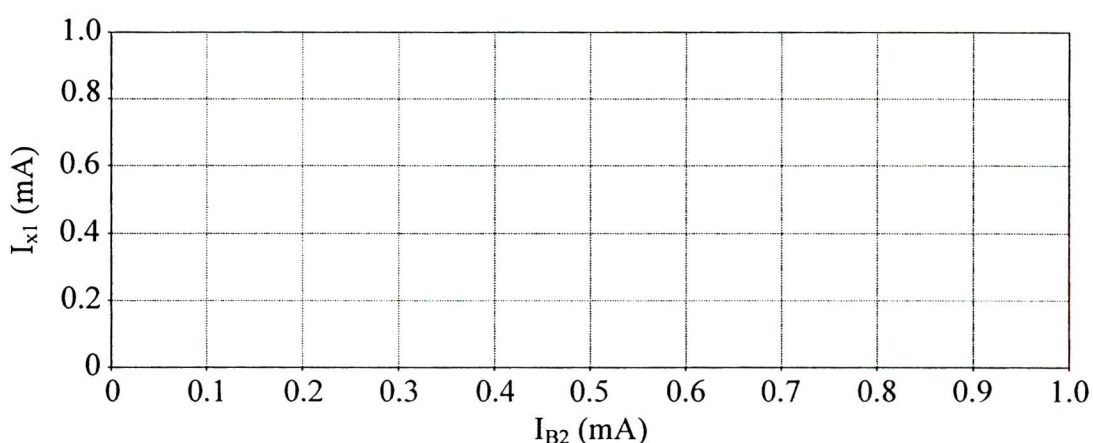
ภาพที่ 1.25 เส้นทางของ MO-CCCDTA เพื่อทำงานในสภาพอิ่มตัว



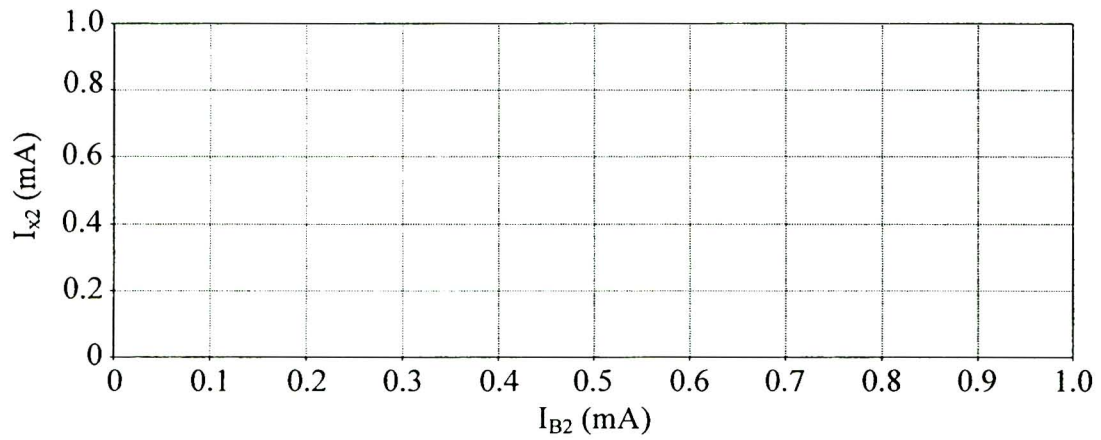
ภาพที่ 1.26 วงจรสำหรับการวัดทดสอบคุณลักษณะทางไฟฟาร์ของ MO-CCCDTA เมื่อทำงานในสภาพอิ่มตัว

- 6.6 วัดวงจรตามภาพที่ 1.26 เพื่อวัดค่ากระแส i_{x_1} และ i_{x_2} เมื่อมีการเปลี่ยนแปลงกระแสไบเออส I_{B2} และ I_{B3} ตามลำดับ
- 6.7 กำหนดค่าแรงดัน $I_p = I_n = 0\mu A$ $V_{z_1} = 1V$ และ $V_{z_2} = 0V$
- 6.8 เลือกการวิเคราะห์วงจรแบบ DC sweep

- 6.8.1 ที่ Primary sweep จะมีหน้าต่าง Sweep variable ให้เลือกที่ Current source ในช่อง Name: ให้พิมพ์ I_{B2} และในหน้าต่าง Sweep type เลือก Linear และกำหนดค่าดังนี้ Start value: $1mA$, End value: $1mA$ และ Increase: $100nA$
- 6.8.2 ใช้ Current marker วัดกระแส i_{x1} หรือวัดกระแสที่ไอลผ่านตัวต้านทาน R_{x1} ทำการรันโปรแกรมเพื่อจำลองการทำงาน
- 6.8.3 คำนวณกระแส i_{x1} ($i_{x1} = I_{B2}$) และนำค่าที่คำนวณได้เพล็อตลงในภาพที่ 1.27 เพื่อเปรียบเทียบกับผลที่ได้จากการจำลอง
- 6.8.4 ที่ Primary sweep จะมีหน้าต่าง Sweep variable ให้เลือกที่ Current source ในช่อง Name: ให้พิมพ์ I_{B3} และในหน้าต่าง Sweep type เลือก Linear และกำหนดค่าดังนี้ Start value: $1mA$, End value: $1mA$ และ Increase: $100nA$
- 6.8.5 ใช้ Current marker วัดกระแส i_{x2} หรือวัดกระแสที่ไอลผ่านตัวต้านทาน R_{x2} ทำการรันโปรแกรมเพื่อจำลองการทำงาน
- 6.8.6 คำนวณกระแส i_{x2} ($i_{x2} = I_{B3}$) และนำค่าที่คำนวณได้เพล็อตลงในภาพที่ 1.28 เพื่อเปรียบเทียบกับผลที่ได้จากการจำลอง
- 6.9 เปรียบเทียบค่ากระแส i_{x1} และ i_{x2} ที่ได้จากการจำลองกับค่าที่ได้จากการคำนวณ
-
.....
.....
.....
.....



ภาพที่ 1.27 กระแส i_{x1} เทียบกับกระแสไอลแอล I_{B2}



ภาพที่ 1.28 กระแส i_{x_2} เทียบกับกระแสในแอดส์ I_{B_3}

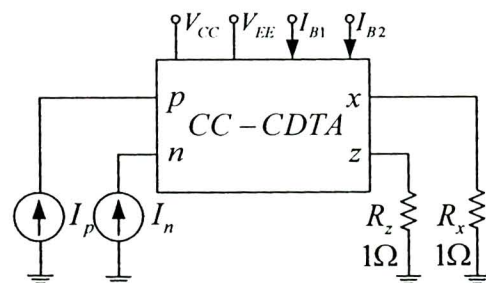
สรุปและอภิปรายผล

	CC-CDTA ที่ทำงานในช่วง อิมตัวและการประยุกต์ใช้งาน	เฉลยใบงานที่ 1 คุณลักษณะของ CC-CDTA ที่ทำงานในช่วงเชิงเส้นและ อิมตัว
---	--	---

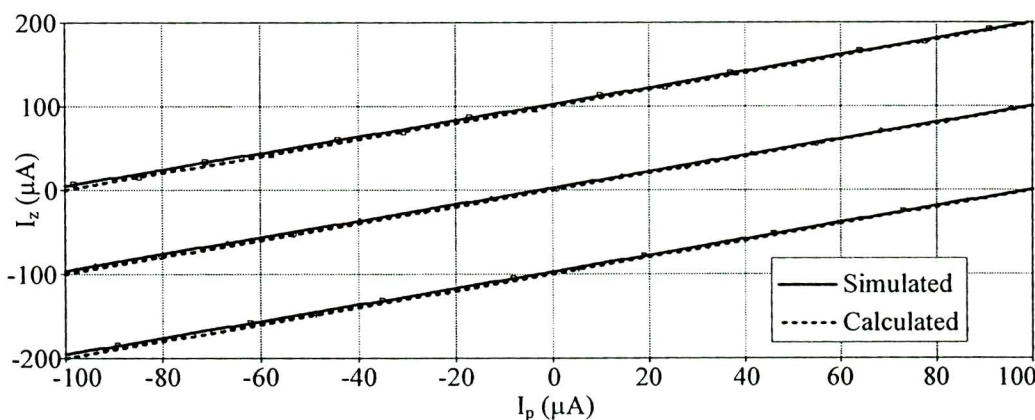
ขั้นตอนการทดลอง

ตอนที่ 1 การทดสอบคุณลักษณะของ CC-CDTA ที่ทำงานในช่วงเชิงเส้น

1.22 วัดวงจรตามภาพที่ 1.1 เพื่อทดสอบคุณลักษณะถ่ายโอนทางไฟตรง (DC characteristics) ของ CC-CDTA



ภาพที่ 1.1 วงจรสำหรับการทดสอบคุณลักษณะถ่ายโอนทางไฟตรงของ CC-CDTA

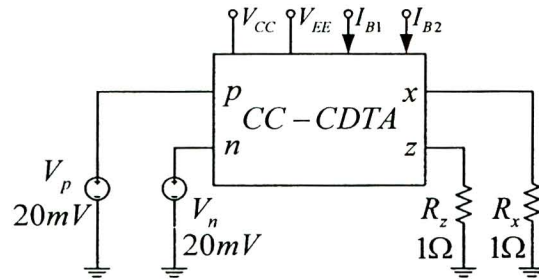


ภาพที่ 1.2 คุณลักษณะถ่ายโอนทางไฟตรง

1.23 กำหนดค่าอุปกรณ์ในวงจรดังนี้ $V_{CC} = 3V$, $V_{EE} = -3V$, $I_{B1} = I_{B2} = 100\mu A$ และ $R_z = R_x = 1\Omega$ โดยตัวด้านทันทีสองต่อมาเพื่อเป็นการให้กับวงจร

1.24 เลือกการวิเคราะห์วงจรแบบ DC sweep จากนั้นกำหนดค่าต่างๆ ดังนี้

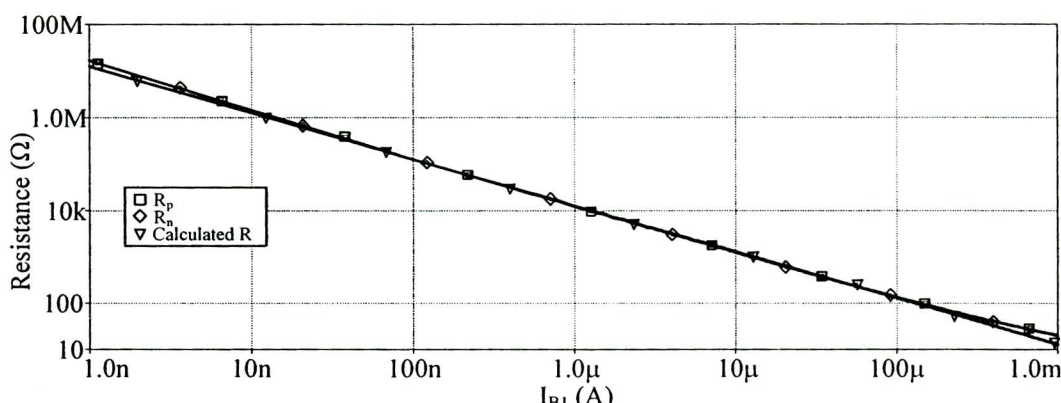
- 3.1.3 ที่ Primary sweep จะมีหน้าต่าง Sweep variable ให้เลือกที่ Current source ในช่อง Name: ให้พิมพ์ I_p และในหน้าต่าง Sweep type เลือก Linear แล้วกำหนดค่าดังนี้ Start value: $-100\mu A$, End value: $100\mu A$ และ Increase: $1\mu A$ ($I_n = 0\mu A$)
- 3.1.4 เลือกที่ Parametric sweep จะมีหน้าต่าง Sweep variable ให้เลือกที่ Current source ในช่อง Name: ให้พิมพ์ I_n และในหน้าต่าง Sweep type เลือก Value list แล้วพิมพ์ $-100\mu A, 0, 100\mu A$ ($I_p = 0\mu A$)
- 1.25 ใช้ Current marker วัดกระแส i_z นั้นคือกระแสที่ไหลผ่าน R_z จากนั้นทำการรันโปรแกรมเพื่อจำลองการทำงานแล้วบันทึกผลลงในภาพที่ 1.2
- 1.26 คำนวณกระแส i_z จากสมการที่ 1.1 และนำค่าที่คำนวณได้เพล็อตลงในภาพที่ 1.2 เพื่อเปรียบเทียบกับผลที่ได้จากการจำลอง
- 1.27 เปรียบเทียบค่ากระแส i_z ที่ได้จากการจำลองกับค่าที่ได้จากการคำนวณกระแส i_z ที่ได้จากการจำลองและการคำนวณมีค่าใกล้เคียงกัน ซึ่งกับสมการที่ (1.1) นั้นคือกระแส i_z ก็opl ต่างของกระแส i_p กับ i_n
- 1.28 วัดวงจรตามภาพที่ 1.3 เพื่อวัดค่าความด้านท่าน放ที่ขั้ว p และ n (R_p และ R_n) เมื่อมีการเปลี่ยนแปลงกระแสไบเออส I_{B1}



ภาพที่ 1.3 วงจรสำหรับการวัดค่าความด้านท่าน放

- 1.29 กำหนดค่าแรงดัน $V_p = V_n = 20mV$
- 1.30 เลือกการวิเคราะห์วงจรแบบ DC sweep ที่ Primary sweep จะมีหน้าต่าง Sweep variable ให้เลือกที่ Current source ในช่อง Name: ให้พิมพ์ I_{B1} และในหน้าต่าง Sweep type เลือก Linear แล้วกำหนดค่าดังนี้ Start value: $1nA$, End value: $1mA$ และ Increase: $100nA$
- 1.31 ใช้ Voltage marker วัดแรงดันที่ขั้ว p และ n (V_p และ V_n) ทำการรันโปรแกรมเพื่อจำลองการทำงาน

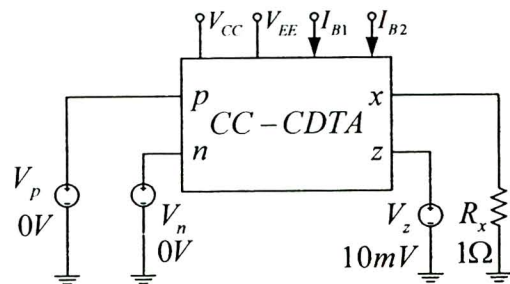
- 1.32 จากรวงจรในภาพที่ 1.3 ค่าความต้านทานของ R_p และ R_n ก็คือแรงดันที่ตกคร่อมที่ขั้ว p และ n หารด้วยกระแสที่ไหลเข้าที่ขั้วทั้งสอง นั่นก็คือ $R_p = V_p / (-I_{\nu_p})$ และ $R_n = V_n / (-I_{\nu_n})$ โดยที่กระแส I_{ν_p} จะเท่ากับกระแส i_p ส่วนกระแส I_{ν_n} จะเท่ากับกระแส i_n แต่ทิศทางของกระแสทั้งสองจะตรงข้ามกัน ดังนั้นเพื่อแสดงค่าความต้านทาน R_p และ R_n ที่หน้าต่างผลการรันหรือผลการจำลอง ให้นำค่าแรงดันที่ขั้ว p และ n หารด้วยกระแส $-I_{\nu_p}$ และ $-I_{\nu_n}$ ซึ่งทำได้โดยดับเบิลคลิกที่ตัวอักษร V(Vp:+) ที่อยู่ด้านล่างซ้ายของหน้าต่างผลการจำลองจะปรากฏหน้าต่าง Modify trace แล้วในช่อง Trace expression ให้พิมพ์ $(V(Vp:+) / (-I(Vp)))$ ทำเช่นเดียวกันเพื่อวัดค่าความต้านทาน R_n โดยการดับเบิลคลิกที่ตัวอักษร V(Vn:+) ที่อยู่ด้านล่างซ้ายของหน้าต่างผลการจำลองจะปรากฏหน้าต่าง Modify trace แล้วในช่อง Trace expression ให้พิมพ์ $(V(Vn:+) / (-I(Vn)))$
- 1.33 เนื่องจากค่าความต้านทาน R_p และ R_n มีค่าอยู่ในช่วง โอด์มถึงเมกะ โอด์ม (แสดงในแกน Y) เช่นเดียวกับค่ากระแสไบเออส I_{B1} ที่มีค่าอยู่ในช่วงนาโนแอมป์ถึงมิลิแอมป์ (แสดงในแกน X) ซึ่งการแสดงค่าดังกล่าวในสเกลแบบเชิงเส้นจึงไม่สามารถเห็นการเปลี่ยนแปลงของเส้นกราฟได้ ดังนั้นสเกลในแกน X และ Y จึงต้องเป็นสเกลแบบล็อก (Log) ซึ่งทำได้ดังนี้ ในหน้าต่างผลการจำลองให้เข้าไปที่เมนู Plot แล้วเลือกที่ Axis settings ก็จะปรากฏหน้าต่าง Axis settings คลิกที่ X Axis ที่ Scale ให้เลือก Log จากนั้นไปกำหนดแกน Y ด้วย ให้คลิกที่ Y Axis ที่ Scale ให้เลือก Log เช่นเดียวกับแกน X แล้วจึงเลือกตกลง ก็จะสามารถเห็นกราฟค่าความต้านทาน R_p และ R_n ได้ชัดเจนยิ่งขึ้น จากนั้นวาดกราฟดังกล่าวลงในภาพที่ 1.4
- 1.34 คำนวณค่าความต้านทาน R_p และ R_n ($R_p = R_n = V_T / 2I_{B1}$) จากสมการที่ 1.2 แล้วนำค่าที่คำนวณได้พล็อตลงในภาพที่ 1.4 เพื่อเปรียบเทียบกับผลที่ได้จากการจำลอง



ภาพที่ 1.4 ความต้านทาน R_p และ R_n เทียบกับกระแสไบเออส I_{B1}

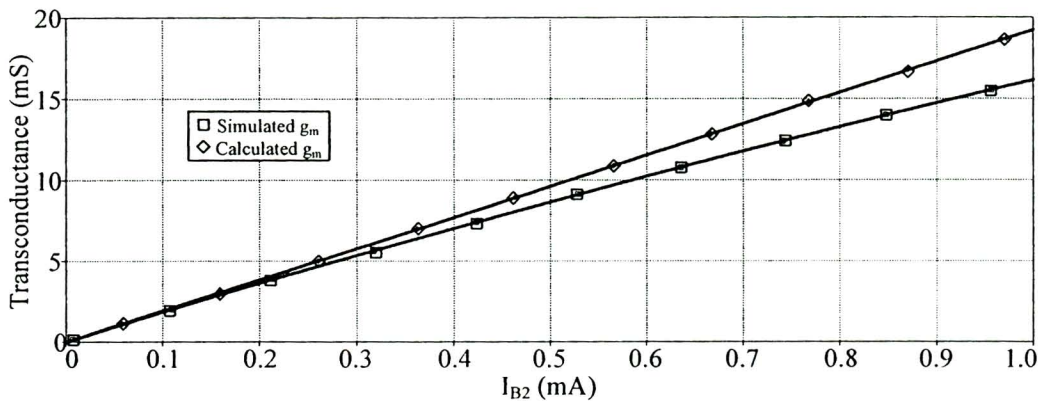
- 1.35 เปรียบเทียบค่าความต้านทาน R_p และ R_n ที่ได้จากการจำลองกับค่าที่ได้จากการคำนวณ

ค่าความต้านทาน R_p และ R_n ที่ได้จากการจำลองและการคำนวณมีค่าใกล้เคียงกัน ซึ่งสอดคล้องกับสมการที่ (1.2) นั้นคือ สามารถปั้นค่า R_p และ R_n ได้ด้วย I_{B1}



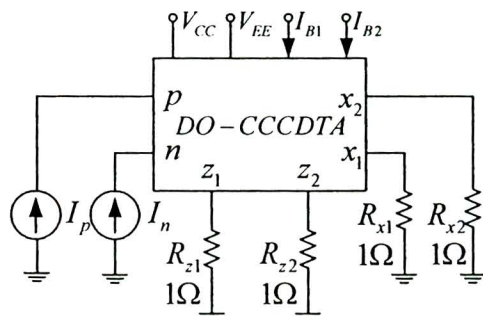
ภาพที่ 1.5 วงจรสำหรับการวัดค่าความนำถ่ายโอนของ CC-CDTA

- 1.36 วัดวงจรตามภาพที่ 1.5 เพื่อวัดค่าความนำถ่ายโอน (g_m) เมื่อมีการเปลี่ยนแปลงกระแสใบแอส I_{B2}
- 1.37 กำหนดค่าแรงดัน $V_p = V_n = 0V$ และ $V_z = 10mV$
- 1.38 เลือกการวิเคราะห์วงจรแบบ DC sweep ที่ Primary sweep จะมีหน้าต่าง Sweep variable ให้เลือกที่ Current source ในช่อง Name: ให้พิมพ์ I_{B2} และในหน้าต่าง Sweep type เลือก Linear และกำหนดค่าดังนี้ Start value: $1mA$, End value: $1mA$ และ Increase: $100nA$
- 1.39 ใช้ Current marker วัดกระแส i_x หรือวัดกระแสที่ไหลผ่านตัวต้านทาน R_x ทำการรันโปรแกรมเพื่อจำลองการทำงาน
- 1.40 จากสมการที่ 1.1 ค่า g_m คือกระแส i_x หารด้วยแรงดัน V_z ดังนี้เพื่อแสดงค่า g_m ที่หน้าต่างผลผลการจำลอง ให้นำค่ากระแส i_x หรือกระแสที่ไหลผ่าน R_x (I_{Rx}) หารด้วย V_z ซึ่งทำได้โดยดับเบิลคลิกที่ตัวอักษร $I(Rx)$ ที่อยู่ด้านล่างซ้ายของหน้าต่างผลการจำลองจะปรากฏหน้าต่าง Modify trace และในช่อง Trace expression ให้พิมพ์ $(-I(Rx) / V(Vz:+))$ วาดกราฟความนำถ่ายโอนลงในภาพที่ 1.6
- 1.41 คำนวณค่าความนำถ่ายโอน ($g_m = I_{B2} / 2V_T$) จากสมการที่ 1.3 และนำค่าที่คำนวณได้พเล็ตลงในภาพที่ 1.6 เพื่อเปรียบเทียบกับผลที่ได้จากการจำลอง



ภาพที่ 1.6 ความนำถ่ายโอน (g_m) เทียบกับกระแสไบแอส I_{B2}

1.42 เปรียบเทียบค่าความนำถ่ายโอนที่ได้จากการจำลองกับค่าที่ได้จากการคำนวณ
ค่าความนำถ่ายโอนที่ได้จากการจำลองและการคำนวณมีต่างกันมากขึ้นตามค่า I_{B2} แต่ค่าความ
นำถ่ายโอนคงที่ยังสามารถอธิบายได้ด้วย I_{B2} ซึ่งสอดคล้องกับสมการที่ (1.3)



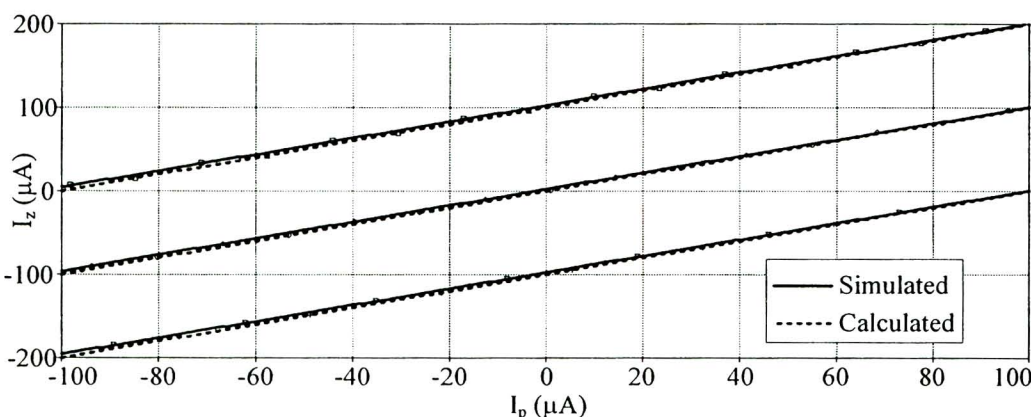
ภาพที่ 1.7 วงจรสำหรับการทดสอบคุณลักษณะถ่ายโอนทางไฟตรงของ DO-CCCDTA

ตอนที่ 2 การทดสอบคุณลักษณะของ DO-CCCDTA ที่ทำงานในช่วงเชิงเส้น

13. วัดวงจรตามภาพที่ 1.7 เพื่อทดสอบคุณลักษณะถ่ายโอนทางไฟตรง (DC characteristic) ของ DO-CCCDTA
14. กำหนดค่าอุปกรณ์ในวงจรดังนี้ $V_{CC} = 3V$, $V_{EE} = -3V$, $I_{B1} = I_{B2} = 100\mu A$ และ $R_{z1} = R_{z2} = 1\Omega$ และ $R_{x1} = R_{x2} = 1\Omega$
15. เลือกการวิเคราะห์วงจรแบบ DC sweep จากนั้นกำหนดค่าต่างๆ ดังนี้
 - 24.1.3 ที่ Primary sweep จะมีหน้าต่าง Sweep variable ให้เลือกที่ Current source ในช่อง Name: ให้พิมพ์ I_p และในหน้าต่าง Sweep type เลือก Linear และกำหนดค่าดังนี้ Start value: $-100\mu A$, End value: $100\mu A$ และ Increase: $1\mu A$ ($I_n = 0\mu A$)

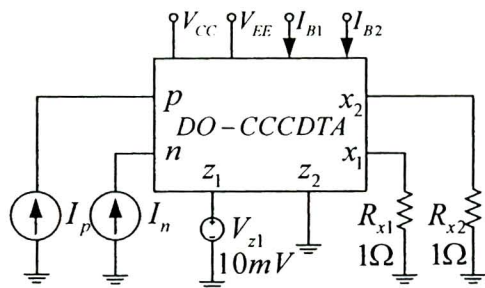
24.1.4 เลือกที่ Parametric sweep จะมีหน้าต่าง Sweep variable ให้เลือกที่ Current source ในช่อง Name: ให้พิมพ์ In และในหน้าต่าง Sweep type เลือก Value list แล้วพิมพ์ $-100\mu A, 0, 100\mu A$ ($I_p = 0\mu A$)

16. ใช้ Current marker วัดกระแส i_{z1} และ i_{z2} นั่นคือกระแสที่ไหลผ่าน R_{z1} และ R_{z2} จากนั้นทำการรันโปรแกรมเพื่อจำลองการทำงานแล้วบันทึกผลลงในภาพที่ 1.8
17. คำนวณกระแส i_{z1} และ i_{z2} ($i_{z1} = i_{z2} = i_p - i_n$) จากสมการที่ 1.1 แล้วนำค่าที่คำนวณได้พล็อตลงในภาพที่ 1.8 เพื่อเปรียบเทียบกับผลที่ได้จากการจำลอง



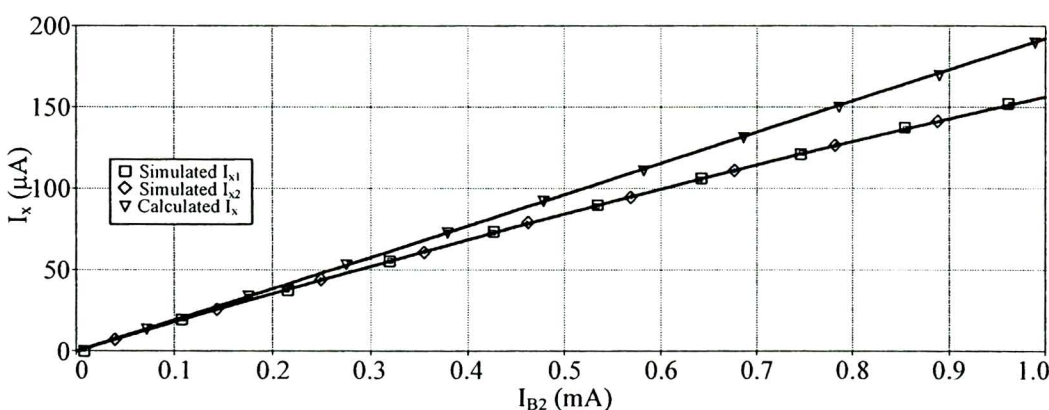
ภาพที่ 1.8 คุณลักษณะถ่ายโอนทางไฟตรงของ DO-CCCDTA

18. เปรียบเทียบค่ากระแส i_{z1}, i_{z2} ที่ได้จากการจำลองกับค่าที่ได้จากการคำนวณค่ากระแส i_{z1}, i_{z2} ที่ได้จากการจำลองและการคำนวณมีค่าใกล้เคียงกัน นั่นคือ i_{z1}, i_{z2} มีค่าเท่ากันและเป็นผลต่างของกระแส i_p กับ i_n
19. วัดวงจรตามภาพที่ 1.9 เพื่อวัดกระแสที่ขั้ว x_1 และ x_2 เมื่อมีการเปลี่ยนแปลงกระแสไนแอส I_{B2}
20. กำหนดค่าแรงดัน $I_p = I_n = 0A$ และ $V_{z1} = 10mV$
21. เลือกการวิเคราะห์วงจรแบบ DC sweep ที่ Primary sweep จะมีหน้าต่าง Sweep variable ให้เลือกที่ Current source ในช่อง Name: ให้พิมพ์ I_{B2} และในหน้าต่าง Sweep type เลือก Linear แล้วกำหนดค่าดังนี้ Start value: $1mA$, End value: $1mA$ และ Increase: $100nA$



ภาพที่ 1.9 วงจรสำหรับการวัดกระแสที่ขั้ว x_1 และ x_2

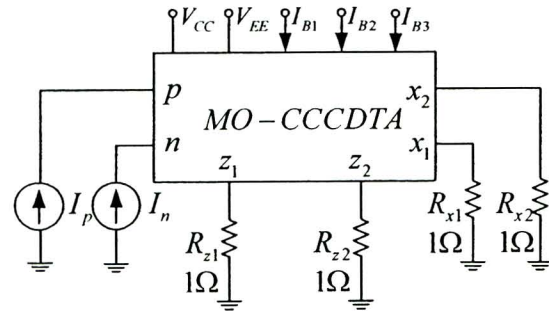
22. ใช้ Current marker วัดกระแส i_{x1} และ i_{x2} หรือวัดกระแสที่��体质子ผ่านด้านหน้า R_{x1} และ R_{x2} ตามลำดับ แล้วทำการรันโปรแกรมเพื่อจำลองการทำงานบันทึกผลลงในภาพที่ 1.10
23. คำนวณกระแส i_{x1} และ i_{x2} ($i_{x1} = i_{x2} = g_m V_{z1}$) เมื่อ $g_m = I_{B2} / 2V_T$ แล้วนำค่าที่คำนวณได้ พล็อตลงในภาพที่ 1.10 เพื่อเปรียบเทียบกับผลที่ได้จากการจำลอง
24. เปรียบเทียบค่ากระแส i_{x1} , i_{x2} ที่ได้จากการจำลองกับค่าที่ได้จากการคำนวณ ค่ากระแส i_{x1} , i_{x2} ที่ได้จากการจำลองและการคำนวณมีความต่างกันมากขึ้นตามค่าของ I_{B2} แต่ i_{x1} , i_{x2} ยังคงสามารถควบคุมได้ด้วย I_{B2}



ภาพที่ 1.10 กระแส i_{x1} , i_{x2} เทียบกับกระแสไบเออร์ I_{B2}

ตอนที่ 3 การทดสอบคุณลักษณะของ MO-CCCDTA ที่ทำงานในช่วงเชิงเส้น

- 3.19 วัดวงจรตามภาพที่ 1.11 เพื่อทดสอบคุณลักษณะถ่ายโอนทางไฟฟ้า (DC characteristic) ของ MO-CCCDTA



ภาพที่ 1.11 วงจรสำหรับการทดสอบคุณลักษณะถ่ายโอนทางไฟตรงของ MO-CCCDTA

3.20 กำหนดค่าอุปกรณ์ในวงจรดังนี้ $V_{CC} = 3V$, $V_{EE} = -3V$, $I_{B1} = I_{B2} = I_{B3} = 100\mu A$ และ $R_{z1} = R_{z2} = 1\Omega$ และ $R_{x1} = R_{x2} = 1\Omega$

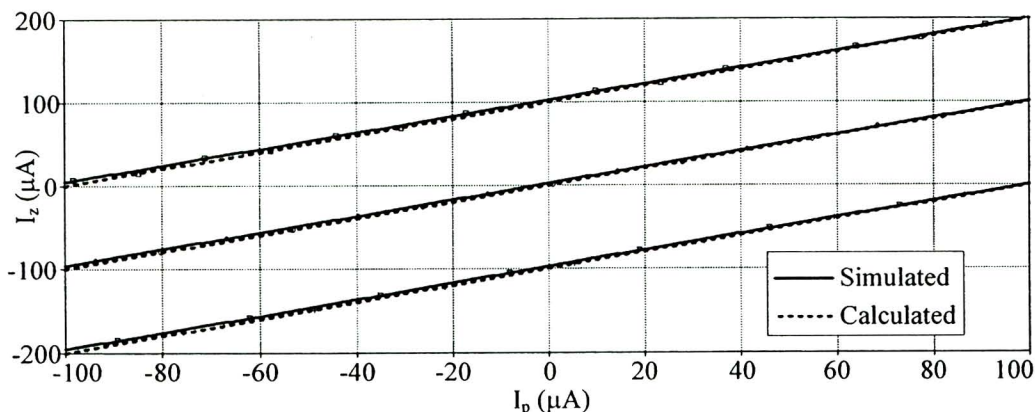
3.21 เลือกการวิเคราะห์วงจรแบบ DC sweep จากนั้นกำหนดค่าต่างๆ ดังนี้

36.3 ที่ Primary sweep จะมีหน้าต่าง Sweep variable ให้เลือกที่ Current source ในช่อง Name: ให้พิมพ์ I_p และในหน้าต่าง Sweep type เลือก Linear และกำหนดค่าดังนี้ Start value: $-100\mu A$, End value: $100\mu A$ และ Increase: $1\mu A$

36.4 เลือกที่ Parametric sweep จะมีหน้าต่าง Sweep variable ให้เลือกที่ Current source ในช่อง Name: ให้พิมพ์ I_n และในหน้าต่าง Sweep type เลือก Value list และพิมพ์ $-100\mu A, 0, 100\mu A$

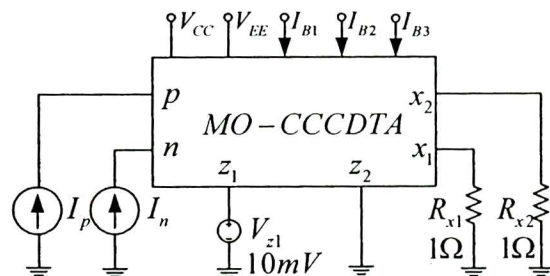
3.22 ใช้ Current marker วัดกระแส i_{z1} และ i_{z2} นั่นก็คือกระแสที่ไหลผ่าน R_{z1} และ R_{z2} จากนั้นทำการรันโปรแกรมเพื่อจำลองการทำงานแล้วบันทึกผลลงในภาพที่ 1.12

3.23 คำนวณกระแส i_{z1} และ i_{z2} ($i_{z1} = i_{z2} = i_p - i_n$) จากสมการที่ 1.4 และนำค่าที่คำนวณได้เพลิดลงในภาพที่ 1.12 เพื่อเปรียบเทียบกับผลที่ได้จากการจำลอง



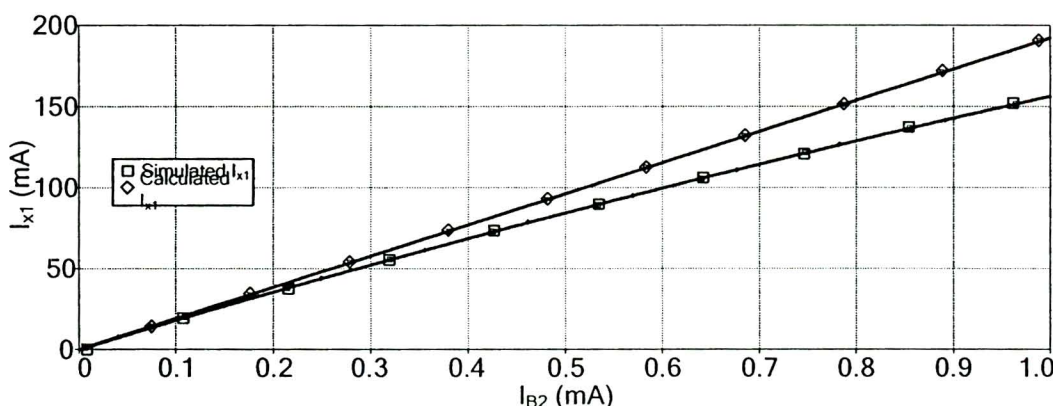
ภาพที่ 1.12 คุณลักษณะถ่ายโอนทางไฟตรงของ MO-CCCDTA

- 3.24 เปรียบเทียบค่ากระแส i_{z1} , i_{z2} ที่ได้จากการจำลองกับค่าที่ได้จากการคำนวณ
ค่ากระแส i_{z1} , i_{z2} ที่ได้จากการจำลองและการคำนวณมีค่าใกล้เคียงกัน นั่นคือ i_{z1} , i_{z2} มีค่า
เท่ากันและเป็นผลต่างของกระแส i_p กับ i_n



ภาพที่ 1.13 วงจรสำหรับการวัดกระแสที่ขั้ว x_1 เมื่อมีการเปลี่ยนแปลงกระแสไบเออส I_{B2}

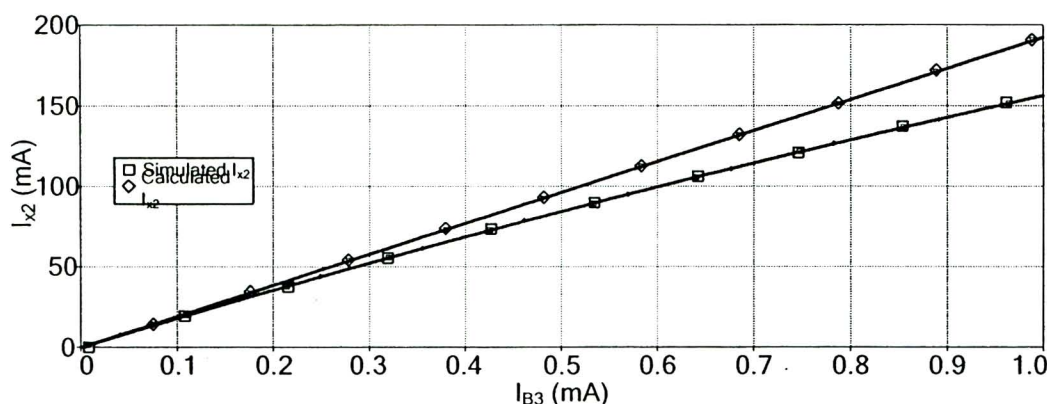
- 3.25 วางแผนตามภาพที่ 1.13 เพื่อวัดกระแสที่ขั้ว x_1 เมื่อมีการเปลี่ยนแปลงกระแสไบเออส I_{B2}
- 3.26 กำหนดค่าแรงดัน $I_p = I_n = 0A$ และ $V_{z1} = 10mV$
- 3.27 เลือกการวิเคราะห์วงจรแบบ DC sweep ที่ Primary sweep จะมีหน้าต่าง Sweep variable ให้เลือกที่ Current source ในช่อง Name: ให้พิมพ์ I_{B2} และในหน้าต่าง Sweep type เลือก Linear แล้วกำหนดค่าดังนี้ Start value: $1mA$, End value: $1mA$ และ Increase: $100nA$
- 3.28 ใช้ Current marker วัดกระแส i_{x1} หรือวัดกระแสที่ไหลผ่านตัวต้านทาน R_{x1} แล้วทำการรันโปรแกรมเพื่อจำลองการทำงานบันทึกผลลงในภาพที่ 1.14
- 3.29 คำนวณกระแส i_{x1} ($i_{x1} = g_{m1}V_{z1}$) เมื่อ $g_{m1} = I_{B2}/2V_T$ แล้วนำค่าที่คำนวณได้พิสูจน์ลงในภาพที่ 1.14 เพื่อเปรียบเทียบกับผลที่ได้จากการจำลอง



ภาพที่ 1.14 กระแส i_{x1} เทียบกับกระแสไบเออส I_{B2}

3.30 เปรียบเทียบค่ากระแส i_{x_1} ที่ได้จากการจำลองกับค่าที่ได้จากการคำนวณ
ค่ากระแส i_{x_1} ที่ได้จากการจำลองและการคำนวณมีความต่างกันมากขึ้นตามค่าของ I_{B2} แต่ i_{x_1}
ยังคงสามารถควบคุมได้ด้วย I_{B2}

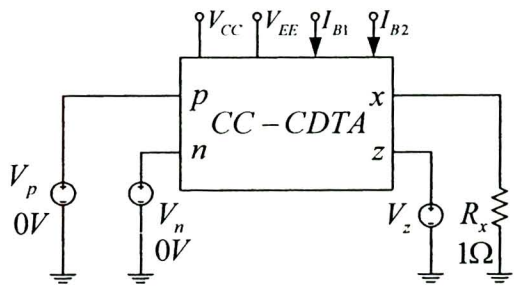
- 3.31 วัดวงจรตามภาพที่ 1.13 เพื่อวัดกระแสที่ขั้ว x_2 เมื่อมีการเปลี่ยนแปลงกระแสไบเออส I_{B3}
- 3.32 กำหนดค่าแรงดัน $I_p = I_n = 0.4$ และ $V_{z1} = 10mV$
- 3.33 เลือกวิเคราะห์วงจรแบบ DC sweep ที่ Primary sweep จะมีหน้าต่าง Sweep variable ให้เลือกที่ Current source ในช่อง Name: ให้พิมพ์ I_{B3} และในหน้าต่าง Sweep type เลือก Linear แล้วกำหนดค่าดังนี้ Start value: $1nA$, End value: $1mA$ และ Increase: $100nA$
- 3.34 ใช้ Current marker วัดกระแส i_{x_2} หรือวัดกระแสที่ไอล์ฟ์ตันด้านหน้า R_{x_2} แล้วทำการรันโปรแกรมเพื่อจำลองการทำงานบันทึกผลลงในภาพที่ 1.15
- 3.35 คำนวณกระแส i_{x_2} ($i_{x_2} = g_{m2}V_{z1}$) เมื่อ $g_{m2} = I_{B3}/2V_T$ และนำค่าที่คำนวณได้เพล็อตลงในภาพที่ 1.15 เพื่อเปรียบเทียบกับผลที่ได้จากการจำลอง
- 3.36 เปรียบเทียบค่ากระแส i_{x_2} ที่ได้จากการจำลองกับค่าที่ได้จากการคำนวณ
ค่ากระแส i_{x_2} ที่ได้จากการจำลองและการคำนวณมีความต่างกันมากขึ้นตามค่าของ I_{B3} แต่ i_{x_2}
ยังคงสามารถควบคุมได้ด้วย I_{B3}



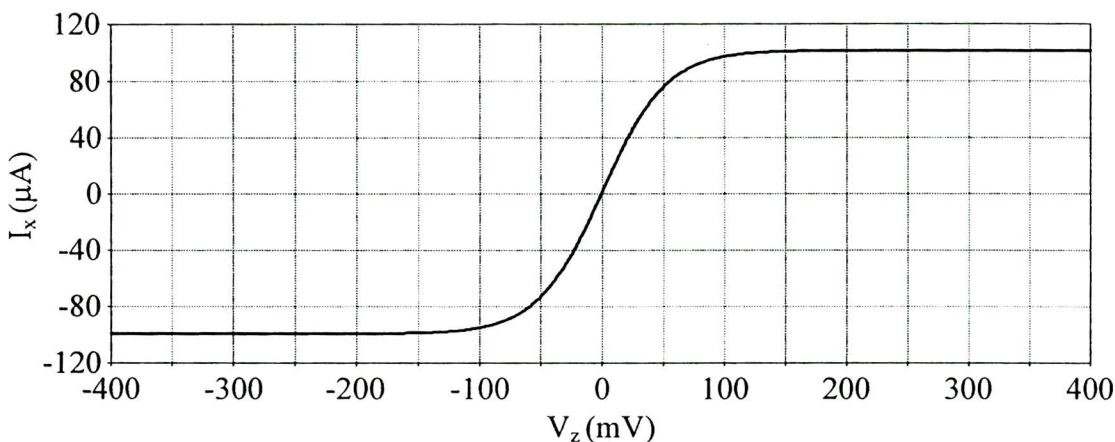
ภาพที่ 1.15 กระแส i_{x_2} เทียบกับกระแสไบเออส I_{B3}

ตอนที่ 4 การทดสอบคุณลักษณะของ CC-CDTA ที่ทำงานในสภาวะอิมตัว

- 4.12 วัดวงจรตามภาพที่ 1.16 เพื่อทดสอบเงื่อนไขของ CC-CDTA เพื่อทำงานในสภาวะอิมตัว



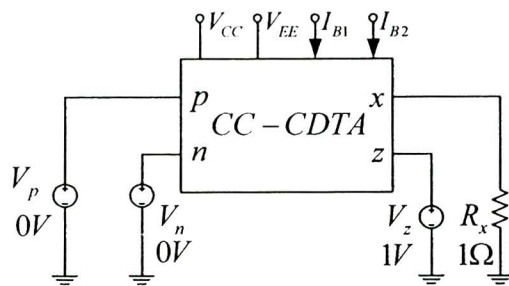
ภาพที่ 1.16 วงจรสำหรับการทดสอบเงื่อนไขของ CC-CDTA เพื่อทำงานในสภาวะอิ่มตัว



ภาพที่ 1.17 เงื่อนไขของ CC-CDTA เพื่อทำงานในสภาวะอิ่มตัว

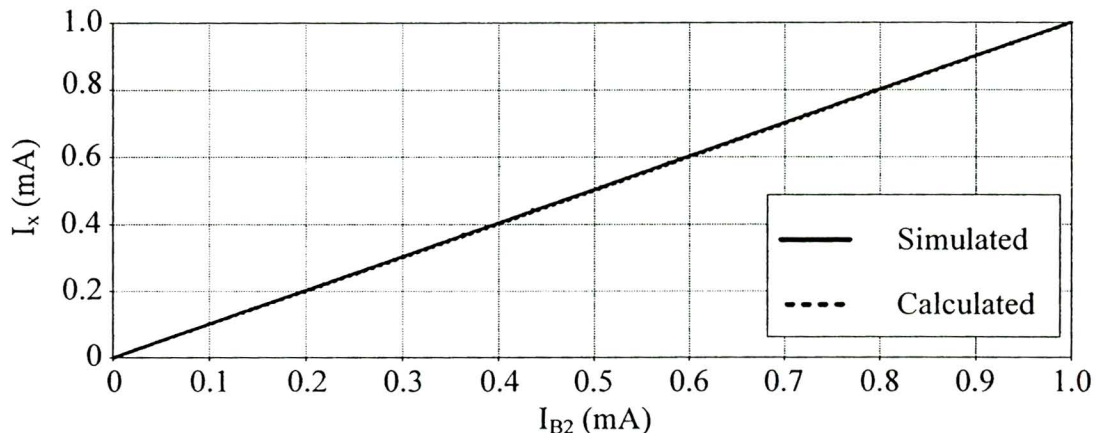
- 4.13 กำหนดค่าอุปกรณ์ในวงจรดังนี้ $V_{CC} = 3V$, $V_{EE} = -3V$, $I_{B1} = I_{B2} = 100\mu A$ และ $R_x = 1\Omega$
- 4.14 เลือกการวิเคราะห์วงจรแบบ DC sweep จากนั้นกำหนดค่าต่างๆ ดังนี้
 - ที่ Primary sweep จะมีหน้าต่าง Sweep variable ให้เลือกที่ Voltage source ในช่อง Name: ให้พิมพ์ V_z และในหน้าต่าง Sweep type เลือก Linear แล้วกำหนดค่าดังนี้
 - Start value: $-400mV$, End value: $400mV$ และ Increase: $1mV$
- 4.15 ใช้ Current marker วัดกระแส i_x นั้นคือกระแสที่ไหลผ่าน R_x จากนั้นทำการรันโปรแกรม เพื่อจำลองการทำงานแล้วบันทึกผลลงในภาพที่ 1.16
- 4.16 จากผลการทดลองในภาพที่ 1.17 กระแส i_x มีการเปลี่ยนแปลงอย่างไรเมื่อเปลี่ยนแปลง V_z และขนาดของ V_z มีค่าเท่าไรเมื่อ i_x เท่ากับ I_{B2}
 - ขนาดของกระแส i_x มีการเปลี่ยนแปลงไปตาม V_z : ซึ่งมี 3 ช่วงด้วยกันคือ ช่วงที่ 1 เป็นการทำงานเป็นเชิงเส้นอยู่ระหว่าง V_z มีค่า $-30mV$ ถึง $30mV$ ขนาดของกระแส i_x จะมีค่าเท่ากับ

$g_m V_z$ ช่วงที่ 2 เป็นช่วงที่ทำงานไม่เป็นเชิงเส้นอยู่ระหว่าง V_z มีค่า $-40mV$ ถึง $-160mV$ และ $40mV$ ถึง $160mV$ ขนาดของกระแส i_x จะมีค่าเท่ากับ $I_{B2} \tanh\left(\frac{V_z}{2V_T}\right)$ ช่วงที่ 3 เป็นช่วงที่ทำงานสภาวะอิมตัว อยู่ระหว่าง V_z มีค่าตั้งแต่ $-160mV$ และ $160mV$ เป็นต้นไป ขนาดของกระแส i_x จะมีค่าเท่ากับ I_{B2}



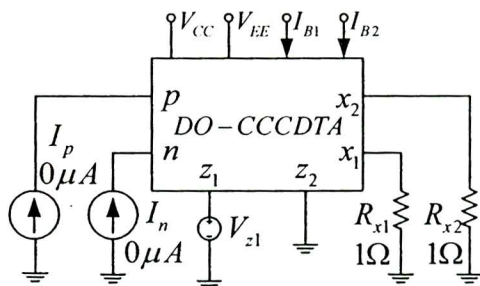
ภาพที่ 1.18 วงจรสำหรับการวัดทดสอบคุณลักษณะทางไฟฟาร์ของ CC-CDTA เมื่อทำงานในสภาวะอิมตัว

- 4.17 วิเคราะห์ตามภาพที่ 1.18 เพื่อวัดค่ากระแส i_x เมื่อมีการเปลี่ยนแปลงกระแสไบเอส I_{B2}
- 4.18 กำหนดค่าแรงดัน $V_p = V_n = 0V$ และ $V_z = 1V$
- 4.19 เลือกวิเคราะห์แบบ DC sweep ที่ Primary sweep จะมีหน้าต่าง Sweep variable ให้เลือกที่ Current source ในช่อง Name: ให้พิมพ์ I_{B2} และในหน้าต่าง Sweep type เลือก Linear และกำหนดค่าดังนี้ Start value: $1nA$, End value: $1mA$ และ Increase: $100nA$
- 4.20 ใช้ Current marker วัดกระแส i_x หรือวัดกระแสที่โหลดผ่านตัวค้านทาน R_x ทำการรันโปรแกรมเพื่อจำลองการทำงาน
- 4.21 คำนวณกระแส i_x ($i_x = I_{B2}$) และนำค่าที่คำนวณได้พเล็ตลงในภาพที่ 1.19 เพื่อเปรียบเทียบกับผลที่ได้จากการจำลอง
- 4.22 เปรียบเทียบค่ากระแส i_x ที่ได้จากการจำลองกับค่าที่ได้จากการคำนวณค่ากระแส i_x ที่ได้จากการจำลองและการคำนวณมีค่าใกล้เคียงกัน นั่นคือ i_x มีค่าเท่ากับ I_{B2}



ภาพที่ 1.19 กระแส i_x เทียบกับกระแสไนแอส I_{B2}

ตอนที่ 5 การทดสอบคุณลักษณะของ DO-CCCDTA ที่ทำงานในสภาวะอิ่มตัว

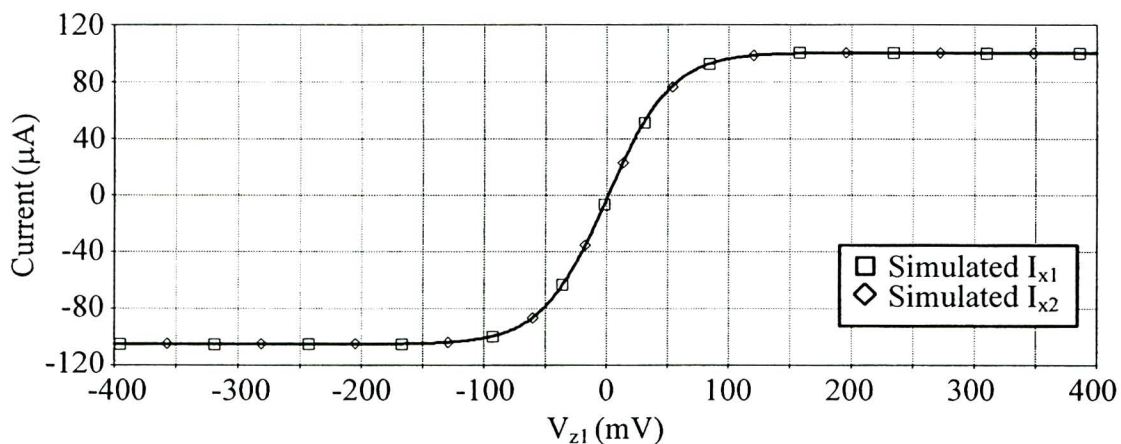


ภาพที่ 1.20 วงจรสำหรับการทดสอบเงื่อนไขของ DO-CCCDTA เพื่อทำงานในสภาวะอิ่มตัว

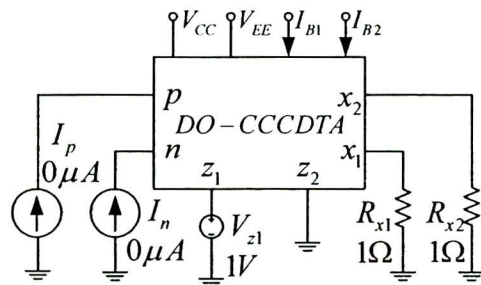
- 5.12 วิเคราะห์จากภาพที่ 1.20 เพื่อทดสอบเงื่อนไขของ DO-CCCDTA เพื่อทำงานในสภาวะอิ่มตัว
- 5.13 กำหนดค่าอุปกรณ์ในวงจรดังนี้ $V_{CC} = 3V$, $V_{EE} = -3V$, $I_{B1} = I_{B2} = 100\mu A$, $R_{x1} = 1\Omega$ และ $R_{x2} = 1\Omega$
- 5.14 เลือกวิเคราะห์แบบ DC sweep จากนั้นกำหนดค่าต่างๆ ดังนี้
- ที่ Primary sweep จะมีหน้าต่าง Sweep variable ให้เลือกที่ Voltage source ในช่อง Name: ให้พิมพ์ V_{z1} และในหน้าต่าง Sweep type เลือก Linear และกำหนดค่าดังนี้
- Start value: $-400mV$, End value: $400mV$ และ Increase: $1mV$

- 5.15 ใช้ Current marker วัดกระแส i_{x1} และ i_{x2} นั่นคือกระแสที่ไหลผ่าน R_{x1} และ R_{x2} ตามลำดับ จากนั้นทำการรันโปรแกรมเพื่อข้อมูลการทำงานแล้วบันทึกผลลงในภาพที่ 1.21
- 5.16 จากผลการทดลองในภาพที่ 1.21 กระแส i_{x1} , i_{x2} มีการเปลี่ยนแปลงอย่างไรเมื่อเปลี่ยนแปลง V_z และขนาดของ V_z มีค่าเท่าไรเมื่อ i_{x1} , i_{x2} เท่ากับ I_{B2}

ขนาดของกระแส i_{x1}, i_{x2} มีค่าเท่ากันและมีการเปลี่ยนแปลงไปตาม V_z : ช่วงที่ 3 ช่วงด้วยกันคือ ช่วงที่ 1 เป็นการทำงานเป็นเชิงเส้นอยู่ระหว่าง V_z มีค่า $-30mV$ ถึง $30mV$ ขนาดของกระแส i_{x1}, i_{x2} จะมีค่าเท่ากับ $g_m V_{z1}$ ช่วงที่ 2 เป็นช่วงที่ทำงานไม่เป็นเชิงเส้นอยู่ระหว่าง V_z มีค่า $-40mV$ ถึง $-160mV$ และ $40mV$ ถึง $160mV$ ขนาดของกระแส i_{x1}, i_{x2} จะมีค่าเท่ากับ $I_{B2} \tanh\left(\frac{V_{z1}}{2V_T}\right)$ ช่วงที่ 3 เป็นช่วงที่ทำงานสภาวะอิมตัว อยู่ระหว่าง V_z มีค่าตั้งแต่ $-160mV$ และ $160mV$ เป็นต้นไป ขนาดของกระแส i_{x1}, i_{x2} จะมีค่าเท่ากับ I_{B2}



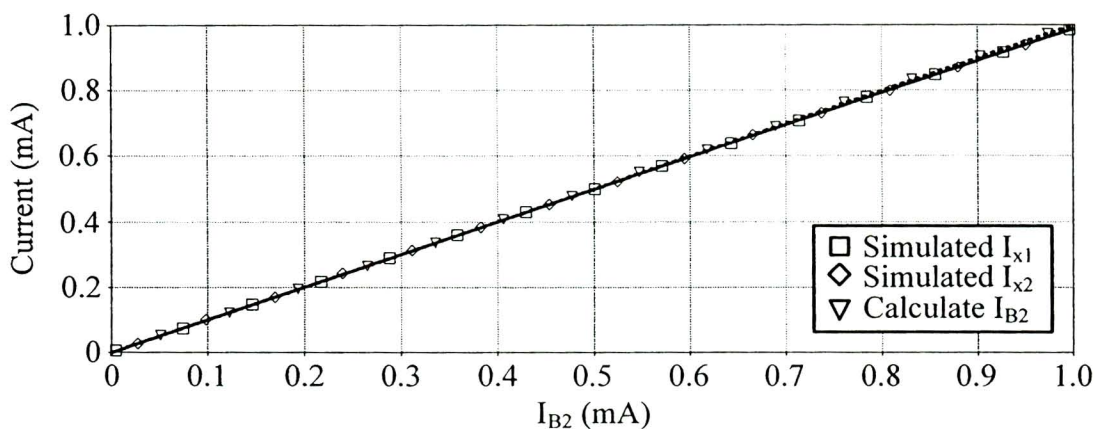
ภาพที่ 1.21 เส้นทางของ DO-CCCDTA เพื่อทำงานในสภาวะอิมตัว



ภาพที่ 1.22 วงจรสำหรับการวัดทดสอบคุณลักษณะทางไฟฟาร์ของ CC-CDTA เมื่อทำงานใน สภาวะอิมตัว

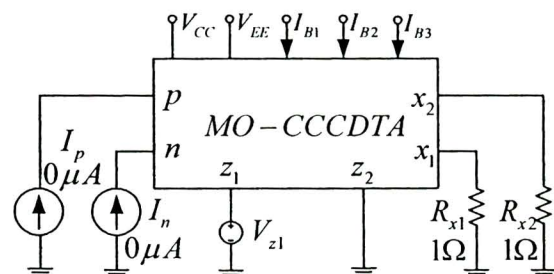
- 5.17 วัดความจรตามภาพที่ 1.18 เพื่อวัดค่ากระแส i_{x1}, i_{x2} เมื่อมีการเปลี่ยนแปลงกระแสไปแอส I_{B2}
 5.18 กำหนดค่าแรงดัน $I_p = I_n = 0\mu A$ $V_{z1} = 1V$ และ $V_{z2} = 0V$

- 5.19 เลือกการวิเคราะห์วงจรแบบ DC sweep ที่ Primary sweep จะมีหน้าต่าง Sweep variable ให้เลือกที่ Current source ในช่อง Name: ให้พิมพ์ I_{B2} และในหน้าต่าง Sweep type เลือก Linear แล้วกำหนดค่าดังนี้ Start value: $1mA$, End value: $1mA$ และ Increase: $100nA$
- 5.20 ใช้ Current marker วัดกระแส i_{x1} , i_{x2} หรือวัดกระแสที่ไหลผ่านดัวต้านทาน R_{x1} และ R_{x2} ตามลำดับ ทำการรันโปรแกรมเพื่อจำลองการทำงาน
- 5.21 คำนวณกระแส i_{x1} และ i_{x2} ($i_{x1} = i_{x2} = I_{B2}$) แล้วนำค่าที่คำนวณได้เพล้อตลงในภาพที่ 1.23 เพื่อเปรียบเทียบกับผลที่ได้จากการจำลอง
- 5.22 เปรียบเทียบค่ากระแส i_{x1} , i_{x2} ที่ได้จากการจำลองกับค่าที่ได้จากการคำนวณ ค่ากระแส i_{x1} , i_{x2} ที่ได้จากการจำลองและการคำนวณมีค่าใกล้เคียงกัน นั่นคือ i_{x1} , i_{x2} มีค่าเท่ากับ I_{B2}



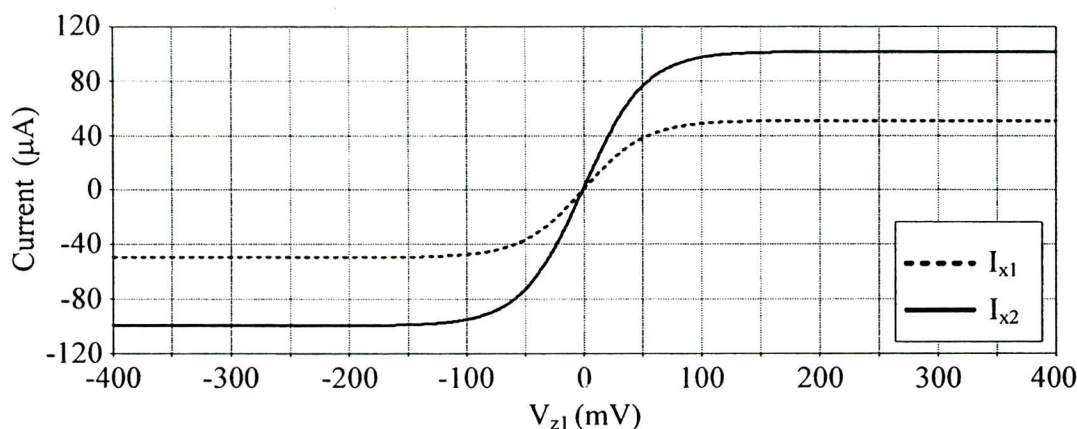
ภาพที่ 1.23 กระแส i_{x1} , i_{x2} เทียบกับกระแสไบแอดส์ I_{B2}

ตอนที่ 6 การทดสอบคุณลักษณะของ MO-CCCDTA ที่ทำงานในสภาพะอิมตัว

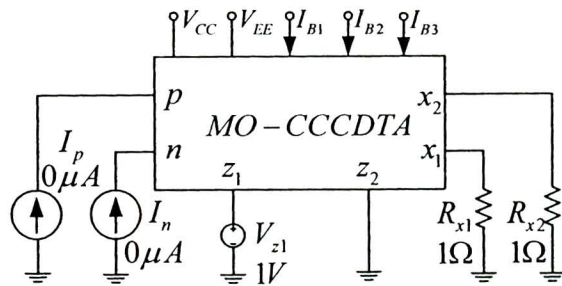


ภาพที่ 1.24 วงจรสำหรับการทดสอบเงื่อนไขของ MO-CCCDTA เพื่อทำงานในสภาพะอิมตัว

- 6.10 วิเคราะห์ตามภาพที่ 1.24 เพื่อทดสอบเงื่อนไขของ MO-CCCDTA เพื่อทำงานในสภาวะอิ่มตัว
- 6.11 กำหนดค่าอุปกรณ์ในวงจรดังนี้ $V_{CC} = 3V$, $V_{EE} = -3V$, $I_{B1} = I_{B3} = 100\mu A$ $I_{B2} = 50\mu A$
 $R_{x1} = 1\Omega$ และ $R_{x2} = 1\Omega$
- 6.12 เลือกการวิเคราะห์วงจรแบบ D C s w e e p จากนั้นกำหนดค่าต่างๆ ดังนี้
ที่ Primary sweep จะมีหน้าต่าง Sweep variable ให้เลือกที่ Voltage source ในช่อง Name: ให้พิมพ์ V_{z1} และในหน้าต่าง Sweep type เลือก Linear แล้วกำหนดค่าดังนี้ Start value: $-400mV$, End value: $400mV$ และ Increase: $1mV$
- 6.13 ใช้ Current marker วัดกระแส i_{x1} และ i_{x2} นั่นคือกระแสที่ไหลผ่าน R_{x1} และ R_{x2} ตามลำดับ จากนั้นทำการรันโปรแกรมเพื่อจำลองการทำงานแล้วบันทึกผลลงในภาพที่ 1.25
- 6.14 จากผลการทดลองในภาพที่ 1.25 กระแส i_{x1} , i_{x2} มีการเปลี่ยนแปลงอย่างไรเมื่อเปลี่ยนแปลง V_{z1} และขนาดของ V_{z1} มีค่าเท่าไรเมื่อ i_{x1} และ i_{x2} เท่ากับ I_{B2} และ I_{B3} ตามลำดับ
ขนาดของกระแส i_{x1} และ i_{x2} มีการเปลี่ยนแปลงไปตาม V_{z1} : ซึ่งมี 3 ช่วงด้วยกันคือ ช่วงที่ 1 เป็นการทำงานเป็นเชิงเส้นอยู่ระหว่าง V_{z1} มีค่า $-30mV$ ถึง $30mV$ ขนาดของกระแส i_{x1} และ i_{x2} จะมีค่าเท่ากับ $g_{m1}V_{z1}$ และ $g_{m2}V_{z1}$ ตามลำดับ ช่วงที่ 2 เป็นช่วงที่ทำงานไม่เป็นเชิงเส้นอยู่ระหว่าง V_{z1} มีค่า $-40mV$ ถึง $-160mV$ และ $40mV$ ถึง $160mV$ ขนาดของกระแส i_{x1} และ i_{x2} จะมีค่าเท่ากับ $I_{B2} \tanh\left(\frac{V_{z1}}{2V_T}\right)$ และ $I_{B3} \tanh\left(\frac{V_{z1}}{2V_T}\right)$ ตามลำดับ ช่วงที่ 3 เป็นช่วงที่ทำงานสภาวะอิ่มตัว อยู่ระหว่าง V_{z1} มีค่าตั้งแต่ $-160mV$ และ $160mV$ เป็นด้านไปขนาดของกระแส i_{x1} และ i_{x2} จะมีค่าเท่ากับ I_{B2} และ I_{B3} ตามลำดับ

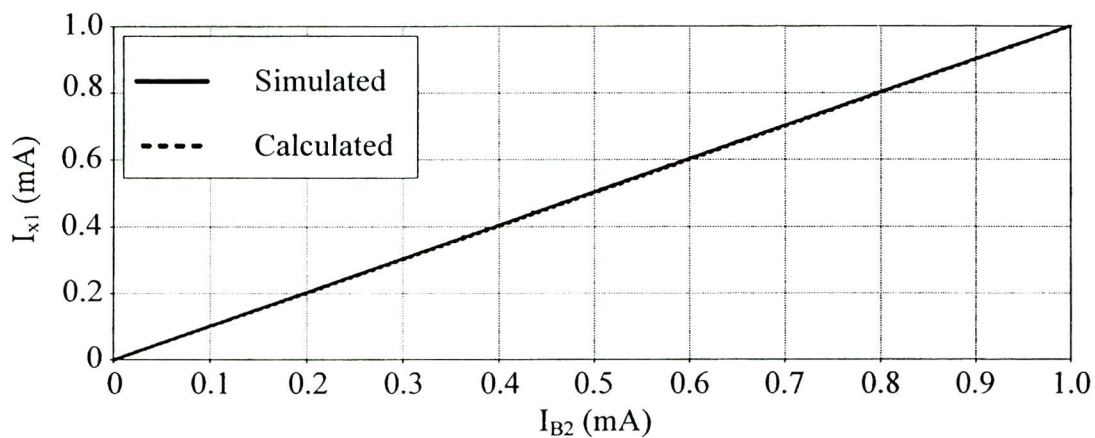


ภาพที่ 1.25 เงื่อนไขของ MO-CCCDTA เพื่อทำงานในสภาวะอิ่มตัว

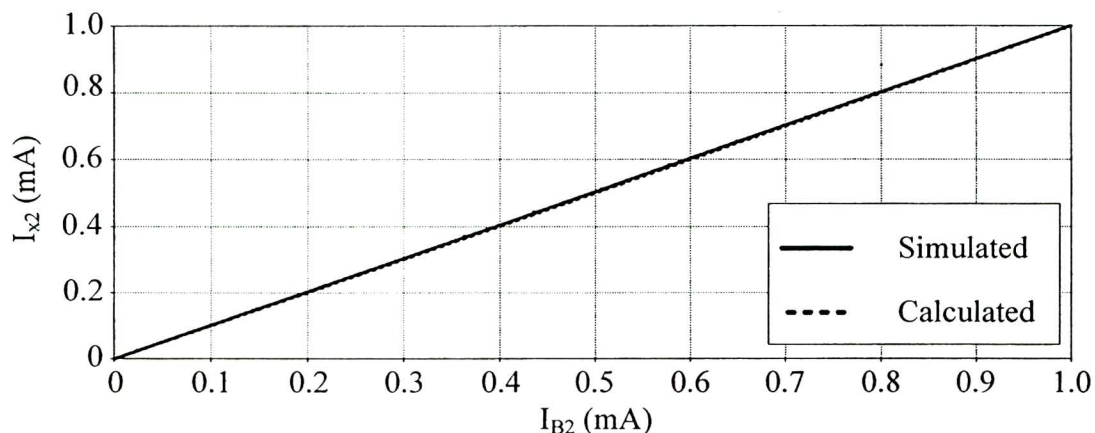


ภาพที่ 1.26 วงจรสำหรับการวัดทดสอบคุณลักษณะทางไฟฟาร์ของ MO-CCCDTA เมื่อทำงานในสภาวะอิ่มตัว

- 6.15 วัดค่ากระแส i_{x_1} และ i_{x_2} เมื่อมีการเปลี่ยนแปลงกระแสไอนอก I_{B2} และ I_{B3} ตามลำดับ
- 6.16 กำหนดค่าแรงดัน $I_p = I_n = 0 \mu A$ $V_{z1} = 1V$ และ $V_{z2} = 0V$
- 6.17 เลือกการวิเคราะห์วงจรแบบ DC sweep
- 6.8.7 ที่ Primary sweep จะมีหน้าต่าง Sweep variable ให้เลือกที่ Current source ในช่อง Name: ให้พิมพ์ I_{B2} และในหน้าต่าง Sweep type เลือก Linear แล้วกำหนดค่าดังนี้ Start value: $1nA$, End value: $1mA$ และ Increase: $100nA$
 - 6.8.8 ใช้ Current marker วัดกระแส i_{x_1} หรือวัดกระแสที่โหลดผ่านตัวด้านหน้า R_{x_1} ทำการรันโปรแกรมเพื่อจำลองการทำงาน
 - 6.8.9 คำนวณกระแส i_{x_1} ($i_{x_1} = I_{B2}$) และนำค่าที่คำนวณได้พล็อตลงในภาพที่ 1.27 เพื่อเปรียบเทียบกับผลที่ได้จากการจำลอง
 - 6.8.10 ที่ Primary sweep จะมีหน้าต่าง Sweep variable ให้เลือกที่ Current source ในช่อง Name: ให้พิมพ์ I_{B3} และในหน้าต่าง Sweep type เลือก Linear แล้วกำหนดค่าดังนี้ Start value: $1nA$, End value: $1mA$ และ Increase: $100nA$
 - 6.8.11 ใช้ Current marker วัดกระแส i_{x_2} หรือวัดกระแสที่โหลดผ่านตัวด้านหน้า R_{x_2} ทำการรันโปรแกรมเพื่อจำลองการทำงาน
 - 6.8.12 คำนวณกระแส i_{x_2} ($i_{x_2} = I_{B3}$) และนำค่าที่คำนวณได้พล็อตลงในภาพที่ 1.28 เพื่อเปรียบเทียบกับผลที่ได้จากการจำลอง
- 6.18 เปรียบเทียบค่ากระแส i_{x_1} และ i_{x_2} ที่ได้จากการจำลองกับค่าที่ได้จากการคำนวณค่ากระแส i_{x_1} และ i_{x_2} ที่ได้จากการจำลองและการคำนวณมีค่าใกล้เคียงกัน นั่นคือ i_{x_1} และ i_{x_2} มีค่าเท่ากัน I_{B2} และ I_{B3} ตามลำดับ



ภาพที่ 1.27 กระแส i_{x1} เทียบกับกระแสในแอลอส I_{B2}



ภาพที่ 1.28 กระแส i_{x2} เทียบกับกระแสในแอลอส I_{B3}

สรุปและอภิปรายผล

การทดสอบ CC-CDTA แบบต่างๆ ที่ทำงานในช่วงที่เป็นเชิงเส้น

CC-CDTA ที่ทำงานในช่วงที่เป็นเชิงเส้น ขนาดของกระแสที่ข้อ z จะมีค่าเท่ากับผลต่างของกระแสที่ข้อ p กับ n โดยผลการจำลองเทียบกับการคำนวณพบว่ามีความสอดคล้องกัน ต่อมาทำการทดสอบค่าความต้านทานที่ข้อ p และ n (R_p และ R_n) พบว่าสามารถปรับค่าความต้านทานได้ด้วย I_{B1} ช่วงค่าความต้านทานที่สามารถปรับได้คือ $19.92\Omega - 16.64M\Omega$ หรือสามารถปรับค่า I_{B1} ตั้งแต่ $1mA - 1mA$ ส่วนกระแสเอาต์พุตที่ข้อ x เกิดจากการแบ่งผังแรงดันที่ข้อ z (V_z) ซึ่งขนาดของกระแสจะขึ้นกับค่าความนำถ่ายโอนที่ข้อ x (g_m) ซึ่งสามารถปรับค่าได้จากการทดสอบ I_{B2} จากการทดสอบ

ปรับ I_{B2} จาก $1nA - 1mA$ พบร่วมค่า g_m จะสอดคล้องกับสมการที่วิเคราะห์ไว้เมื่อ $I_{B2} = 1nA - 0.3mA$ หรือมีค่า $g_m = 11.05nS - 5.27mS$ นอกจากนี้พบว่า CC-CDDA จะทำงานในช่วงที่เป็นเชิงเส้น เมื่อ แรงดันที่ขั้ว z อยู่ระหว่าง $-30mV$ ถึง $30mV$ เท่านั้น

DO-CCCDTA จะทำงานในช่วงเชิงเส้น เมื่อ V_z ที่ค่าระหว่าง $-30mV$ ถึง $30mV$ โดยทั่วไปแล้ว DO-CCCDTA จะมีคุณสมบัติเหมือนกับ CC-CDDA แต่ DO-CCCDTA จะมีขั้ว z และ x สองขั้วคือ z_1 , z_2 และ x_1 , x_2 ตามลำดับ โดย z_1 และ z_2 มีขนาดและทิศทางเหมือนกัน เช่นเดียวกับ x_1 และ x_2 มีขนาดและทิศทางเหมือนกัน ส่วนค่า R_p , R_n และค่า g_m จากทดสอบพบว่า มีคุณสมบัติเหมือน CC-CDDA

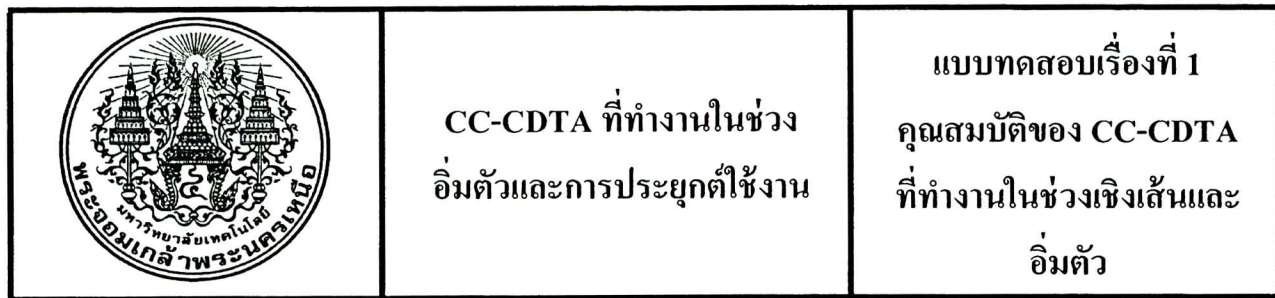
จากการทดสอบคุณสมบัติของ MO-CCCDTA ที่ทำงานในช่วงที่เป็นเชิงเส้น จะคล้ายกับ DO-CCCDTA แต่ MO-CCCDTA สามารถควบคุมค่าความนำถ่ายโดยอนที่ขั้ว x_1 (g_{m1}) และ x_2 (g_{m2}) ได้อย่างอิสระจากัน โดย g_{m1} และ g_{m2} สามารถควบคุมได้ด้วย I_{B2} และ I_{B3} ตามลำดับ ซึ่งทั้ง g_{m1} และ g_{m2} ปรับค่าได้อยู่ในช่วง $11.05nS - 5.27mS$ หรือปรับกระแสไบเออร์ระหว่าง $1nA - 0.3mA$

การทดสอบ CC-CDDA แบบต่างๆที่ทำงานในช่วงอิมตัว

CC-CDDA จะทำงานในช่วงอิมตัว เมื่อ V_z มีค่าตั้งแต่ $-160mV$ และ $160mV$ คุณสมบัติ ทั่วไปเหมือนกับ CC-CDDA ที่ทำงานในช่วงเชิงเส้น แต่กระแสที่ขั้ว x จะมีค่าเท่ากับ I_{B2} เมื่อ V_z มี ค่าตั้งแต่ $160mV$ และมีค่าเท่ากับ $-I_{B2}$ เมื่อ V_z มีค่าตั้งแต่ $-160mV$

จากการทดสอบพบว่า DO-CCCDTA จะทำงานในช่วงอิมตัว เมื่อ V_z มีค่าตั้งแต่ $-160mV$ และ $160mV$ โดยทั่วไปแล้ว DO-CCCDTA ที่ทำงานในช่วงอิมตัว จะมีคุณสมบัติทั่วไปคล้ายกับ DO-CCCDTA ที่ทำงานในช่วงเส้น แต่กระแสที่ขั้ว x_1 และ x_2 จะมีค่าเท่ากับ I_{B2} เมื่อ V_z มีค่าตั้งแต่ $160mV$ และมีค่าเท่ากับ $-I_{B2}$ เมื่อ V_z มีค่าตั้งแต่ $-160mV$

ในการทดสอบ MO-CCCDTA จะทำงานในช่วงอิมตัว เมื่อ V_z มีค่าตั้งแต่ $-160mV$ และ $160mV$ กระแสที่ขั้ว x_1 และ x_2 จะมีค่าเท่ากับ I_{B2} และ I_{B3} ตามลำดับ เมื่อ V_z มีค่าตั้งแต่ $160mV$ และกระแสที่ขั้ว x_1 และ x_2 จะมีค่าเท่ากับ $-I_{B2}$ และ $-I_{B3}$ ตามลำดับ เมื่อ V_z มีค่าตั้งแต่ $-160mV$

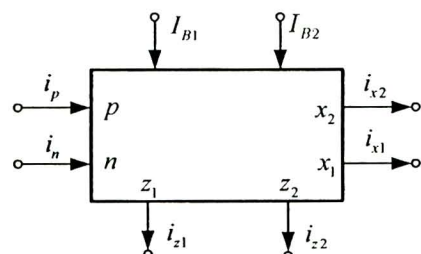


1. ข้อใดกล่าวผิด

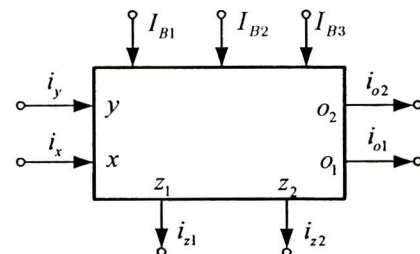
- ก. ความต้านทานที่ขึ้นอยู่กับอัตราการซึมของ CC-CDTA เป็นอนันต์
- ข. ความต้านทานที่ขึ้นอยู่กับอัตราการซึมของ CC-CDTA สามารถปรับเปลี่ยนได้
- ค. สามารถควบคุมขนาดของกระแสที่ขึ้น x ได้จากการแสวงหาและสภานอก
- ง. CC-CDTA สามารถรับอินพุตเป็นกระแสได้เพียงอย่างเดียว

2. ข้อใดคือลักษณะของ CC-CDTA

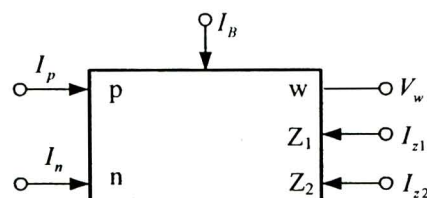
ก.



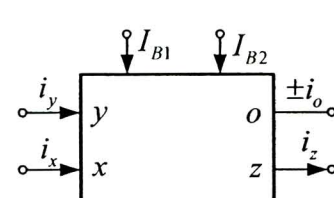
ข.



ก.



ข.

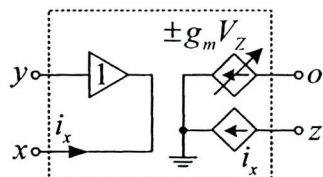


3. ข้อใดคือสมการคุณลักษณะของ DO-CCCDTA

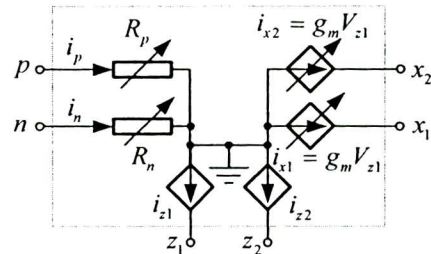
- ก. $V_p = g_m \cdot V_z$
- ข. $i_p = i_n = 0$
- ค. $V_z = V_x$
- ง. $I_{z1} = I_{z2}$

4. ข้อใดไม่ใช่วงจรสมมูลของ CC-CDTA

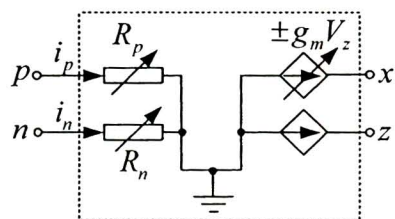
ก.



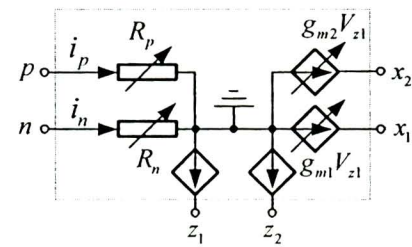
ก.



ก.



ก.



5. ข้อใดไม่ใช่สมการคุณลักษณะของ MO-CCCDTA

ก. $i_{x1} = g_{m1} V_z$

ข. $i_z = i_p - i_n$

ค. $R_p = R_n = \infty$

ง. $R_z = \infty$

6. ข้อใดกล่าวถึงลักษณะสมบัติของ DO-CCCDTA ได้ถูกต้องที่สุด

- ก. ความต้านทานที่ขึ้นอยู่กับอินพุตทั้งสองสามารถปรับได้จากกระแสไบแอดโซย่างอิสระจากกัน
- ข. ค่าความนำถ่ายโอนสามารถปรับได้จากกระแสไบแอดโซย่างอิสระจากกัน
- ค. มีข้อ z และข้อ x อย่างละสองข้อโดยกระแสที่ข้อ z₁ เท่ากับ z₂ และกระแสที่ข้อ x₁ เท่ากับ x₂
- ง. มีข้อ x ส่องข้อโดยขนาดของกระแสที่ข้อ x₁ และ x₂ ควบคุมได้จากการกระแสไบแอดโซย่างอิสระจากกัน

7. ข้อใดกล่าวถึงลักษณะสมบัติของ CC-CDTA แบบหลายເອົາດີພຸດ (MO-CCCDTA) ໄດ້
ຖູກຕ້ອງທີ່ສຸດ
- ก. ความต้านทานທີ່ຂ້ອງອິນພຸດທີ່ສອງສາມາຄປ່ຽນໄດ້ຈາກຮະແສໄນແອສອຍ່າງອີສະຈາກກັນ
 - ข. ມີຂໍ້ x ສອງຂໍ້ວໂດຍນາດຂອງຮະແສທີ່ຂໍ້ x₁ ແລະ x₂ ຄວບຄຸມໄດ້ຈາກຮະແສໄນແອສອຍ່າງ
ອີສະຈາກກັນ
 - ค. ມີຂໍ້ z ແລະ ຂໍ້ x ອ່າງລະສອງຂໍ້ວໂດຍຮະແສທີ່ຂໍ້ z₁ ເທົ່າກັນ z₂ ແລະ ຮະແສທີ່ຂໍ້ x₁
ເທົ່າກັນ x₂ ເສມອ
 - ง. ດ້ວຍຄວາມນຳຄ່າຍໂອນໄນ້ສາມາຄປ່ຽນໄດ້ຈາກຮະແສໄນແອສອຍ່າງອີສະຈາກກັນ
8. ข้อใดບອກຄວາມແຕກຕ່າງຂອງ DO-CCCDTA ກັບ CC-CDTA ໄດ້ຖູກຕ້ອງທີ່ສຸດ
- ก. DO-CCCDTA ມີຂໍ້ z ແລະ ຂໍ້ x ອ່າງລະສອງຂໍ້ວ ແຕ່ CC-CDTA ມີຂໍ້ z ແລະ ຂໍ້ x ອ່າງ
ລະຂໍ້ວ
 - ข. ຄວາມນຳຄ່າຍໂອນຂອງ DO-CCCDTA ຄວບຄຸມໄດ້ ແຕ່ CC-CDTA ຄວບຄຸມໄນ້ໄດ້
 - ค. ความต้านทานທີ່ຂ້ອງອິນພຸດຂອງ DO-CCCDTA ຄວບຄຸມໄນ້ໄດ້ ແຕ່ CC-CDTA ຄວບຄຸມໄດ້
 - ง. ຮະແສທີ່ຂໍ້ z ແລະ ຂໍ້ x ຂອງ DO-CCCDTA ມີນາດເທົ່າກັນ ແຕ່ CC-CDTA ມີນາດໄນ້
ເທົ່າກັນ
9. DO-CCCDTA ຖູກປຶອນດ້ວຍຮະແສ $I_{B1} = 260\mu A$ ແລະ $I_{B2} = 130\mu A$ ດ້ວຍຄວາມນຳຄ່າຍໂອນ
(g_m) ດ້ວຍຄວາມຕ້ານທານ R_p ແລະ R_n ເທົ່າກັນຂໍ້ໄດ້
- ก. $g_m = 2.5mS$ ແລະ $R_p = R_n = 50\Omega$
 - ข. $g_m = 10.5mS$ ແລະ $R_p = R_n = 100\Omega$
 - ค. $g_m = 25.5mS$ ແລະ $R_p = R_n = 1k\Omega$
 - ง. $g_m = 35.5mS$ ແລະ $R_p = R_n = 2.6k\Omega$
10. ข้อใดໄມ້ໃຊ້ສາມາດຄຸນລັກນະຂອງ MO-CCCDTA ທີ່ທຳງານໃນສກາວະອິ່ນຕ້າວ
- ก. $i_{x1} = g_{m1}V_z$
 - ข. $i_{z1} = i_p - i_n$
 - ค. $R_p = R_n = \infty$
 - ง. $R_z = \infty$

11. ข้อใดกล่าวถึงลักษณะสมบัติของ MO-CCCDTA ที่ทำงานในสภาวะอิ่มตัว ได้ถูกต้องที่สุด

- ก. มีขั้ว z สองขั้วโดยขนาดของกระแสที่ขั้ว z_1 และ z_2 คือเท่ากับกระแสในแอดส เมื่อ

$$V_{z1} \gg 2V_T$$

- ข. มีขั้ว x สองขั้วโดยขนาดของกระแสที่ขั้ว x_1 และ x_2 คือเท่ากับกระแสในแอดส เมื่อ

$$V_{x1} \gg 2V_T$$

- ค. มีขั้ว z สองขั้วโดยขนาดของกระแสที่ขั้ว z_1 และ z_2 คือเท่ากับกระแสในแอดส เมื่อ

$$V_{z1} \ll 2V_T$$

- ง. มีขั้ว x สองขั้วโดยขนาดของกระแสที่ขั้ว x_1 และ x_2 คือเท่ากับกระแสในแอดส เมื่อ

$$V_{x1} \ll 2V_T$$

12. ข้อใดไม่ใช่สมการคุณลักษณะของ CC-CDTA ที่ทำงานในสภาวะอิ่มตัว

ก. $i_x = I_{B2}$

ข. $i_z = i_p - i_n$

ค. $g_m = \frac{I_{B2}}{2V_T}$

ง. $R_p = R_n = \frac{V_T}{2I_{B1}}$

13. ข้อใดบอกความแตกต่างของ MO-CCCDTA กับ DO-CCCDTA ที่ทำงานในสภาวะอิ่มตัว

ได้ถูกต้องที่สุด

- ก. MO-CCCDTA ขนาดของกระแสที่ขั้ว z_1 เท่ากับ z_2 แต่ DO-CCCDTA ขนาดของกระแสที่ขั้ว z_1 ไม่เท่ากับ z_2

- ข. MO-CCCDTA ขนาดของกระแสที่ขั้ว z_1 ไม่เท่ากับ z_2 แต่ DO-CCCDTA ขนาดของกระแสที่ขั้ว z_1 เท่ากับ z_2

- ค. MO-CCCDTA ขนาดของกระแสที่ขั้ว x_1 จะไม่เท่ากับ x_2 เสมอไป แต่ DO-CCCDTA ขนาดของกระแสที่ขั้ว x_1 จะเท่ากับ x_2 เสมอไป

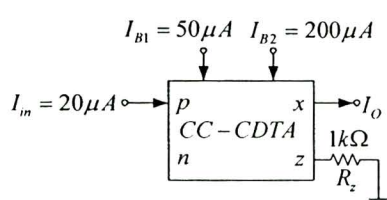
- ง. MO-CCCDTA ขนาดของกระแสที่ขั้ว x_1 จะเท่ากับ x_2 เสมอไป แต่ DO-CCCDTA ขนาดของกระแสที่ขั้ว x_1 จะไม่เท่ากับ x_2 เสมอไป

14. ข้อใดบอกความแตกต่างของ CC-CDTA ที่ทำงานในช่วงเชิงเส้นกับช่วงอิมตัว ได้ถูกต้องที่สุด

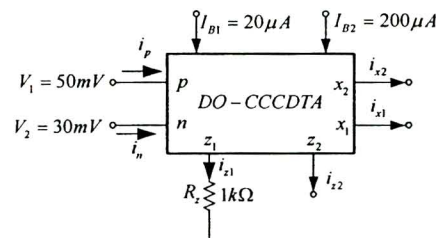
- ก. CC-CDTA ที่ทำงานในช่วงเชิงเส้น จะมีกระแสที่ขั้ว z เท่ากับ ผลต่างของกระแสที่ขั้ว p กับ n แต่ CC-CDTA ที่ทำงานในช่วงอิมตัว จะมีกระแสที่ขั้ว z เท่ากับกระแสใบแอดส์
- ข. CC-CDTA ที่ทำงานในช่วงเชิงเส้น จะมีแรงดันตกคร่อมที่ขั้ว z ต้องมีค่าน้อยกว่า $2V_T$ แต่ CC-CDTA ที่ทำงานในช่วงอิมตัว จะมีแรงดันตกคร่อมที่ขั้ว z ต้องมีค่ามากกว่า $2V_T$
- ก. CC-CDTA ที่ทำงานในช่วงเชิงเส้น จะควบคุมความต้านทานที่ขั้วอินพุตได้ แต่ CC-CDTA ที่ทำงานในช่วงอิมตัว จะควบคุมความต้านทานที่ขั้วอินพุตไม่ได้
- ก. CC-CDTA ที่ทำงานในช่วงเชิงเส้น จะมีกระแสที่ขั้ว z เท่ากับ ผลต่างของกระแสที่ขั้ว p กับ n แต่ CC-CDTA ที่ทำงานในช่วงอิมตัว จะมีกระแสที่ขั้ว z เท่ากับกระแสใบแอดส์

15. ข้อใดแสดงถึง CC-CDTA ทำงานในสภาพอิมตัว

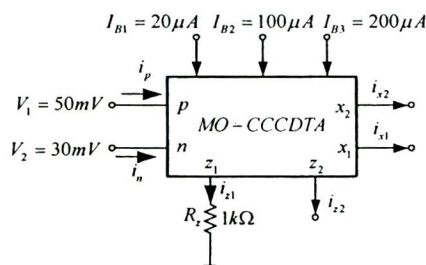
ก.



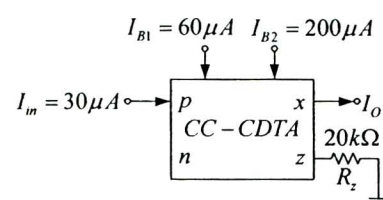
ก.



ก.



ก.



	CC-CDTA ที่ทำงานในช่วง อิมตัวและการประยุกต์ใช้	เฉลยแบบทดสอบเรื่องที่ 1 คุณสมบัติของ CC-CDTA ที่ทำงานในช่วงเชิงเส้นและ
---	---	---

ข้อ	ก	ข	ค	ง	ข้อ	ก	ข	ค	ง	ข้อ	ก	ข	ค	ง	ข้อ	ก	ข	ค	ง
1	X				16					31					46				
2	X				17					32					47				
3			X		18					33					48				
4	X				19					34					49				
5			X		20					35					50				
6			X		21					36					51				
7		X			22					37					52				
8	X				23					38					53				
9	X				24					39					54				
10			X		25					40					55				
11		X			26					41					56				
12			X		27					42					57				
13			X		28					43					58				
14		X			29					44					59				
15				X	30					45					60				

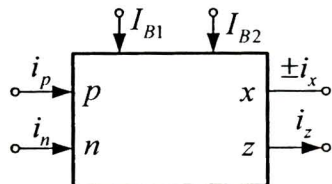
	CC-CDTA ที่ทำงานในช่วง อิมตัวและการประยุกต์ใช้	แบบทดสอบวัด ผลสัมฤทธิ์ทางการเรียน
---	---	--------------------------------------

คำชี้แจง

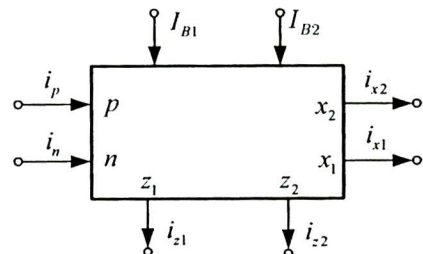
1. ข้อสอบเป็นแบบปรนัย มีทั้งหมด 45 ข้อ 45 คะแนน แบ่งออกเป็น 5 เรื่องดังนี้
 - 1.1 คุณสมบัติของ CC-CDTA ที่ทำงานในช่วงเชิงเส้นและอิมตัวจำนวน 16 ข้อ 16 คะแนน
 - 1.2 วงศ์ชุมิตต์ทริกเกอร์ จำนวน 12 ข้อ 12 คะแนน
 - 1.3 วงศ์กำเนิดสัญญาณสีเหลี่ยม จำนวน 5 ข้อ 5 คะแนน
 - 1.4 วงศ์รวมคูเดตความกว้างพัลส์ จำนวน 7 ข้อ 7 คะแนน
 - 1.5 วงศ์โนโน่สเปกมัลติไวเบรเตอร์ จำนวน 5 ข้อ 5 คะแนน
2. ให้เลือกคำตอบที่ถูกที่สุดลงในกระดาษคำตอบ
3. ห้ามน้ำเอกสาร ตำรา คอมพิวเตอร์เข้าห้องสอบ
4. ให้ใช้เครื่องคำนวณได้
5. เวลา 90 นาที

1. ข้อใดคือสัญลักษณ์ของ CC-CDTA แบบหลายเอตพุต (MO-CCCDTA)

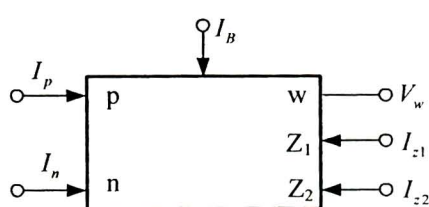
ก.



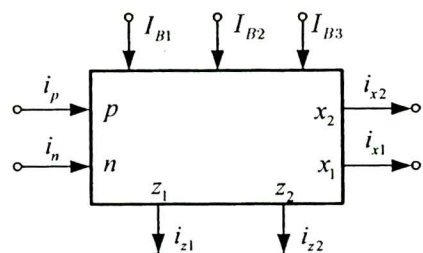
ภ.



ก.

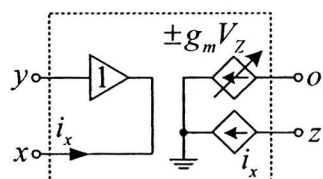


ภ.

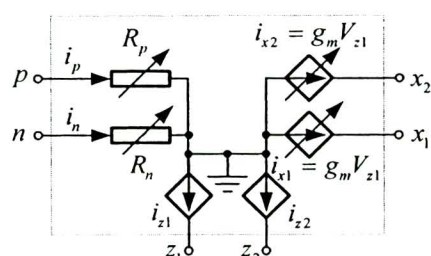


2. ข้อใดคือวงจรสมมูลของ DO-CCCDTA

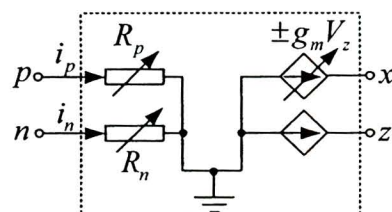
ก.



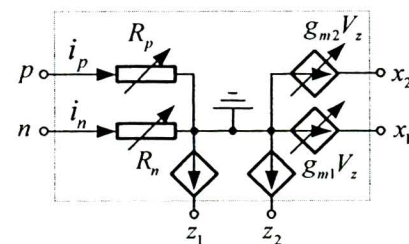
ภ.



ก.



ภ.



3. ข้อใดไม่ใช่สมการคุณสมบัติของ CC-CDTA

ก. $i_{x1} = g_{m1}V_z$

ภ. $i_z = i_p - i_n$

ก. $R_p = R_n = \infty$

ภ. $R_z = \infty$

4. ข้อใดคือสมการคุณสมบัติของ MO-CCCDTA

ก. $V_p = g_m \cdot V_z$

ข. $i_p = i_n = 0$

ค. $V_z = V_x$

ง. $I_{z1} = I_{z2}$

5. ข้อใดกล่าวผิด

ก. สามารถดูความคุณขนาดของกระแสที่ขั้ว x ได้จากการแสไนแอร์สกายนอก

ข. ความต้านทานที่ขั้วอินพุตของ DO-CCCDTA สามารถปรับค่าได้

ค. ความต้านทานที่ขั้วอินพุตทุกขั้วของ CC-CDTA เป็นอนันต์

ง. มีขั้ว x ของ MO-CCCDTA สองขั้ว โดยขนาดของกระแสที่ขั้ว x_1 และ x_2 ควบคุมได้จากการแสไนแอร์สอย่างอิสระจากกัน

6. ข้อใดกล่าวถึงลักษณะสมบัติของ DO-CCCDTA ได้ถูกต้องที่สุด

ก. ความต้านทานที่ขั้วอินพุตทั้งสองสามารถปรับได้จากการแสไนแอร์สอย่างอิสระจากกัน

ข. มีขั้ว z และขั้ว x อย่างละสองขั้วโดยกระแสที่ขั้ว z_1 เท่ากับ z_2 และกระแสที่ขั้ว x_1 เท่ากับ x_2

ค. ค่าความนำถ่ายโดยสารสามารถปรับได้จากการแสไนแอร์สอย่างอิสระจากกัน

ง. มีขั้ว z สองขั้ว โดยขนาดของกระแสที่ขั้ว z_1 และ z_2 ควบคุมได้จากการแสไนแอร์สอย่างอิสระจากกัน

7. CC-CDTA ถูกป้อนด้วยกระแส $I_{B1} = 10\mu A$ และ $I_{B2} = 100\mu A$ ค่าความต้านทาน R_p และ R_n จะเท่ากับข้อใด

ก. $R_p = R_n = 1.3k\Omega$

ข. $R_p = R_n = 2.6k\Omega$

ค. $R_p = R_n = 5.2k\Omega$

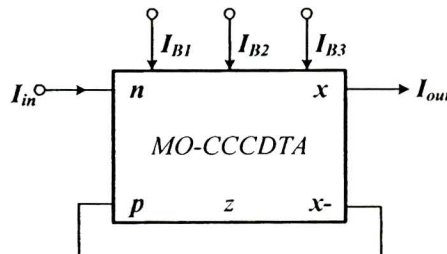
ง. $R_p = R_n = 10.4k\Omega$

8. ต้องการให้ค่าความต้านทาน R_p และ R_n เท่ากับ $1k\Omega$ ของ DO-CCCDTA ข้อใดถูกต้อง

ก. ให้ $I_{B1} = 13\mu A$

- ข. ให้ $I_{B1} = 26\mu A$
- ค. ให้ $I_{B2} = 13\mu A$
- ง. ให้ $I_{B2} = 26\mu A$
9. MO-CCCDTA ถูกป้อนด้วยกระแส $I_{B1} = 100\mu A$ $I_{B2} = 26\mu A$ และ $I_{B3} = 52\mu A$ คำความนำถ่ายโอน (g_m) จะเท่ากับข้อใด
- ก. $g_{m1} = 1.92mS$ และ $g_{m2} = 0.5mS$
- ข. $g_{m1} = 0.5mS$ และ $g_{m2} = 1mS$
- ค. $g_{m1} = 1.92mS$ และ $g_{m2} = 1mS$
- ง. $g_{m1} = 0.5mS$ และ $g_{m2} = 0.5mS$
10. ต้องการให้คำความนำถ่ายโอนของ CC-CDTA เท่ากับ $5mS$ ข้อใดถูกต้อง
- ก. ให้ $I_{B1} = 130\mu A$
- ข. ให้ $I_{B1} = 260\mu A$
- ค. ให้ $I_{B2} = 130\mu A$
- ง. ให้ $I_{B2} = 260\mu A$
11. ข้อใดไม่ใช่สมการคุณสมบัติของ MO-CCCDTA ที่ทำงานในสภาวะอิมตัว
- ก. $i_{x1} = g_{m1}V_{z1}$
- ข. $i_z = i_p - i_n$
- ค. $R_p = R_n = \frac{V_T}{2I_{B1}}$
- ง. $R_z = \infty$
12. ข้อใดคือสมการคุณสมบัติของ DO-CCCDTA ที่ทำงานในสภาวะอิมตัว
- ก. $i_p = g_m V_{z1}$
- ข. $i_p = i_n = 0$
- ค. $V_z = V_x$
- ง. $I_{x1} = I_{x2} = I_{B2}$
13. ข้อใดกล่าวถึงลักษณะสมบัติของ MO-CCCDTA ที่ทำงานในช่วงอิมตัว ได้ถูกต้องที่สุด
- ก. มีข้อ z สองข้อโดยขนาดของกระแสที่ข้อ z_1 และ z_2 เท่ากันคือเท่ากับกระแสไบแอส
- ข. แรงคันที่ตอกคร่อมที่ข้อ z_2 ต้องมีค่ามากกว่า $2V_T$ มากๆ
- ค. กระแสที่ข้อ x_1 และ x_2 มีค่าเท่ากับกระแสไบแอส I_{B2} และ I_{B3} ตามลำดับ
- ง. ความต้านทานที่ข้ออินพุตของ MO-CCCDTA มีค่าเป็นอนันต์

14. ข้อใดกล่าวผิดถึงลักษณะสมบัติของ CC-CDTA แบบเอาต์พุตคู่ (DO-CCCDTA) ที่ทำงานในสภาวะอิ่มตัว ได้ถูกต้องที่สุด
- มีข้อ z สองข้อโดยขนาดของกระแสที่ข้อ z_1 และ z_2 เท่ากัน โดยมีค่าเท่ากับผลต่างของกระแสอินพุตที่ข้อ p และ n
 - ความต้านทานที่ข้ออินพุตของ DO-CCCDTA สามารถปรับค่าได้
 - มีข้อ x สองข้อโดยขนาดของกระแสที่ข้อ x_1 และ x_2 คือเท่ากับกระแสใบแอดส์
 - ค่าความนำถ่ายโอนที่ข้อ x_1 และ x_2 สามารถควบคุมได้ด้วยกระแสใบแอดส์
15. ข้อใดบอกความแตกต่างของ DO-CCCDTA ที่ทำงานในช่วงเชิงเส้นกับช่วงอิ่มตัว ได้ถูกต้องที่สุด
- DO-CCCDTA ที่ทำงานในช่วงเชิงเส้น จะมีกระแสที่ข้อ z_1 และ z_2 เท่ากับ ผลต่างของกระแสที่ข้อ p กับ n แต่ DO-CCCDTA ที่ทำงานในช่วงอิ่มตัว จะมีกระแสที่ข้อ z_1 และ z_2 เท่ากับกระแสใบแอดส์
 - DO-CCCDTA ที่ทำงานในช่วงเชิงเส้น จะมีกระแสที่ข้อ z_1 และ z_2 เท่ากับ กระแสใบแอดส์ แต่ DO-CCCDTA ที่ทำงานในช่วงอิ่มตัว จะมีกระแสที่ข้อ z_1 และ z_2 เท่ากับผลต่างของกระแสที่ข้อ p กับ n
 - DO-CCCDTA ที่ทำงานในช่วงเชิงเส้น จะมีแรงดันตกค่อนที่ข้อ z_1 ต้องมีขนาดน้อยกว่า $2V_T$ แต่ DO-CCCDTA ที่ทำงานในช่วงอิ่มตัว จะมีแรงดันตกค่อนที่ข้อ z_1 ต้องมีค่ามากกว่า $2V_T$
 - DO-CCCDTA ที่ทำงานในช่วงเชิงเส้น จะควบคุมความต้านทานที่ข้ออินพุตได้ แต่ DO-CCCDTA ที่ทำงานในช่วงอิ่มตัว จะควบคุมความต้านทานที่ข้ออินพุตไม่ได้
16. ข้อใดไม่ใช่ความแตกต่างของ CC-CDTA ที่ทำงานในช่วงเชิงเส้นกับช่วงอิ่มตัว
- CC-CDTA ที่ทำงานในช่วงเชิงเส้น จะปรับค่าความต้านทานที่ข้ออินพุตได้ แต่ CC-CDTA ที่ทำงานในช่วงอิ่มตัว จะมีค่าความต้านทานที่ข้ออินพุตเป็นค่าคงที่
 - CC-CDTA ที่ทำงานในช่วงเชิงเส้น จะควบคุมค่าความนำถ่ายโอนที่ข้อ x ได้ แต่ CCCDTA จะควบคุมค่าความนำถ่ายโอนที่ข้อ x ไม่ได้
 - กระแสที่ข้อ x มีค่าเท่ากับกระแสใบแอดส์
 - CC-CDTA ที่ทำงานในช่วงเชิงเส้น จะมีกระแสที่ข้อ z เท่ากับ ผลต่างของกระแสที่ข้อ p กับ n แต่ CC-CDTA ที่ทำงานในช่วงอิ่มตัว จะมีกระแสที่ข้อ z เท่ากับกระแสที่ข้อ p



ภาพที่ 1

17. จากรูปในภาพที่ 1 สามารถวิเคราะห์ความสามารถของสัญญาณเอาต์พุตได้ตามข้อใด

Ⓐ. $I_{out} = \begin{cases} I_{B2} & \text{if } I_{in} \leq -I_{B3} \\ -I_{B2} & \text{if } I_{in} \geq I_{B3} \end{cases}$

Ⓑ. $I_{out} = \begin{cases} I_{B1} & \text{if } I_{in} \leq I_{B2} \\ -I_{B1} & \text{if } I_{in} \geq -I_{B2} \end{cases}$

Ⓒ. $I_{out} = \begin{cases} -I_{B3} & \text{if } I_{in} \geq I_{B2} \\ I_{B3} & \text{if } I_{in} \leq -I_{B2} \end{cases}$

Ⓓ. $I_{out} = \begin{cases} I_{B2} & \text{if } I_{in} \geq I_{B1} \\ -I_{B2} & \text{if } I_{in} \leq -I_{B1} \end{cases}$

18. จากรูปในภาพที่ 1 สามารถวิเคราะห์ความสามารถการกระแสขีดเริ่มต้นสูงและต่ำลงได้ตามข้อใด

Ⓐ. $I_{TH} = I_{B1}$ และ $I_{TL} = -I_{B1}$

Ⓑ. $I_{TH} = I_{B2}$ และ $I_{TL} = -I_{B2}$

Ⓒ. $I_{TH} = I_{B3}$ และ $I_{TL} = -I_{B3}$

Ⓓ. $I_{TH} = I_{B2}$ และ $I_{TL} = -I_{B3}$

19. จากรูปในภาพที่ 1 เมื่อกำหนดให้ $I_{B1} = 60\mu A$, $I_{B2} = 50\mu A$ และ $I_{B3} = 20\mu A$ ขนาดของสัญญาณเอาต์พุตตรงกับข้อใด

Ⓐ. $I_{out} = \begin{cases} 60\mu A & \text{if } I_{in} \geq 50 \\ -60\mu A & \text{if } I_{in} \leq -50 \end{cases}$

Ⓑ. $I_{out} = \begin{cases} -50\mu A & \text{if } I_{in} \geq 20\mu A \\ 50\mu A & \text{if } I_{in} \leq -20\mu A \end{cases}$

Ⓒ. $I_{out} = \begin{cases} 50\mu A & \text{if } I_{in} \geq 60\mu A \\ -50\mu A & \text{if } I_{in} \leq -60\mu A \end{cases}$

Ⓓ. $I_{out} = \begin{cases} 20\mu A & \text{if } I_{in} \geq -50\mu A \\ -20\mu A & \text{if } I_{in} \leq 50\mu A \end{cases}$

20. ต้องการให้วงจรในภาพที่ 1 มี $I_{out} = 120\mu A$ ข้อใดถูกต้อง

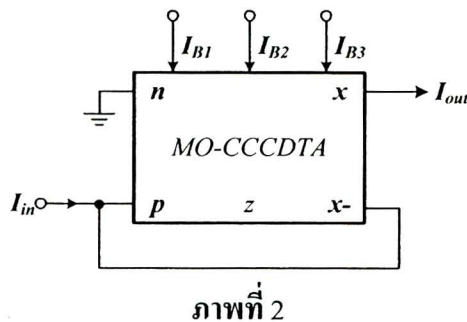
- ก. ให้ $I_{B1} = 60\mu A$
- ข. ให้ $I_{B2} = -60\mu A$
- ค. ให้ $I_{B3} = -120\mu A$
- ง. ให้ $I_{B2} = 120\mu A$

21. จากร่วงจรในภาพที่ 1 เมื่อกำหนดให้ $I_{B1} = 50\mu A$, $I_{B2} = 75\mu A$ และ $I_{B3} = 25\mu A$ ขนาดของกระแสแข็งเริ่มด้านสูงและต่อไปได้ตามข้อใด

- ก. $I_{TH} = 50\mu A$ และ $I_{TL} = -50\mu A$
- ข. $I_{TH} = 75\mu A$ และ $I_{TL} = -75\mu A$
- ค. $I_{TH} = 25\mu A$ และ $I_{TL} = -25\mu A$
- ง. $I_{TH} = 75\mu A$ และ $I_{TL} = -25\mu A$

22. ข้อใดกล่าวถูกต้องที่สุด

- ก. ขนาดของกระแสเอาต์พุตเปลี่ยนจาก $-I_{B2}$ เป็น I_{B2} เมื่อกระแสอินพุตน้อยกว่า I_{B3}
- ข. ขนาดของกระแสเอาต์พุตเปลี่ยนจาก I_{B2} เป็น $-I_{B2}$ เมื่อกระแสอินพุตมากกว่า I_{B3}
- ค. ขนาดของกระแสเอาต์พุตเปลี่ยนจาก I_{B3} เป็น $-I_{B3}$ เมื่อกระแสอินพุตมากกว่า I_{B2}
- ง. ขนาดของกระแสเอาต์พุตเปลี่ยนจาก I_{B1} เป็น $-I_{B1}$ เมื่อกระแสอินพุตมากกว่า I_{B2}



ภาพที่ 2

23. จากร่วงจรในภาพที่ 2 สามารถวิเคราะห์หาสมการขนาดของสัญญาณเอาต์พุตได้ตามข้อใด

- ก. $I_{out} = \begin{cases} I_{B2} & \text{if } I_{in} \leq -I_{B3} \\ -I_{B2} & \text{if } I_{in} \geq I_{B3} \end{cases}$
- ข. $I_{out} = \begin{cases} I_{B1} & \text{if } I_{in} \leq I_{B2} \\ -I_{B1} & \text{if } I_{in} \geq -I_{B2} \end{cases}$
- ค. $I_{out} = \begin{cases} -I_{B3} & \text{if } I_{in} \geq I_{B2} \\ I_{B3} & \text{if } I_{in} \leq -I_{B2} \end{cases}$
- ง. $I_{out} = \begin{cases} I_{B2} & \text{if } I_{in} \geq I_{B1} \\ -I_{B2} & \text{if } I_{in} \leq -I_{B1} \end{cases}$

24. จากรวงจรในภาพที่ 2 สามารถวิเคราะห์หาสมการกระแสขีดเริ่มค้านสูงและต่ำตรงได้ตามข้อใด

- ก. $I_{TH} = I_{B1}$ และ $I_{TL} = -I_{B1}$
- ข. $I_{TH} = I_{B3}$ และ $I_{TL} = -I_{B3}$
- ค. $I_{TH} = I_{B2}$ และ $I_{TL} = -I_{B2}$
- ง. $I_{TH} = I_{B2}$ และ $I_{TL} = -I_{B3}$

25. จากรวงจรในภาพที่ 2 เมื่อกำหนดให้ $I_{B1} = 100\mu A$, $I_{B2} = 85\mu A$ และ $I_{B3} = 15\mu A$ ขนาดของ สัญญาณเอาต์พุตตรงกับข้อใด

- ก. $I_{out} = \begin{cases} 85\mu A & \text{if } I_{in} \geq 15\mu A \\ -85\mu A & \text{if } I_{in} \leq -15\mu A \end{cases}$
- ข. $I_{out} = \begin{cases} -15\mu A & \text{if } I_{in} \geq 85\mu A \\ 15\mu A & \text{if } I_{in} \leq -85\mu A \end{cases}$
- ค. $I_{out} = \begin{cases} 100\mu A & \text{if } I_{in} \leq 85\mu A \\ -100\mu A & \text{if } I_{in} \geq -85\mu A \end{cases}$
- ง. $I_{out} = \begin{cases} 85\mu A & \text{if } I_{in} \leq -15\mu A \\ -85\mu A & \text{if } I_{in} \geq 15\mu A \end{cases}$

26. ต้องการให้วงจรในภาพที่ 2 มี $I_{out} = 45\mu A$ ข้อใดถูกต้อง

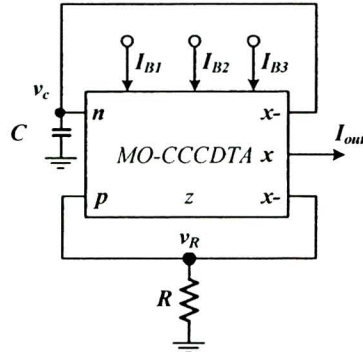
- ก. ให้ $I_{B1} = 45\mu A$
- ข. ให้ $I_{B2} = 45\mu A$
- ค. ให้ $I_{B2} = 17.5\mu A$
- ง. ให้ $I_{B3} = 17.5\mu A$

27. จากรวงจรในภาพที่ 2 เมื่อกำหนดให้ $I_{B1} = 100\mu A$, $I_{B2} = 135\mu A$ และ $I_{B3} = 85\mu A$ ขนาดของ กระแสขีดเริ่มค้านสูงและต่ำตรงได้ตามข้อใด

- ก. $I_{TH} = 100\mu A$ และ $I_{TL} = -100\mu A$
- ข. $I_{TH} = 135\mu A$ และ $I_{TL} = -135\mu A$
- ค. $I_{TH} = 100\mu A$ และ $I_{TL} = -135\mu A$
- ง. $I_{TH} = 85\mu A$ และ $I_{TL} = -85\mu A$

28. ข้อใดกล่าวถูกต้องที่สุด

- ก. เมื่อกระแสอินพุตน้อยกว่า $-I_{B3}$ ขนาดของกระแสเอาต์พุตเปลี่ยนจาก I_{B2} เป็น $-I_{B2}$
- ข. ขนาดของกระแสเอาต์พุตเปลี่ยนจาก I_{B2} เป็น $-I_{B2}$ เมื่อกระแสอินพุตมากกว่า I_{B3}
- ค. เมื่อกระแสอินพุตมากกว่า I_{B2} ขนาดของกระแสเอาต์พุตเปลี่ยนจาก I_{B3} เป็น $-I_{B3}$
- ง. ขนาดของกระแสเอาต์พุตเปลี่ยนจาก I_{B1} เป็น $-I_{B1}$ เมื่อกระแสอินพุตน้อยกว่า I_{B2}



ภาพที่ 3

29. จากรวงจรในภาพที่ 3 สามารถวิเคราะห์หาสมการขนาดของสัญญาณเอาต์พุตได้ตามข้อใด

- ก. $I_{out(p-p)} = I_{B1}$
- ข. $I_{out(p-p)} = I_{B2}$
- ค. $I_{out(p-p)} = 2I_{B2}$
- ง. $I_{out(p-p)} = 2I_{B3}$

30. จากรวงจรในภาพที่ 3 เมื่อกำหนดให้ $I_{B1} = 50\mu A$, $I_{B2} = 80\mu A$ และ $I_{B3} = 20\mu A$ ขนาดของสัญญาณเอาต์พุตตรงกับข้อใด

- ก. $50\mu A_{p-p}$
- ข. $80\mu A_{p-p}$
- ค. $160\mu A_{p-p}$
- ง. $40\mu A_{p-p}$

31. ต้องการให้วงจรในภาพที่ 3 มี $I_{out} = 90\mu A_{p-p}$ ข้อใดถูกต้อง

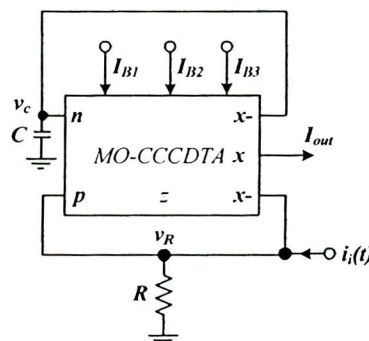
- ก. ให้ $I_{B1} = 45\mu A$
- ข. ให้ $I_{B2} = 45\mu A$
- ค. ให้ $I_{B3} = 90\mu A$
- ง. ให้ $I_{B2} = 90\mu A$

32. จากรวงจรในภาพที่ 3 เมื่อกำหนดให้ $I_{B1} = 10\mu A$, $I_{B2} = 200\mu A$, $I_{B3} = 50\mu A$, $C = 10nF$ และ $R = 1k\Omega$ ความถี่ของสัญญาณเอาต์พุตตรงกับข้อใด

- ก. $78.19kHz$
- ข. $62.54kHz$
- ค. $53.45kHz$
- ง. $41.29kHz$

33. ต้องการให้วงจรในภาพที่ 3 กำเนิดสัญญาณสี่เหลี่ยมความถี่ $55kHz$ ข้อใดถูกต้อง

- ก. ให้ $C = 10nF$, $I_{B1} = 20.21\mu A$ และ $R = 1k\Omega$
- ข. ให้ $C = 10nF$, $I_{B1} = 30.21\mu A$ และ $R = 1k\Omega$
- ค. ให้ $C = 10nF$, $I_{B1} = 40.21\mu A$ และ $R = 1k\Omega$
- ง. ให้ $C = 10nF$, $I_{B1} = 50.21\mu A$ และ $R = 1k\Omega$



ภาพที่ 4

34. จากรวงจรในภาพที่ 4 สามารถวิเคราะห์หาสมการขนาดของสัญญาณเอาต์พุตได้ตามข้อใด

- ก. $I_{out(p-p)} = I_{B1}$
- ข. $I_{out(p-p)} = I_{B2}$
- ค. $I_{out(p-p)} = 2I_{B2}$
- ง. $I_{out(p-p)} = 2I_{B3}$

35. จากรวงจรในภาพที่ 4 เมื่อกำหนดให้ $I_{B1} = 100\mu A$, $I_{B2} = 135\mu A$ และ $I_{B3} = 30\mu A$ ขนาดของสัญญาณเอาต์พุตตรงกับข้อใด

- ก. $60\mu A_{p-p}$
- ข. $270\mu A_{p-p}$
- ค. $100\mu A_{p-p}$
- ง. $135\mu A_{p-p}$

36. ต้องการให้วงจรในภาพที่ 4 กำเนิดสัญญาณสี่เหลี่ยมความถี่ที่มีขนาด $180\mu A_{p-p}$ ข้อใดถูกต้อง

- ก. ให้ $I_{B_2} = 90\mu A$
- ข. ให้ $I_{B_1} = 180\mu A$
- ค. ให้ $I_{B_3} = 90\mu A$
- ง. ให้ $I_{B_2} = 180\mu A$

37. จากรวงจรในภาพที่ 4 เมื่อกำหนดให้ $I_{B_1} = 25\mu A$, $I_{B_2} = 100\mu A$, $I_{B_3} = 25\mu A$, $i_i = 30\mu A$, $C = 10nF$ และ $R = 100$ ความถี่ของสัญญาณเอาต์พุตตรงกับข้อใด

- ก. $4.73kHz$
- ข. $47.33kHz$
- ค. $5.73kHz$
- ง. $57.33kHz$

38. ต้องการให้วงจรในภาพที่ 4 มีความถี่ของสัญญาณเอาต์พุตเท่ากับ $4.4kHz$ ข้อใดถูกต้อง

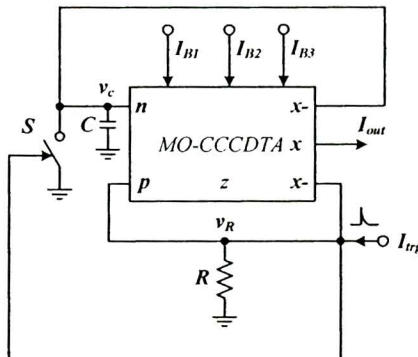
- ก. ให้ $I_{B_1} = I_{B_3} = 45\mu A$, $i_i = 15\mu A$, $C = 10nF$ และ $R = 300$
- ข. ให้ $I_{B_1} = I_{B_3} = 45\mu A$, $i_i = 20\mu A$, $C = 10nF$ และ $R = 300$
- ค. ให้ $I_{B_1} = I_{B_3} = 45\mu A$, $i_i = 25\mu A$, $C = 10nF$ และ $R = 300$
- ง. ให้ $I_{B_1} = I_{B_3} = 45\mu A$, $i_i = 35\mu A$, $C = 10nF$ และ $R = 300$

39. จากรวงจรในภาพที่ 4 เมื่อกำหนดให้ $I_{B_1} = 20\mu A$, $I_{B_2} = 50\mu A$, $I_{B_3} = 50\mu A$, $C = 15nF$, $i_i = 15\mu A$ และ $R = 500\Omega$ ค่าดิวตี้ไซเกลตรงกับข้อใด

- ก. $D = 70\%$
- ข. $D = 65.17\%$
- ค. $D = 30.43\%$
- ง. $D = 26.92\%$

40. ต้องการให้วงจรในภาพที่ 4 ดิวตี้ไซเกลของสัญญาณเอาต์พุตเท่ากับ $D = 50\%$ ข้อใดถูกต้อง

- ก. ให้ $I_{B_1} = 10\mu A$, $I_{B_3} = 50\mu A$, $i_i = 30\mu A$ และ $R = 500\Omega$
- ข. ให้ $I_{B_1} = 10\mu A$, $I_{B_3} = 50\mu A$, $i_i = 20\mu A$ และ $R = 500\Omega$
- ค. ให้ $I_{B_1} = 10\mu A$, $I_{B_3} = 50\mu A$, $i_i = 10\mu A$ และ $R = 500\Omega$
- ง. ให้ $I_{B_1} = 10\mu A$, $I_{B_3} = 50\mu A$, $i_i = 0\mu A$ และ $R = 500\Omega$



ภาพที่ 5

41. จากรวงจรในภาพที่ 5 สามารถวิเคราะห์หาสมการขนาดของสัญญาณเอาต์พุตได้ตามข้อใด

- ก. $I_{out(p-p)} = I_{B1}$
- ข. $I_{out(p-p)} = I_{B2}$
- ค. $I_{out(p-p)} = 2I_{B2}$
- ง. $I_{out(p-p)} = 2I_{B3}$

42. จากรวงจรในภาพที่ 5 กำหนดให้ $I_{B1} = 25\mu A$, $I_{B2} = 50\mu A$ และ $I_{B3} = 20\mu A$ ขนาดของสัญญาณเอาต์พุตตรงกับข้อใด

- ก. $40\mu A_{p-p}$
- ข. $50\mu A_{p-p}$
- ค. $100\mu A_{p-p}$
- ง. $25\mu A_{p-p}$

43. ต้องการให้ขนาดของสัญญาณเอาต์พุตเท่ากับ $170\mu A_{p-p}$ จึงต้อง

- ก. ให้ $I_{B1} = 170\mu A$
- ข. ให้ $I_{B2} = 85\mu A$
- ค. ให้ $I_{B2} = 170\mu A$
- ง. ให้ $I_{B3} = 85\mu A$

44. จากรวงจรในภาพที่ 5 กำหนดให้ $C = 100nF$, $R = 500\Omega$, $I_{B1} = 24\mu A$, $I_{B2} = 50\mu A$ และ $I_{B3} = 50\mu A$ ความกว้างของสัญญาณ脉冲ส์ตรงกับข้อใด

- ก. $2.124\mu s$
- ข. $21.24\mu s$
- ค. $24.21\mu s$
- ง. $2.421\mu s$

45. ต้องการให้ความกว้างของสัญญาณพัลส์เท่ากับ $4.76\mu s$ ข้อใดถูกต้อง

- ก. ให้ $C = 20nF$, $R = 500\Omega$ และ $I_{B1} = 15.5\mu A$
- ข. ให้ $C = 20nF$, $R = 500\Omega$ และ $I_{B1} = 17.5\mu A$
- ค. ให้ $C = 20nF$, $R = 500\Omega$ และ $I_{B1} = 19.5\mu A$
- ง. ให้ $C = 20nF$, $R = 500\Omega$ และ $I_{B1} = 21.5\mu A$

	CC-CDTA ที่ทำงานในช่วง อิมตัวและการประยุกต์ใช้	เฉลยแบบทดสอบวัดผล สัมฤทธิ์ทางการเรียน
---	---	--

ข้อ	ก	ข	ค	ง	ข้อ	ก	ข	ค	ง	ข้อ	ก	ข	ค	ง	ข้อ	ก	ข	ค	ง
1				X	16	X				31		X			46				
2		X			17	X				32				X	47				
3			X		18			X		33	X				48				
4				X	19		X			34			X		49				
5			X		20				X	35		X			50				
6		X			21			X		36	X				51				
7	X				22		X			37	X				52				
8	X				23				X	38	X				53				
9		X			24		X			39				X	54				
10		X			25	X				40				X	55				
11	X				26		X			41			X		56				
12			X		27				X	42			X		57				
13			X		28	X				43		X			58				
14				X	29			X		44	X				59				
15			X		30			X		45			X		60				

ภาคผนวก ณ

- บทความวิจัยที่ได้รับการตีพิมพ์

บทความวิจัยที่ได้รับการตีพิมพ์

วารสารวิชาการระดับนานาชาติ

Silapan P. and Siripruchyanun M. “Fully and electronically controllable current-mode Schmitt triggers employing only single MO-CCCDTA and their applications” Analog Integrated Circuits and Signal Processing. Online January 22,2011, DOI: 10.1007/s10470-010-9593-2.

การประชุมวิชาการระดับนานาชาติ

1. Silapan P. and Siripruchyanun M. “A Simple Current-mode Schmitt Trigger Employing Only Single MO-CTTA.” The Proceedings of the 2009 6th International Conference on Electrical Engineering/Electronics, Computer, Telecommunications, and Information Technology (ECTI-CON 2009). Pattaya, THAILAND. 556-559, 2009.
2. Silapan P. and Siripruchyanun M. “A Simple Current-mode PWM Signal Generator Employing Only Single Active Element” The 1st international conference on Technical Education, Thailand. Bangkok, THAILAND. 144-148, 2010.



ประวัติผู้วิจัย

ชื่อ : นายกมร ศิลาพันธ์

ชื่อวิทยานิพนธ์ : การสังเคราะห์และออกแบบโครงสร้างข่ายความนำ่ทายโอนผลต่างกระแสที่สามารถควบคุมด้วยกระแสและการประยุกต์ใช้งานกับการศึกษาด้านการออกแบบและวิเคราะห์วงจรอิเล็กทรอนิกส์

สาขาวิชา : ไฟฟ้าศึกษา

ประวัติ

ประวัติการศึกษา

- ประกาศนียบัตรวิชาชีพ (ปวช.) ช่างอิเล็กทรอนิกส์ วิทยาลัยเทคนิคพิษณุโลก
- ประกาศนียบัตรวิชาชีพชั้นสูง (ปวส.) ช่างอิเล็กทรอนิกส์ วิทยาลัยเทคนิคพิษณุโลก
- วิศวกรรมศาสตร์บัณฑิต (วศ.บ.) สาขาวิชาวิศวกรรมไฟฟ้า มหาวิทยาลัยเทคโนโลยีมหามานคร
- ครุศาสตร์อุตสาหกรรมมหาบัณฑิต (คอ.ม.) สาขาวิชาไฟฟ้า มหาวิทยาลัยเทคโนโลยีพระจอมเกล้าพระนครเหนือ

ประวัติการทำงาน

- อาจารย์ประจำแผนกวิชาอิเล็กทรอนิกส์ วิทยาลัยเทคนิคพิษณุโลก
- อาจารย์พิเศษมหาวิทยาลัยราชภัฏพิษณุลสสงคราม
- อาจารย์ประจำโปรแกรมวิชาไฟฟ้าและอุตสาหการ คณะเทคโนโลยีอุตสาหกรรม มหาวิทยาลัยราชภัฏอุตรดิตถ์ ตั้งแต่ พ.ศ. 2549 ถึงปัจจุบัน

งานวิจัยที่สนใจ

- การออกแบบโครงสร้างอิเล็กทรอนิกส์
- ระบบประมวลผลสัญญาณแอนะล็อก
- การพัฒนาการเรียนการสอนทางด้านวิศวกรรมไฟฟ้า

ที่อยู่ที่สามารถติดต่อได้

โปรแกรมวิชาไฟฟ้าและอุตสาหการ คณะเทคโนโลยีอุตสาหกรรม มหาวิทยาลัยราชภัฏอุตรดิตถ์ 53000, Email: phamorn@mail.uru.ac.th

